

การสร้างแบบจำลองพีชชีและการออกแบบตัวควบคุมของตัวย่อยเยื่อกระดาษ



นางสาววิศณีย์ ตั้งยืนยง

สถาบันวิทยบริการ  
จุฬาลงกรณ์มหาวิทยาลัย

วิทยานิพนธ์นี้เป็นส่วนหนึ่งของการศึกษาตามหลักสูตรปริญญาวิศวกรรมศาสตรมหาบัณฑิต

สาขาวิชาวิศวกรรมเคมี ภาควิชาวิศวกรรมเคมี  
คณะวิศวกรรมศาสตร์ จุฬาลงกรณ์มหาวิทยาลัย

ปีการศึกษา 2544

ISBN 974-03-0750-7

ลิขสิทธิ์ของจุฬาลงกรณ์มหาวิทยาลัย

**FUZZY MODELING AND CONTROLLER DESIGN OF  
A PULP DIGESTER**



**Miss Wisanee Tungyuenyong**

**สถาบันวิทยบริการ  
จุฬาลงกรณ์มหาวิทยาลัย**

**A Thesis Submitted in Partial Fulfillment of the Requirements  
for the Degree of Master of Engineering in Chemical Engineering**

**Department of Chemical Engineering**

**Faculty of Engineering**

**Chulalongkorn University**

**Academic Year 2001**

**ISBN 974-03-0750-7**



วิทยานิพนธ์ ดั้งเดิม: การสร้างแบบจำลองฟัซซีและการออกแบบตัวควบคุมของตัวย่อยเยื่อ  
กระดาษ (FUZZY MODELING AND CONTROLLER DESIGN OF A PULP DIGESTER) อาจารย์ที่  
ปรึกษา: ดร. มนตรี วงศ์ศิริ; 120 หน้า. ISBN 974-03-0750-7

งานวิจัยนี้เป็นการสร้างแบบจำลองฟัซซีทากาจิ-ซูเกโน โดยใช้ข้อมูลอินพุท-เอาต์พุทของ  
กระบวนการผ่านอัลกอริทึมคลัสเตอร์และวิธีลีสท์สแควร์เพื่อใช้เป็นแบบจำลองภายในสำหรับการ  
ควบคุมแบบออสัยแบบจำลองภายใน (Fuzzy IMC) ของตัวย่อยเยื่อกระดาษ และใช้ตัวประมาณค่าฟัซซี  
ในการประมาณค่าแคปปา เนื่องจากค่าแคปปาเป็นตัวแปรควบคุมที่ไม่สามารถวัดค่าได้ จากการ  
ศึกษาพบว่าตัวประมาณค่าฟัซซีสามารถประมาณค่าได้อย่างมีประสิทธิภาพ สำหรับตัวควบคุมฟัซซีที่  
ใช้ร่วมกับตัวประมาณค่าฟัซซีสามารถควบคุมค่าแคปปาสุดท้ายให้เข้าใกล้ค่าเป้าหมายได้ในเวลาที่  
กำหนด แม้ว่าจะมีความผิดพลาดของค่าประมาณเริ่มต้น ได้แก่ การเปลี่ยนแปลงชนิดไม้และความ  
เข้มข้นของสารละลายที่ใช้ทำปฏิกิริยา รวมทั้งเมื่อมีสัญญาณรบกวนจากการวัด นอกจากนี้ผลการ  
ศึกษายังแสดงว่าระบบการควบคุมนี้ไวต่อการเปลี่ยนแปลงพารามิเตอร์ของกระบวนการบางตัว แต่  
ยังให้สมรรถนะในการควบคุมที่ดีเมื่อมีความผิดพลาดของพารามิเตอร์ส่วนใหญ่

สถาบันวิทยบริการ  
จุฬาลงกรณ์มหาวิทยาลัย

ภาควิชา	วิศวกรรมเคมี	ลายมือชื่อนิสิต .....
สาขาวิชา	วิศวกรรมเคมี	ลายมือชื่ออาจารย์ที่ปรึกษา .....
ปีการศึกษา	2544	

## 4170526521: MAJOR CHEMICAL ENGINEERING

KEY WORD: FUZZY MODELING / FUZZY CONTROL / INTERNAL MODEL  
CONTROL / PULP DIGESTER

WISANEE TUNGYUENYONG: FUZZY MODELING AND CONTROLLER DESIGN OF A PULP  
DIGESTER. THESIS ADVISER: DR.MONTREE WONGSRI. 120 PP. ISBN 974-03-0750-7

In this research, a pulp digester is modeled using fuzzy Takagi-Sugeno clustering method. The fuzzy model is used for the process model in the internal model control scheme. Since the key variable of this process is kappa number which is unmeasurable. So the second fuzzy model is constructed to estimate the kappa number from the process output. It is found that the fuzzy estimator performs very well even in the case that some initial inputs or parameters having some significant errors. The fuzzy controller together with the fuzzy estimator is found to work efficiently in most cases. However, they are quite sensitive to big errors of certain parameters.



Department	Chemical Engineering	Student's signature .....
Field of study	Chemical Engineering	Adviser's signature .....
Academic year	2001	

## กิตติกรรมประกาศ

วิทยานิพนธ์ฉบับนี้สำเร็จลุล่วงได้ด้วยดี ก็โดยอาศัยความช่วยเหลือ คำแนะนำ และกำลังใจจากบุคคลรอบข้างมากมาย ซึ่งเป็นพระคุณกับผู้วิจัยเป็นอย่างมาก โดยเฉพาะอย่างยิ่งบุคคลดังต่อไปนี้

ขอขอบพระคุณอาจารย์ ดร. มนตรี วงศ์ศรี อาจารย์ที่ปรึกษาวิทยานิพนธ์ ซึ่งท่านได้ให้ข้อเสนอแนะและความคิดเห็นต่างๆ ตลอดการวิจัยนี้

ขอขอบพระคุณศาสตราจารย์ ดร. ปิยะสาร ประเสริฐธรรม รองศาสตราจารย์ ดร. ไพศาล กิตติสุขกร และอาจารย์ ดร. เหมือนเดือน พิศาลพงษ์ ที่กรุณามาร่วมเป็นกรรมการสอบวิทยานิพนธ์

ขอขอบคุณเพื่อนๆ รุ่นพี่ รุ่นน้อง ตลอดจนบุคคลอื่นที่ไม่ได้กล่าวถึงในที่นี้ ที่คอยแลกเปลี่ยนความคิดเห็นและเป็นกำลังใจมาโดยตลอด

ท้ายนี้ ผู้วิจัยใคร่ขอกราบขอบพระคุณบุพการีที่ให้การสนับสนุนและเป็นกำลังใจอย่างดีมาตลอดจนสำเร็จการศึกษา

สถาบันวิทยบริการ  
จุฬาลงกรณ์มหาวิทยาลัย

## สารบัญ

หน้า

บทคัดย่อ (ภาษาไทย) .....	ง
บทคัดย่อ (ภาษาอังกฤษ) .....	จ
กิตติกรรมประกาศ .....	ฉ
สารบัญ .....	ช
สารบัญภาพ .....	ญ
สารบัญตาราง .....	ฐ
บทที่ 1 บทนำ .....	1
1.1 ความสำคัญและที่มาของงานวิจัย .....	1
1.2 วัตถุประสงค์ของงานวิจัย .....	2
1.3 ขอบเขตของงานวิจัย .....	2
1.4 ขั้นตอนการดำเนินงานวิจัย .....	2
1.5 ประโยชน์ที่คาดว่าจะได้รับ .....	3
1.6 เนื้อหาวิทยานิพนธ์ .....	3
บทที่ 2 งานวิจัยที่เกี่ยวข้อง .....	4
2.1 แนวความคิดและการพัฒนาฟิชชีลอจิก .....	4
2.2 งานวิจัยที่เกี่ยวข้องกับการพัฒนาแบบจำลองฟิชชี .....	6
2.3 งานวิจัยที่เกี่ยวข้องกับตัวควบคุมฟิชชี .....	9
2.4 งานวิจัยที่เกี่ยวข้องกับการควบคุมแบบฟิชชีของห้องปฏิบัติการควบคุมกระบวนการ .....	12
2.5 งานวิจัยที่เกี่ยวข้องกับการควบคุมตัวย่อยเชื้อกระดาศ .....	13

## สารบัญ (ต่อ)

หน้า

บทที่ 3 แบบจำลองฟิชชี .....	15
3.1 แบบจำลองฟิชชี .....	16
3.2 แบบจำลองฟิชชีสำหรับระบบสถิติ .....	16
3.2.1 แบบจำลองฟิชชีเชิงภาษา .....	16
3.2.2 แบบจำลองความสัมพันธ์ฟิชชี .....	17
3.2.3 แบบจำลองฟิชชีทากากิจ-ซูเกโน .....	19
3.3 แบบจำลองฟิชชีสำหรับระบบไดนามิก .....	21
3.3.1 แบบจำลองสเตตสเปซ .....	21
3.3.2 แบบจำลองอินพุท-เอาต์พุท .....	22
3.3.3 แบบจำลองผสม .....	22
3.4 วิธีการสร้างแบบจำลองฟิชชี .....	23
3.4.1 แบบจำลองฟิชชีจากความรู้และประสบการณ์ของผู้เชี่ยวชาญ .....	23
3.4.2 แบบจำลองฟิชชีจากข้อมูลเชิงตัวเลขของกระบวนการและ เทคนิคการระบุนหา .....	23
3.5 เทคนิคการระบุนหาแบบจำลองฟิชชี .....	24
3.5.1 การระบุนหาโครงสร้างของแบบจำลอง .....	24
3.5.2 การระบุนหาพารามิเตอร์ของแบบจำลอง .....	26
บทที่ 4 ฟิชชีคลัสเตอร์ริงและตัวควบคุมฟิชชี .....	28
4.1 ฟิชชีคลัสเตอร์ริงแบบซี-มิน .....	29
4.2 อัลกอริทึมของคลัสเตอร์ริงแบบซี-มิน .....	30
4.3 ตัวอย่างการประยุกต์ใช้ฟิชชีคลัสเตอร์ริงแบบซี-มิน .....	32
4.4 ตัวควบคุมฟิชชีแบบอาศัยแบบจำลอง .....	35





## สารบัญภาพ

หน้า

รูปที่ 3.1	วิธีการกำหนดฟังก์ชันสมาชิกจากฟuzzyพาร์ทชันเมตริกซ์ .....	25
รูปที่ 4.1	การระบุหากฎฟuzzyโดยวิธีคลัสเตอร์ริง .....	28
รูปที่ 4.2	แผนผังการทำงานของการทำงานกำหนดจำนวนกฎฟuzzyที่เหมาะสม .....	31
รูปที่ 4.3	แผนผังตัวควบคุมแบบอาศัยแบบจำลองภายใน .....	35
รูปที่ 5.1	แผนผังของกระบวนการผลิตเชื้อกระดาษ .....	37
รูปที่ 5.2	ตัวอย่างเชื้อกระดาษแบบกะ .....	38
รูปที่ 5.3	ผลของกระบวนการเมื่อใช้ค่าพารามิเตอร์ของ Lee และ Datta .....	46
รูปที่ 5.4	ผลของกระบวนการเมื่อใช้ค่าพลังงานกระตุ้นอันดับหนึ่ง ขององค์ประกอบที่ 1 ในไม้เป็น $10.5 \times 10^3$ kcal/kmole .....	47
รูปที่ 5.5	ผลของกระบวนการเมื่อใช้ค่าพลังงานกระตุ้นอันดับหนึ่ง ขององค์ประกอบที่ 1 ในไม้ เป็น $2.4 \times 10^3$ kcal/kmole .....	47
รูปที่ 6.1	ข้อมูลอินพุต-เอาต์พุตที่ใช้ในการสร้างแบบจำลองของกระบวนการ .....	49
รูปที่ 6.2	กราฟระหว่างฟuzzyพาร์ทชันเมตริกซ์กับค่าลิกนิน .....	50
รูปที่ 6.3	กราฟระหว่างฟuzzyพาร์ทชันเมตริกซ์กับค่าอุณหภูมิในเครื่องปฏิกรณ์ .....	50
รูปที่ 6.4	กราฟระหว่างฟuzzyพาร์ทชันเมตริกซ์กับค่าอุณหภูมิของสายหมุนเวียน ...	51
รูปที่ 6.5	กราฟระหว่างฟuzzyพาร์ทชันเมตริกซ์กับค่าอัตราการไหล ของสายหมุนเวียน .....	51
รูปที่ 6.6	ฟังก์ชันสมาชิกในส่วนเงื่อนไขของแบบจำลองฟuzzy สำหรับกระบวนการ .....	52
รูปที่ 6.7	ผลการทดสอบแบบจำลองฟuzzyของกระบวนการ .....	53
รูปที่ 6.8	ข้อมูลอินพุต-เอาต์พุตที่ใช้ในการสร้างแบบจำลองของตัวประมาณค่า ...	54
รูปที่ 6.9	กราฟระหว่างฟuzzyพาร์ทชันเมตริกซ์กับค่าลิกนิน .....	55
รูปที่ 6.10	กราฟระหว่างพาร์ทชันเมตริกซ์กับค่าอุณหภูมิในเครื่องปฏิกรณ์ .....	55
รูปที่ 6.11	กราฟระหว่างพาร์ทชันเมตริกซ์กับค่าความเข้มข้น ของโซเดียมไฮดรอกไซด์ .....	56
รูปที่ 6.12	ฟังก์ชันสมาชิกในส่วนเงื่อนไขของแบบจำลองฟuzzy สำหรับตัวประมาณค่า .....	56
รูปที่ 6.13	ผลการทดสอบแบบจำลองฟuzzyของตัวประมาณค่า .....	58

## สารบัญภาพ (ต่อ)

	หน้า
รูปที่ 6.14	โครงสร้างการควบคุมแบบ Fuzzy IMC ..... 59
รูปที่ 6.15	ภาพขยายจากกรอบเส้นประในรูปที่ 6.14 ..... 60
รูปที่ 6.16	แผนผังการควบคุมด้วย MPC และตัวประมาณค่า EKF ..... 60
รูปที่ 6.17	แผนผังการควบคุมด้วยตัวควบคุม FLC และตัวประมาณค่า FNN ..... 61
รูปที่ 6.18	ผลการควบคุมในกรณีที่ใช้สารป้อนตัวอย่าง ..... 63
รูปที่ 6.19	ผลการควบคุมในกรณีที่ 1 ..... 66
รูปที่ 6.20	ผลการควบคุมในกรณีที่ 2 ..... 67
รูปที่ 6.21	ผลการควบคุมในกรณีที่ 3 ..... 68
รูปที่ 6.22	ผลการควบคุมในกรณีที่ 4 ..... 69
รูปที่ 6.23	ผลการควบคุมในกรณีที่มีสัญญาณรบกวนจากการวัด ..... 70
รูปที่ 6.24	ผลการควบคุมเมื่อค่าพลังงานกระตุ้นที่ 1 ขององค์ประกอบที่ 1 ( $E_{11}$ ) เปลี่ยนแปลงไป +50% ..... 72
รูปที่ 6.25	ผลการควบคุมเมื่อค่าพลังงานกระตุ้นที่ 1 ขององค์ประกอบที่ 1 ( $E_{11}$ ) เปลี่ยนแปลงไป -50% ..... 72
รูปที่ 6.26	ผลการควบคุมเมื่อค่าพลังงานกระตุ้นที่ 1 ขององค์ประกอบที่ 2 ( $E_{12}$ ) เปลี่ยนแปลงไป +50% ..... 73
รูปที่ 6.27	ผลการควบคุมเมื่อค่าพลังงานกระตุ้นที่ 1 ขององค์ประกอบที่ 2 ( $E_{12}$ ) เปลี่ยนแปลงไป -50% ..... 73
รูปที่ 6.28	ผลการควบคุมเมื่อค่าพลังงานกระตุ้นที่ 1 ขององค์ประกอบที่ 3 ( $E_{13}$ ) เปลี่ยนแปลงไป +50% ..... 74
รูปที่ 6.29	ผลการควบคุมเมื่อค่าพลังงานกระตุ้นที่ 1 ขององค์ประกอบที่ 3 ( $E_{13}$ ) เปลี่ยนแปลงไป -50% ..... 74
รูปที่ 6.30	ผลการควบคุมเมื่อค่าพลังงานกระตุ้นที่ 1 ขององค์ประกอบที่ 4 ( $E_{14}$ ) เปลี่ยนแปลงไป +50% ..... 75
รูปที่ 6.31	ผลการควบคุมเมื่อค่าพลังงานกระตุ้นที่ 1 ขององค์ประกอบที่ 4 ( $E_{14}$ ) เปลี่ยนแปลงไป -50% ..... 75
รูปที่ 6.32	ผลการควบคุมเมื่อค่าพลังงานกระตุ้นที่ 1 ขององค์ประกอบที่ 5 ( $E_{15}$ ) เปลี่ยนแปลงไป +50% ..... 76



## สารบัญตาราง

หน้า

ตารางที่ 2.1	สรุปผลงานวิจัยการสร้างแบบจำลองฟิชชี .....	8
ตารางที่ 2.2	สรุปผลงานวิจัยการออกแบบตัวควบคุมฟิชชี .....	11
ตารางที่ 5.1	ค่าพารามิเตอร์ของแบบจำลองทางคณิตศาสตร์ .....	43
ตารางที่ 5.2	ค่าเริ่มต้นของตัวแปรสเตท .....	44
ตารางที่ 5.3	ค่าสภาวะในการปฏิบัติการ .....	44
ตารางที่ 5.4	ข้อจำกัดในการปฏิบัติการ .....	45
ตารางที่ 5.5	ค่าพารามิเตอร์ที่ใช้ในงานวิจัยเทียบกับของ Lee และ Datta (1994) .....	46
ตารางที่ 6.1	ค่าพารามิเตอร์ในส่วนผลของแบบจำลองฟิชชีสำหรับกระบวนการ .....	52
ตารางที่ 6.2	ค่าพารามิเตอร์ในส่วนผลของแบบจำลองฟิชชีสำหรับตัวประมาณค่า .....	57
ตารางที่ 6.3	จุดกึ่งกลางของฟังก์ชันสมาชิกแบบสามเหลี่ยม .....	61
ตารางที่ 6.4	กฎการควบคุมทั้ง 9 กฎสำหรับตัวควบคุม FLC .....	62
ตารางที่ 6.5	การเปลี่ยนแปลงสารป้อนในกรณีต่างๆ .....	65
ตารางที่ 6.6	ผลการควบคุมเมื่อมีการเปลี่ยนแปลงสารป้อน .....	85
ตารางที่ 6.7	ผลการควบคุมเมื่อค่าพารามิเตอร์ของแบบจำลองผิดพลาด .....	86

สถาบันวิทยบริการ  
จุฬาลงกรณ์มหาวิทยาลัย

# บทที่ 1

## บทนำ

### 1.1 ความสำคัญและที่มาของงานวิจัย

ในปัจจุบันนี้การนำความรู้ด้านปัญญาประดิษฐ์ (Artificial Intelligent) ถูกนำมาประยุกต์ใช้ในงานหลายด้าน ได้แก่ งานด้านอุปกรณ์อิเล็กทรอนิกส์ หุ่นยนต์ อุปกรณ์ไฟฟ้า งานวิจัยในตลาดหลักทรัพย์ การแพทย์ และ งานด้านวิศวกรรมต่างๆ ระบบฟัซซีลอจิกเป็นสาขาหนึ่งในงานด้านปัญญาประดิษฐ์นี้ ซึ่งมีการนำมาใช้เป็นตัวควบคุมในเครื่องซักผ้า เครื่องปรับอากาศ กล้องถ่ายภาพอัตโนมัติ และไมโครโปรเซสเซอร์ เป็นต้น

การควบคุมด้วยระบบฟัซซีได้รับการพัฒนาขึ้นมาให้มีลักษณะเฉพาะที่สามารถจัดการกับปัญหาที่มีความสลับซับซ้อน ระบบที่ไม่สามารถนิยามได้ รวมไปถึงระบบที่ไม่สามารถสร้างแบบจำลองทางคณิตศาสตร์ได้ หรือระบบที่แบบจำลองทางคณิตศาสตร์ไม่สามารถให้ความแม่นยำเพียงพอ นอกจากนี้ยังสามารถควบคุมได้ดีพอๆ กับผู้ควบคุมที่เป็นมนุษย์ ในกรณีที่การควบคุมแบบดั้งเดิมไม่สามารถควบคุมได้หรือควบคุมได้ไม่ดีพอ

แบบจำลองฟัซซีสามารถออกแบบได้โดยตรงจากความรู้และประสบการณ์ของผู้เชี่ยวชาญ แต่ในบางครั้งอาจขาดข้อมูลความรู้หรือความเข้าใจในบางส่วนของกระบวนการ หรือผู้เชี่ยวชาญอาจออกแบบกฎได้ไม่ครอบคลุมทั้งหมด การสร้างแบบจำลองฟัซซีจากข้อมูล อินพุต-เอาต์พุตจำเป็นต้องอาศัยเทคนิคการระบุหาแบบจำลอง (Identification) เทคนิคการระบุหาแบบจำลองมีหลายเทคนิค เช่น ฟัซซีคลัสเตอร์ริง (Fuzzy clustering) วิธีเรียนรู้แบบนิวรัล (Neural learning method) ออร์โธโกนัลลีสแควร์ (Orthogonal least squares) เป็นต้น การที่จะเลือกใช้วิธีใดนั้นขึ้นอยู่กับข้อมูลเริ่มต้นที่มีอยู่ ยกตัวอย่างเช่น ในกรณีที่เราไม่ทราบฟังก์ชันสมาชิกของฟัซซีเซตอ้างอิง สามารถประยุกต์ใช้ฟัซซีคลัสเตอร์ริงเพื่อหาฟังก์ชันสมาชิกของตัวแปรได้ ในงานวิจัยนี้จะทำการศึกษาและประยุกต์ใช้วิธีฟัซซีคลัสเตอร์ริงเพื่อระบุหาแบบจำลองฟัซซี

เนื่องจากว่าระบบที่เกี่ยวข้องกับกระบวนการทางด้านเคมีนั้นเป็นระบบที่มีลักษณะไม่เป็นเชิงเส้นทั้งสิ้นและหลายครั้งการใช้แบบจำลองทางคณิตศาสตร์มาจัดการกับระบบที่มีลักษณะไม่เป็นเชิงเส้นนั้น ไม่สามารถจัดการได้สะดวกนัก เนื่องจากใช้เวลานาน มีค่าพารามิเตอร์หลายค่ามาก และพารามิเตอร์บางตัวก็ไม่สามารถประมาณค่าได้ โดยเฉพาะอย่างยิ่งค่าพารามิเตอร์ที่เกี่ยวข้องกับกระบวนการทางชีวเคมี ค่าอัตราการเกิดปฏิกิริยาของปฏิกิริยาบาง

กระบวนการ เป็นต้น ดังนั้นการสร้างแบบจำลองฟิสิกส์จากข้อมูลเชิงตัวเลขของกระบวนการจึงเป็นอีกทางเลือกหนึ่งที่สามารถทำได้

## 1.2 วัตถุประสงค์ของงานวิจัย

เพื่อนำหลักการทฤษฎีฟิสิกส์ลอจิกมาประยุกต์ใช้ในการสร้างแบบจำลองฟิสิกส์และออกแบบตัวควบคุมสำหรับตัวย่อยเชื้อกระดาษ

## 1.3 ขอบเขตของงานวิจัย

1. สร้างแบบจำลองฟิสิกส์จากข้อมูลอินพุต-เอาต์พุตโดยใช้วิธีคลัสเตอร์ริงและลิสต์สแควร์
2. ออกแบบตัวควบคุมฟิสิกส์แบบอาศัยแบบจำลองสำหรับตัวย่อยเชื้อกระดาษ
3. แบบจำลองและตัวควบคุมที่สร้างขึ้นเขียนด้วยโปรแกรมแมทแลบ (MATLAB)

## 1.4 ขั้นตอนการดำเนินงานวิจัย

1. ค้นคว้าเอกสารและผลงานวิจัยที่เกี่ยวข้อง
2. สร้างโปรแกรมเลียนแบบตัวย่อยเชื้อกระดาษ
3. สร้างแบบจำลองฟิสิกส์โดยเขียนโปรแกรมระบุหาโครงสร้างและพารามิเตอร์ของแบบจำลอง
4. ทดสอบแบบจำลองฟิสิกส์ที่สร้างขึ้น
5. สร้างโปรแกรมตัวควบคุมฟิสิกส์แบบอาศัยแบบจำลอง
6. ทดสอบตัวควบคุมและตัวประมาณค่าฟิสิกส์
7. เปรียบเทียบสมรรถนะของตัวควบคุมฟิสิกส์กับตัวควบคุม PI
8. วิเคราะห์ และสรุปผลงานวิจัย

## 1.5 ประโยชน์ที่คาดว่าจะได้รับ

1. เข้าใจวิธีการระบุนหาแบบจำลองพีชชีและการควบคุมกระบวนการ
2. เป็นประโยชน์ในการนำวิธีการสร้างแบบจำลองและตัวควบคุมนี้ไปประยุกต์ใช้ในอุตสาหกรรม

## 1.6 เนื้อหาวิทยานิพนธ์

เนื้อหาของงานวิจัยนี้แบ่งออกเป็น 6 บท บทที่ 1 กล่าวถึงความสำคัญและที่มาของงานวิจัย วัตถุประสงค์ ขอบเขตของงานวิจัย ขั้นตอนการดำเนินงานวิจัยและประโยชน์ที่คาดว่าจะได้รับ บทที่ 2 กล่าวถึงงานวิจัยที่เกี่ยวข้อง ประกอบด้วยแนวคิดของพีชชี การพัฒนาและการประยุกต์ใช้พีชชีลอจิก บทที่ 3 กล่าวถึงแบบจำลองพีชชีชนิดต่างๆ และการระบุนหาโครงสร้างและพารามิเตอร์ของแบบจำลองพีชชี บทที่ 4 เน้นการระบุนหาแบบจำลองพีชชีโดยวิธีคลัสเตอร์ริงและการออกแบบตัวควบคุมพีชชี บทที่ 5 อธิบายแบบจำลองทางคณิตศาสตร์ของตัวย่อยเชื้อกระดาษซึ่งเป็นกระบวนการที่นำมาศึกษาในงานวิจัยนี้ และบทที่ 6 เป็นผลการทดลองการระบุนหาแบบจำลองพีชชีและผลการควบคุมกระบวนการในกรณีต่างๆ รวมไปถึงการวิเคราะห์ สรุปผลงานวิจัย และข้อเสนอแนะ

สถาบันวิทยบริการ  
จุฬาลงกรณ์มหาวิทยาลัย



## บทที่ 2

### งานวิจัยที่เกี่ยวข้อง

#### 2.1 แนวความคิดและการพัฒนาฟัซซีลอจิก (Fuzzy Logic Initiation and Development)

แนวความคิดที่เกี่ยวกับตรรกศาสตร์หลายค่าเป็นแนวความคิดที่มีผู้สนใจศึกษาอยู่หลายคนในช่วงเวลาที่ผ่านมามา จนกระทั่งปี ค.ศ. 1965 ศาสตราจารย์ ดร. Lotfi A. Zadeh แห่งมหาวิทยาลัยเบิร์กลีย์ แคลิฟอร์เนียได้คิดค้นและนำเสนอแนวความคิดตรรกศาสตร์รูปแบบใหม่ที่มีลักษณะที่สอดคล้องกับการให้เหตุผลของมนุษย์ที่มักมีการให้ระดับความเป็นไปได้ของตรรก ว่ามีลักษณะเช่นนั้นมาก ปานกลาง หรือน้อย ซึ่งยากแก่การกำหนดให้ชัดเจนได้ว่ามีที่ระดับ แนวความคิดดังกล่าวนี้ถูกเสนอเป็นทฤษฎีที่เรียกว่า ทฤษฎีฟัซซีเซต

ในปี ค.ศ. 1973 Zadeh เสนองานวิจัยเกี่ยวกับวิธีการวิเคราะห์ระบบที่ซับซ้อน และกระบวนการตัดสินใจ จากแนวความคิดที่ว่า ตรรกศาสตร์ (Logic) ที่อยู่เบื้องหลังกระบวนการคิด การตัดสินใจ และการให้เหตุผลของมนุษย์นั้นไม่ได้เป็นตรรกแบบ 2 ค่า แต่เป็นตรรกหลายค่า (Multivalued logic) และได้นิยามคำว่า “ ฟัซซีเซต ” คือเซตที่มีความเป็นสมาชิกที่สามารถเพิ่มความเป็นสมาชิกจากไม่เป็นสมาชิกไปจนถึงเป็นสมาชิก “ การเชื่อมต่อฟัซซี ” “ การอนุมานกฎฟัซซี ” ซึ่งการอนุมานกฎฟัซซีนี้เปรียบได้กับความสามารถในการสรุปข้อมูลต่างๆของมนุษย์ และนำเสนอการใช้ตัวแปรเชิงภาษา (Linguistic variables) หรือที่เรียกอีกอย่างหนึ่งว่าเป็นตัวแปรฟัซซี (Fuzzy variables) มาใช้แทนหรือใช้ร่วมกับตัวแปรเชิงตัวเลข และให้ความสัมพันธ์ระหว่างตัวแปรฟัซซีเป็นไปในลักษณะของประโยคที่บอกเงื่อนไข (Condition statement) และคิดค้นอัลกอริทึมฟัซซี (Fuzzy algorithm) ไว้สำหรับคิดคำนวณฟังก์ชันความสัมพันธ์ที่ซับซ้อน

แนวคิดที่ Zadeh เสนอสามารถนำไปใช้ในการวิเคราะห์ระบบที่ซับซ้อน และกระบวนการตัดสินใจ เช่น นำไปประยุกต์ใช้ได้กับงานด้านเศรษฐศาสตร์ วิทยาศาสตร์การจัดการ (Management science) ปัญญาประดิษฐ์ (Artificial intelligence) จิตวิทยา การแก้ไขข้อขัดข้อง ข้อมูล เกษษกรรม ชีววิทยา และอื่นๆอีกมากมาย

หลังจากการนำเสนอผลงานวิจัยในปี ค.ศ. 1973 ของศาสตราจารย์ ดร. Lotfi A. Zadeh หลักการของตรรกศาสตร์คลุมเครือ (Fuzzy logic) ถูกนำมาประยุกต์ใช้ในงานวิศวกรรมควบคุมอย่างมากมาเช่นกัน ในปี ค.ศ. 1974 งานวิจัยทางด้านฟิสิกส์ในช่วงบุกเบิกได้เริ่มต้นโดย Mamdani E.H. และ Assilian S. แห่งมหาวิทยาลัยลอนดอน โดยนำหลักการและแนวคิดเกี่ยวกับทฤษฎีฟิสิกส์ที่ Zadeh ได้เสนอเอาไว้ไปประยุกต์ใช้ในการควบคุมการปรับความเร็วของเครื่องยนต์และระดับความดันภายในหม้อต้ม ซึ่งเป็นการจัดการกับความไม่แน่นอนเชิงเส้น สัญญาณรบกวนที่ส่งผลกระทบต่อกระบวนการ ผลการควบคุมแสดงว่า ตัวควบคุมฟิสิกส์ลอจิกสามารถจัดการกับกระบวนการได้ดี

ต่อมาในปี ค.ศ. เดียวกัน Kickert และคณะได้นำฟิสิกส์ลอจิกไปประยุกต์ใช้ในการออกแบบตัวควบคุมสำหรับกระบวนการทำน้ำอุ่น ในระดับห้องปฏิบัติการ กระบวนการเป็นถึงน้ำถูกแบ่งออกเป็นช่องหลายๆช่อง ทำการควบคุมอุณหภูมิของน้ำอุ่นขาออกโดยการปรับอัตราไหลขาเข้าของน้ำผ่านเครื่องแลกเปลี่ยนความร้อนที่อยู่ภายในถัง นอกจากนี้ยังควบคุมให้สามารถตอบสนองต่อการเปลี่ยนแปลงค่าเป้าหมายแบบสเต็ป เพื่อให้อุณหภูมิของน้ำขาออกเข้าสู่ค่าเป้าหมายได้อย่างรวดเร็ว

และในปี ค.ศ. 1976 ได้มีการทดลองนำเอาตัวควบคุมฟิสิกส์ลอจิกไปใช้ในระดับโรงงานอุตสาหกรรมเป็นครั้งแรก โดย Rutherford D.A. และ Carter G.A. ซึ่งเป็นการใช้ตัวควบคุมในการควบคุมความสามารถในการซึมผ่านในกระบวนการแยกสินแร่ แต่ในครั้งนั้นปรากฏว่าการควบคุมด้วยฟิสิกส์ลอจิกเพียงแต่ทำงานได้ดีกว่าการควบคุมด้วยตัวควบคุมแบบพีไอเพียงเล็กน้อยเท่านั้น

จากนั้น การวิจัยและพัฒนาได้ขยายออกไปเป็นวงกว้าง มีการนำแนวความคิดทางด้านฟิสิกส์ไปประยุกต์ใช้ในสาขาต่างๆ มากมาย บ้างก็เป็นการพัฒนาเทคนิคการสร้างแบบจำลองฟิสิกส์ให้ได้แบบจำลองที่แม่นยำ มีความทนทานต่อสัญญาณรบกวน สะดวกในการใช้งาน บ้างก็นำเอาแบบจำลองฟิสิกส์ไปใช้เป็นแบบจำลองที่ใช้สำหรับวิธีการควบคุมแบบอาศัยแบบจำลองต่างๆ บ้างก็คิดค้นพัฒนาตัดแปลงทฤษฎีฟิสิกส์ไปใช้ผสมร่วมกับแนวความคิดอื่น เช่น เครือข่ายนิวรอน และอัลกอริทึมพันธุศาสตร์ เพื่อให้ได้การควบคุมที่ดีขึ้น การควบคุมที่สามารถจัดการกับระบบที่ไม่เป็นเชิงเส้นสูง การควบคุมระบบที่ไม่สามารถหาแบบจำลองได้

## 2.2 งานวิจัยที่เกี่ยวข้องกับการพัฒนาแบบจำลองฟัซซี (Fuzzy Modelling Development)

ในช่วงแรกของการศึกษาเกี่ยวกับหลักการฟัซซี เป็นการศึกษาในเรื่องของการให้เหตุผล การอนุมานฟัซซี การสร้างแบบจำลองฟัซซี ซึ่งประสบความสำเร็จในการนำแบบจำลองฟัซซีไปประยุกต์ใช้กับกระบวนการจริง จึงมีผู้ให้ความสนใจในการพัฒนาเพื่อให้ได้แบบจำลองที่มีประสิทธิภาพในการจำลองกระบวนการ ได้ถูกต้องแม่นยำในสถานการณ์ต่างๆ ได้ดีขึ้น มีการเสนอการสร้างแบบจำลองฟัซซีไว้หลายวิธีการ แต่ละวิธีการมีพัฒนาการที่แตกต่างกันออกไป พอสรุปได้ ดังนี้

ในปี ค.ศ. 1985 Takagi และ Sugeno ได้เสนอวิธีการใหม่ในการสร้างแบบจำลองฟัซซี ซึ่งเป็นวิธีการที่ง่าย แบบจำลองที่สร้างขึ้นนี้มีลักษณะเป็นกฎเงื่อนไขของการแจกแจงเหตุสุดุผล (Implication) ซึ่งอธิบายปริภูมิ (Space) ของอินพุต และในส่วนผลสรุปเป็นการแสดงความสัมพันธ์เชิงเส้นของตัวแปรอินพุต-เอาต์พุต การระบุหาแบบจำลองจะอาศัยข้อมูลอินพุต-เอาต์พุต การระบุหาแบ่งเป็นสองส่วนคือการระบุหาโครงสร้างและพารามิเตอร์ของแบบจำลอง การระบุหาโครงสร้างประกอบด้วยการเลือกตัวแปรในส่วนเงื่อนไข และการกำหนดฟังก์ชันสมาชิกของตัวแปร และได้ประยุกต์ใช้วิธีการค้นหาแบบฮิวริสติก (Heuristic search) เพื่อทำการเลือกตัวแปรในส่วนเงื่อนไข และใช้วิธีการกำลังสองน้อยที่สุดเพื่อระบุหาพารามิเตอร์ในส่วนผลสรุป วิธี การนี้สามารถประยุกต์ใช้เพื่อสร้างแบบจำลองกระบวนการทางอุตสาหกรรม เช่น กระบวนการทำน้ำให้สะอาด และคอนเวอร์เตอร์ (Converter) ของกระบวนการผลิตเหล็กกล้าได้เป็นอย่างดี

ในปี ค.ศ. 1992 Nomura, Hayashi และ Wakami เสนอวิธีการเรียนรู้ (Learning method) ในการอนุมานกฎฟัซซีซึ่งอาศัยวิธีเคสเซ็นท์ (Descent method) โดยหาความสัมพันธ์ระหว่างข้อมูลอินพุต-เอาต์พุตเพื่อสร้างกฎ จากนั้นฟังก์ชันความเป็นสมาชิกในส่วนเงื่อนไขและจำนวนจริงในส่วนผลสรุปจะถูกปรับค่าโดยวิธีเคสเซ็นท์ ข้อดีของวิธีนี้คือมีความเร็วการเรียนรู้สูงกว่าวิธีแบคโพรพาเกชันของนิรวัลเน็ตเวิร์คแบบดั้งเดิม (Conventional back propagation type neural network) และยังสามารถแสดงความสัมพันธ์ข้อมูลอินพุต-เอาต์พุตในรูปของกฎฟัซซีอีกด้วย นอกจากนี้ได้ประยุกต์ใช้วิธีการนี้กับหุ่นยนต์เคลื่อนที่ซึ่งสามารถหลบหลีกสิ่งกีดขวางที่เคลื่อนที่ได้เป็นอย่างดี

ในปี ค.ศ. 1993 Sugeno และ Yasukawa ได้เสนอวิธีการสร้างแบบจำลองเชิงคุณภาพ ซึ่งอยู่บนพื้นฐานของฟัซซีลอจิก วิธีการสร้างแบ่งเป็นสองส่วนคือการสร้างแบบจำลองฟัซซี

และการประมาณเชิงภาษา (Linguistic approximation) โดยใช้วิธีฟัซซีคลัสเตอร์ที่เรียกว่า ฟัซซีซี-มีน (Fuzzy C-means) เพื่อทำการระบุหาโครงสร้างของแบบจำลองฟัซซี แบบจำลองที่ได้เป็นแบบจำลองเชิงภาษาที่อธิบายด้วยเทอมทางภาษา และได้ใช้เกณฑ์สม่ำเสมอ (Regularity criterion) เพื่อระบุหาตัวแปรในส่วนเงื่อนไขของกฎ นอกจากนี้ยังประยุกต์ใช้วิธีการทางออปติไมเซชันในการกำหนดจำนวนกฎที่เหมาะสม อัลกอริทึมที่เสนอนี้ได้ประยุกต์ใช้ในการจำลองกระบวนการไดนามิก และจำลองระบบการควบคุมของผู้ปฏิบัติการ พบว่าแบบจำลองฟัซซีให้ค่าดัชนีสมรรถนะเป็นที่น่าพอใจ

ในปี ค.ศ. 1994 Zhao, Wertz และ Gorez ได้ใช้วิธีการฟัซซีคลัสเตอร์ในการระบุหาแบบจำลองฟัซซี แบบจำลองที่ได้เป็นแบบจำลอง Takagi-Sugeno โดยใช้จีเคอัลกอริทึม (Gustafson-Kessel algorithms) ซึ่งเป็นอัลกอริทึมที่ใช้ในการระบุหาคลุ่มในลักษณะเชิงเส้น (Linear cluster) พบว่าเทคนิคที่เสนอสามารถที่จะรวมการระบุโครงสร้างและพารามิเตอร์ในส่วนผลสรุปได้ และได้ทำการทดสอบวิธีการนี้กับการจำลองระบบสติกซ์และระบบไดนามิกแบบไม่เชิงเส้น พบว่าวิธีการนี้สามารถให้แบบจำลองฟัซซีที่เหมาะสมของระบบได้ นอกจากนี้แบบจำลองฟัซซีที่ได้ยังสามารถประยุกต์ใช้ในการสร้างตัวควบคุมฟัซซีแบบอาศัยแบบจำลอง

ในปี ค.ศ. 1995 Babuska และ Verbruggen เสนอวิธีการสร้างแบบจำลองฟัซซีเชิงภาษา (Linguistic fuzzy model) จากแบบจำลองฟัซซีเชิงเส้น (Fuzzy linear model) ซึ่งเป็นการรวมวิธีการระบุหาของแบบจำลองฟัซซีเชิงเส้นเข้ากับความสามารถในการตีความหมาย (Semantic interpretation) ที่ดีของแบบจำลองฟัซซีเชิงภาษา และได้ประยุกต์ใช้วิธีการนี้ในการระบุหาแบบจำลองเชิงเส้นของกระบวนการที่มีความไม่เป็นเชิงเส้นสูง (Highly nonlinear process) พบว่าแบบจำลองที่ได้ให้ความถูกต้องแม่นยำมากขึ้นเมื่อเทียบกับแบบจำลองเชิงเส้นแบบเดิม

ในปี ค.ศ. 1996 Mohammad, Burhan และ Andrew ได้เสนอขั้นตอนการระบุหาโครงสร้างฟัซซีโดยใช้ฟัซซี-มีน เริ่มจากการระบุหาโครงสร้างฟัซซีโดยการหาจำนวนกฎด้วยฟัซซีคลัสเตอร์และทำการเลือกตัวแปรอินพุท จากนั้นระบุหาค่าพารามิเตอร์ซึ่งในขั้นตอนนี้ประกอบไปด้วยการหาค่าพารามิเตอร์ที่เหมาะสมและทำการปรับค่าอีกครั้ง ทำการทดสอบวิธีการนี้กับระบบสติกซ์ที่ไม่เป็นเชิงเส้นซึ่งมีตัวแปรอินพุท 2 ตัว และ ตัวแปรเอาต์พุท 1 ตัว พบว่าวิธีการนี้ง่ายและมีประสิทธิภาพสูง

ในปี ค.ศ. 1997 Euntin Kim เสนอวิธีการใหม่ในการสร้างแบบจำลองฟัซซีโดยวิธีการนี้ได้นำข้อดีของแบบจำลอง Takagi-Sugeno และแบบจำลองของ Sugeno-Yasukawa ไปด้วยกัน ซึ่งอัลกอริทึมประกอบด้วย 2 ขั้นตอน คือการปรับจูนหยาบ และการปรับจูนละเอียด สำหรับการปรับจูนหยาบนั้นอาศัยวิธีการ Fuzzy C-regression Model Clustering (FCRM) ซึ่งพัฒนามาจาก Fuzzy C-means Clustering (FCM) ส่วนการปรับจูนละเอียดนั้นอาศัย อัลกอริทึมเกรเดียนต์เดสเซนส์ในการปรับค่าพารามิเตอร์ของแบบจำลองฟัซซีแทนวิธีการหาค่าที่เหมาะสมไม่เชิงเส้น (Nonlinear optimization method) นอกจากนี้ยังประยุกต์วิธีการใหม่นี้กับฟังก์ชันไม่เชิงเส้นที่ประกอบด้วยตัวแปรอินพุต 2 ตัว ตัวแปรเอาต์พุต 1 ตัว และประยุกต์ใช้กับข้อมูลที่ได้จากเตาเผาโดยใช้แก๊ส (Gas furnace) พบว่าวิธีการที่เสนอนี้มีค่าดัชนีสมรรถนะ (Performance index) น้อยกว่าวิธีอื่นๆ

ในปี ค.ศ. 1998 Babuska, Roubos และ Verbruggen งานวิจัยนี้ได้มุ่งเน้นที่ระบบหลายตัวแปรอินพุตหลายตัวแปรเอาต์พุต (Multiple-input multiple-output system) ซึ่งประกอบด้วยคู่ของแบบจำลองหลายตัวแปรอินพุตหนึ่งตัวแปรเอาต์พุต (Multiple-input single-output model) แบบ Takagi-Sugeno ทำการระบุนหาโครงสร้างโดยใช้ฟัซซีจีเคคัลสเตอร์ริงบนโปรแกรม MATLAB toolbox และประยุกต์ใช้กับถังน้ำต่อกัน 4 ถัง (cascaded tanks) และเปรียบเทียบกับแบบจำลอง สเปตสเปซเชิงเส้นลำดับ 4 ( $4^{\text{th}}$ -order linear state-space model) พบว่าแบบจำลองฟัซซีให้ความถูกต้องแม่นยำมากกว่า

ตารางที่ 2.1 สรุปผลงานวิจัยการสร้างแบบจำลองฟัซซี

ปี ค.ศ.	ผู้วิจัย	วิธีการ	การประยุกต์ใช้
1985	Takagi และ Sugeno	ระบุนหาโครงสร้างด้วยวิธีค้นหาแบบฮิวริสติกและระบุนหาพารามิเตอร์ด้วยวิธีกำลังสองน้อยที่สุด	การทำน้ำให้บริสุทธิ์และคอนเวอเตอร์ของกระบวนการผลิตเหล็กกล้า
1992	Nomura, Hayashi และ Wakami	วิธีเดสเซนส์	หุ่นยนต์เคลื่อนที่
1993	Sugeno และ Yasukara	ฟัซซี-มินคัลสเตอร์ริง	กระบวนการไดนามิกและการจำลองการควบคุมของผู้ปฏิบัติการ

1994	Zhao, Wertz และ Gorez	จี-เคคัลด์เตอริง	ระบบสติกติ์และระบบได นามิกแบบไม่เชิงเส้น
1995	Babuska และ Verbruggen	สร้างแบบจำลองฟัซซีเชิง ภาษาจากแบบจำลองฟัซซี เชิงเส้น	กระบวนการที่มีความไม่เป็น เชิงเส้นสูง
1996	Mohammad, Burhan และ Andrew	ฟัซซีซี-มินคัลด์เตอริง	ระบบสติกติ์ไม่เป็นเชิงเส้น
1997	Euntin Kim	ฟัซซีซี-รีเกรสชัน คัลด์เตอริง	ฟังก์ชันไม่เป็นเชิงเส้นและ เตาเผาโดยใช้แก๊ส
1998	Babuska, Roubos และ Verbruggen	ฟัซซีจี-เคคัลด์เตอริง	ถึงน้ำตอกัน 4 ถัง

### 2.3 การวิจัยที่เกี่ยวข้องกับตัวควบคุมฟัซซี (Fuzzy controller)

ในปี ค.ศ. 1994 Postlethwaite ใช้แบบจำลองฟัซซีในการออกแบบตัวควบคุม ซึ่งเรียกว่า ตัวควบคุมฟัซซีแบบอาศัยแบบจำลอง โดยมีวัตถุประสงค์เพื่อใช้แทนตัวควบคุมฟัซซีแบบ ผู้เชี่ยวชาญ ซึ่งกฎการควบคุมออกแบบโดยใช้ความรู้และความชำนาญในการปฏิบัติการของผู้ ปฏิบัติการ ดังนั้นตัวควบคุมฟัซซีลอจิกแบบอาศัยแบบจำลองจึงเป็นการออกแบบเพื่อทำการ จำลองกระบวนการตัดสินใจของมนุษย์โดยใช้แบบจำลองฟัซซี โครงสร้างของแบบจำลองนี้มี ลักษณะคล้ายกับตัวควบคุมแบบอาศัยแบบจำลองทั่วไป และได้ประยุกต์ใช้ตัวควบคุมฟัซซี แบบอาศัยแบบจำลองกับกระบวนการควบคุมระดับน้ำ และการควบคุมอุณหภูมิของเครื่อง แลกเปลี่ยนความร้อนในห้องปฏิบัติการ พบว่าตัวควบคุมฟัซซีแบบใช้โมเดลให้ผลการควบคุม ที่ดีกว่าเมื่อเทียบกับการควบคุมด้วยตัวควบคุมพีไอ แต่วิธีการที่เสนอนี้ยังมีปัญหาบางอย่างใน การกำหนดจำนวนของฟัซซีเซตอ้างอิงที่เหมาะสมของแบบจำลองเพื่อรับประกันค่าสมรรถนะ ของแบบจำลอง

ในปี ค.ศ. 1995 Taur, Tao และ Tsai ประยุกต์ใช้ฟัซซีพีไอดีในการควบคุมอุณหภูมิ ของเครื่องอัดหลอมพลาสติก ตัวควบคุมฟัซซีนี้อยู่บนพื้นฐานของการควบคุมแบบพีไอดีฟัซซี ที่อาศัยกฎเงื่อนไขและฟังก์ชันสมาชิกแบบสามเหลี่ยม วิธีการนี้ช่วยแก้ไขข้อจำกัดของตัวควบคุม ฟัซซีแบบเดิม (Traditional fuzzy controller) คือไม่สามารถปรับปรุงสมรรถนะที่สภาวะคง

ตัว สำหรับระบบที่มีการเปลี่ยนแปลงตามเวลา (Time-varying system) จากการควบคุมแสดงให้เห็นว่าตัวควบคุมฟuzzyฟuzzyให้ผลการควบคุมดีกว่าตัวควบคุมแบบฟuzzyฟuzzy

ในปี ค.ศ. 1996 Hwang และ Jeong เสนอการออกแบบระบบควบคุมโดยใช้ตัวควบคุมฟuzzyฟuzzyในการควบคุมหม้อต้มน้ำไอน้ำ (Boiler-turbine) ซึ่งมีการใช้ตัวรวมสัญญาณ (Integrator) เมตริกซ์เกนสัมพัทธ์ (Relative gain matrix) จากการทดสอบพบว่าวิธีนี้มีความทนทาน (Robustness) และมีความสามารถในการติดตามที่เหมาะสมถึงแม้จะมีความผิดพลาดของโมเดล มีตัวรบกวนและความไม่แน่นอนของพารามิเตอร์

ในปี ค.ศ. 1997 Abonyi, Nagy และ Szeifert ได้ประยุกต์ใช้ตัวควบคุมฟuzzy Takagi-Sugeno ในการควบคุมอุณหภูมิของเครื่องปฏิกรณ์ผลิตสไตรีนแบบกะ โดยอาศัยวิธี Controller Output Error Method (COEM) ซึ่งวิธีนี้สามารถปรับจูนแบบออนไลน์ได้และได้ทำการเปรียบเทียบเกี่ยวกับตัวควบคุมแบบฟuzzyฟuzzyที่ไม่ได้ใช้ร่วมกับวิธีนี้ พบว่าวิธี COEM นี้สามารถปรับปรุงสมรรถนะของตัวควบคุมแบบฟuzzyฟuzzyได้และมีประสิทธิภาพสูงกว่า

ในปี ค.ศ. 1997 Sousa, Babuska และ Verbruggen ได้ประยุกต์ใช้การควบคุมแบบอาศัยแบบจำลองภายใน โดยอาศัยแบบจำลองฟuzzyฟuzzy ซึ่งแบบจำลองฟuzzyฟuzzyที่ใช้เป็นแบบ Takagi-Sugeno ได้มาจากการคลัสเตอร์ริง (Clustering) การออกแบบตัวควบคุมวิธีนี้สามารถทำได้ง่าย โดยการผกผัน (Invert) แบบจำลองฟuzzyฟuzzy และทำการทดสอบตัวควบคุมกับระบบปรับอากาศ และเปรียบเทียบกับตัวควบคุมฟuzzyฟuzzy พบว่าตัวควบคุมฟuzzyฟuzzyแบบอาศัยแบบจำลองภายในให้ผลการตอบสนองเร็วกว่าตัวควบคุมแบบฟuzzyฟuzzy

ในปี ค.ศ. 1999 Gamero และ Flores กล่าวถึงการประยุกต์ตัวควบคุมฟuzzyฟuzzyในการควบคุมกระบวนการเทคโนโลยีชีวภาพ (Biotechnology) โดยใช้เครื่องปฏิกรณ์ถังแบบต่อเนื่อง ในการเปลี่ยนเฟอร์รัสไอออน ( $Fe^{2+}$ ) ไปเป็น เฟอร์ริกไอออน ( $Fe^{3+}$ ) อาศัยเชื้อแบคทีเรียออกซิเดชัน (thiobacillus ferrooxidants) ผ่านกระบวนการ ชัลไฟด์ไบโอออกซิเดชัน ตัวควบคุมฟuzzyฟuzzyถูกออกแบบบนพื้นฐานของแบบจำลองเชิงภาษา ทำการทดสอบตัวควบคุมฟuzzyฟuzzyและเปรียบเทียบกับตัวควบคุมฟuzzyฟuzzy พบว่าตัวควบคุมฟuzzyฟuzzyมีสมรรถภาพในการควบคุมดีกว่าตัวควบคุมฟuzzyฟuzzy แต่จำเป็นต้องมีการออกแบบที่ดีกว่านี้เพื่อให้การตอบสนองเร็วขึ้นและรุนแรงน้อยลง

ในปี ค.ศ. 2000 Rey-Chue Hwang, Huang-Chu Huang และ Wei-Shen Chi ได้พัฒนา ตัวควบคุมฟuzzyพีไอดี ซึ่งตัวควบคุมนี้ประกอบด้วยตัวควบคุมฟuzzy 2 ตัวซึ่งเป็นอิสระต่อกัน ลักษณะของตัวควบคุมพีไอแสดงอยู่ในตัวควบคุมฟuzzyตัวแรก ส่วนตัวควบคุมฟuzzyตัวที่สอง จะแสดงลักษณะของส่วนอินทิกรัล และได้ทดสอบตัวควบคุมนี้กับระบบไม่เป็นเชิงเส้นที่ ซับซ้อนโดยเปรียบเทียบกับตัวควบคุมพีไอดี พบว่าตัวควบคุมฟuzzyพีไอดีให้สมรรถนะในการ ควบคุมที่ดีกว่า

ตารางที่ 2.2 สรุปผลงานวิจัยการออกแบบตัวควบคุมฟuzzy

ปี ค.ศ.	ผู้วิจัย	วิธีการ	การประยุกต์ใช้
1994	Postlethwaite	ตัวควบคุมโดยอาศัย แบบจำลอง	การควบคุมอุณหภูมิของ เครื่องแลกเปลี่ยนความร้อน
1995	Taur, Tao และ Tsai	ตัวควบคุมฟuzzyพีไอดี	เครื่องอัดหลอมพลาสติก
1996	Hwang และ Jeong	ตัวควบคุมฟuzzyโดยอาศัย เมตริกซ์เกนสัมพัทธ์	หม้อต้มน้ำไอพ่น
1997	Abonyi, Nagy และ Szeifert	ตัวควบคุมฟuzzy Takagi- Sugeno โดยอาศัยวิธี COEM	เครื่องปฏิกรณ์แบบกะใน กระบวนการผลิตสไตรีน
1997	Sousa, Babuska และ Verbruggen	ตัวควบคุมฟuzzyอาศัย แบบจำลองภายใน	ระบบปรับอากาศ
1999	Gamero และ Flores	ตัวควบคุมฟuzzyจาก แบบจำลองแมมดानी	เครื่องปฏิกรณ์ถังกวน แบบต่อเนื่องของ กระบวนการ เทคโนโลยีชีวภาพ
2000	Rey-Chue Hwang, Huang-Chu Huang และ Wei-Shen Chi	ตัวควบคุมฟuzzyพีไอดี	ระบบไม่เป็นเชิงเส้นที่ ซับซ้อน



## 2.4 งานวิจัยที่เกี่ยวข้องกับการควบคุมแบบฟัซซีของห้องปฏิบัติการควบคุมกระบวนการ (Fuzzy Control in Computer Process Control Laboratory)

ในปี พ.ศ. 2539 นฤพนธ์ มัญมณี ได้ประยุกต์ใช้ตัวควบคุมฟัซซีลอจิกแบบผู้เชี่ยวชาญในการควบคุมระดับน้ำในถังทรงกลม โดยใช้การแบ่งย่านการควบคุมออกเป็นย่านเกินสูงและย่านเกินต่ำ ผลการทดสอบพบว่าตัวควบคุมฟัซซีแบบใช้โมเดลมีความสามารถในการติดตามเมื่อค่าเป้าหมายมีการเปลี่ยนแปลงและให้สมรรถนะในการควบคุมที่ดีกว่าตัวควบคุมพีไอ

ในปี พ.ศ. 2541 รุ่งจิตร กัญจนวัฒน์ ได้ประยุกต์ใช้วิธีคลัสเตอร์ริงเพื่อทำการระบุหาแบบจำลองฟัซซีของกระบวนการและออกแบบตัวควบคุมฟัซซีลอจิก โดยใช้แบบจำลองฟัซซี แบบจำลองฟัซซีแบบทาคาจิ-ซูกะโน ถูกเลือกใช้และระบุหาได้จากข้อมูลของกระบวนการ การออกแบบตัวควบคุมฟัซซีแบบใช้โมเดลกระทำได้โดยการใส่แบบจำลองฟังก์ชันของกระบวนการ วิธีนี้ประยุกต์ใช้กับการควบคุมระดับของเหลวในระบบถังทรงกลม ผลจากการซิมูเลตแสดงให้เห็นว่า อัลกอริทึมที่ใช้ในการระบุหาแบบจำลองฟัซซีให้ค่าสมรรถนะที่ดี โครงสร้างของตัวควบคุมฟัซซีแบบใช้โมเดลสามารถออกแบบได้ง่ายจากแบบจำลองฟัซซี ผลการทดสอบพบว่าตัวควบคุมฟัซซีแบบใช้โมเดลมีความสามารถในการติดตามเมื่อค่าเป้าหมายมีการเปลี่ยนแปลงและให้สมรรถนะที่ดีในการควบคุม

ในปี พ.ศ. 2541 ทศนีย์ วัฒนเขาวนพิสุทธิ์ ได้สร้างแบบจำลองความสัมพันธ์ฟัซซีเพื่อใช้เป็นแบบจำลองภายในสำหรับการควบคุมแบบใช้แบบจำลองภายใน (Internal Model Control) โดยการเขียนโปรแกรมซิมูเลทกระบวนการและการควบคุมเพื่อทดสอบตัวควบคุมที่ได้ใน 2 กรณีคือ กรณีที่ค่าเป้าหมายมีการเปลี่ยนแปลงเป็นแบบสเค็ปและกรณีที่มีการรบกวนแบบสเค็ป ผลการวิจัยพบว่าการควบคุมในลักษณะนี้สามารถควบคุมกระบวนการได้ดีกว่าการควบคุมแบบดั้งเดิมและสามารถใช้แทนการควบคุมแบบฐานจำลองที่เป็นแบบจำลองทางคณิตศาสตร์ได้

## 2.5 งานวิจัยที่เกี่ยวข้องกับการควบคุมตัวย่อยเยื่อกระดาษ (Pulp Digester Control)

ในปี ค.ศ. 1994 Datta และ Lee สนใจศึกษาการควบคุมตัวย่อยเยื่อกระดาษแบบกะซึ่งเป็นการควบคุมแบบออสัยแบบจำลอง แบบจำลองนี้ประกอบไปด้วยสเตททั้งหมด 14 ตัว โดยใช้เทคนิคเอกซ์เทนเดดคาลมานฟิลเตอร์ (Extended Kalman Filter) ร่วมกับการควบคุมแบบ

โมเดลพรีดิกทีฟ (Model Predictive Control) ในการควบคุมและประมาณค่าแคปปา ซึ่งเป็นค่าที่บ่งบอกถึงอัตราการกำจัดลิกนินออกจากไม้และเป็นค่าที่ไม่สามารถวัดได้จึงต้องประมาณค่าจากค่าที่วัดได้ค่าอื่น ค่าแคปปาสุดท้ายควรเข้าใกล้ค่าที่ต้องการเท่าที่จะเป็นไปได้แม้ว่าจะมีความคลาดเคลื่อนจากการประมาณค่าเริ่มต้นและมีสิ่งรบกวน จากผลการวิจัยพบว่าเทคนิคที่ใช้ในงานวิจัยนี้สามารถควบคุมค่าแคปปาและเวลาในการดำเนินการได้อย่างมีประสิทธิภาพ

ในปี ค.ศ. 1994 Datta และ Lee ได้พยายามแก้ไขข้อบกพร่องของงานวิจัยก่อนหน้านี้ โดยทำการทดลองเพื่อลดจำนวนสเตทของตัวย่อยเยื่อกระดาษ (Pulp digester) ซึ่งใช้กลุ่มของสารประกอบในไม้เช่น กลุ่มของลิกนิน หรือกลุ่มของคาร์โบไฮเดรตแทนที่จะใช้ลิกนินแต่ละชนิดหรือคาร์โบไฮเดรตแต่ละชนิด ทำให้สามารถลดจำนวนสเตทจาก 14 ตัวเหลือเพียง 11 ตัว และเมื่อทำการทดสอบพบว่าแบบจำลองที่ทำการลดจำนวนสเตทแล้วนั้นมีสมรรถนะดีพอๆ กับแบบจำลองที่มีสเตท 14 ตัว และยังสามารถแก้ปัญหาความผิดพลาดในการประมาณค่าแคปปา คือแบบจำลองที่มีสเตทต่ำกว่าสามารถประมาณค่าได้ใกล้เคียงมากกว่า

ในปี ค.ศ. 1997 Srinivasan Vanchinathan และ Gopal A/ Krishnagopalan ได้พัฒนาแบบจำลองไม่เป็นเชิงเส้นของกระบวนการผลิตเยื่อกระดาษซึ่งอาศัยการวัดค่าออนไลน์ ค่าที่วัดได้จากของเหลวได้แก่ เอฟเฟกต์ฟัลด์ค่าไลน์ ความเข้มข้นของซัลไฟด์ ความเข้มข้นของของแข็งรวม และประมาณลิกนิน ซึ่งค่าเหล่านี้วัดได้โดยการวิเคราะห์จากค่าการนำไฟฟ้า ไอออน โครมาโทกราฟี ค่าดัชนีรีเฟรคทีฟ และค่าการดูดซับรังสีอัลตราไวโอเลต ตามลำดับ ค่าพารามิเตอร์ของแบบจำลองที่ระบุหาได้จากข้อมูลการทดลองถูกนำมาเปรียบเทียบกับงานวิจัยที่ผ่านมา เมื่อทำการทดสอบแบบจำลองทางคณิตศาสตร์พบว่าสามารถทำนายค่าได้ดีใกล้เคียงกับการทดลอง นอกจากนี้ยังสามารถใช้เทคนิคการวิเคราะห์ออนไลน์นี้กับการประมาณค่าด้วยคาลมานฟิลเตอร์และการควบคุมแบบโมเดลพรีดิกทีฟได้อย่างมีประสิทธิภาพ

ในปี ค.ศ. 2000 Belarbi, Betton และ Mezaache ได้ประยุกต์ใช้ฟัซซีนิวรัลเน็ตเวิร์ค (Fuzzy neural networks) ในการประมาณค่าแคปปาและออกแบบตัวควบคุมฟัซซีสำหรับตัวย่อยเยื่อกระดาษแบบกะ ค่าแคปปาเป็นตัวแปรควบคุม ส่วนอุณหภูมิและอัตราไหลของสายหมุนเวียนเป็นตัวแปรปรับ ฟัซซีนิวรัลเน็ตเวิร์คถูกใช้ในการเรียนรู้การเลียนแบบกระบวนการจริงและการประมาณค่า นอกจากนี้ยังใช้ในการกำหนดกฎฟัซซีของตัวควบคุม และถึงแม้ว่าตัวควบคุมฟัซซีประกอบด้วยกฎเพียง 9 กฎ แต่ผลที่ได้แสดงว่ามีความทนทานที่ดีเมื่อมีการเปลี่ยนแปลงพารามิเตอร์และสภาวะในการดำเนินการ

ทฤษฎีและการประยุกต์ใช้พีชคณิตเชิงเส้นยังมีการพัฒนาต่อไปอย่างต่อเนื่อง สำหรับงานวิจัยที่กล่าวถึงข้างต้นนี้เป็นแนวทางในการทำการวิจัยฉบับนี้



สถาบันวิทยบริการ  
จุฬาลงกรณ์มหาวิทยาลัย

### บทที่ 3

#### แบบจำลองฟัซซี

หลักการของการสร้างแบบจำลองของระบบเป็นการหาความสัมพันธ์ระหว่างตัวแปรอินพุตและเอาต์พุต ในปัจจุบันการสร้างแบบจำลองทางคณิตศาสตร์ของระบบที่มีความซับซ้อน ความไม่แน่นอนและความไม่เชิงเส้นสูง อาจจำเป็นต้องใช้เวลามากหรืออาจไม่ได้คุณภาพ ดังนั้นแบบจำลองฟัซซีจึงเป็นอีกทางเลือกหนึ่งในการสร้างแบบจำลองของกระบวนการ ทั้งนี้เนื่องจากประสบความสำเร็จในการประยุกต์ใช้กับกระบวนการที่ซับซ้อน อีกทั้งในปัจจุบันได้มีการศึกษาและประยุกต์ใช้ตัวควบคุมแบบอาศัยแบบจำลองมากขึ้น และในส่วนของตัวควบคุมฟัซซีก็มีพัฒนาการเป็นตัวควบคุมแบบอาศัยแบบจำลองมากขึ้น ทั้งนี้เนื่องจากความซับซ้อนของกระบวนการเองทำให้การออกแบบตัวควบคุมฟัซซีจากความรู้ของผู้เชี่ยวชาญเป็นไปได้ยาก ดังนั้นตัวควบคุมฟัซซีแบบอาศัยแบบจำลองจึงมีบทบาทมากขึ้น ในที่นี้แบบจำลองฟัซซีเปรียบเสมือนเป็นฐานความรู้ของตัวควบคุมที่ออกแบบโดยอาศัยแบบจำลอง จำเป็นต้องมีแบบจำลองที่ถูกต้องและเหมาะสมที่สามารถทำนายค่าเอาต์พุตและพฤติกรรมของระบบได้อย่างแม่นยำ

#### 3.1 แบบจำลองฟัซซี

แบบจำลองฟัซซีเป็นแบบจำลองระบบที่แสดงด้วยการอธิบายโดยใช้ภาษา ซึ่งอาศัยหลักการของฟัซซีลอจิก โดยปกติแล้วการอธิบายด้วยภาษานี้เป็นการแสดงความสัมพันธ์ของอินพุตและเอาต์พุตในรูปของกฎทางภาษา ซึ่งอยู่ในลักษณะของกฎฟัซซีแบบมีเงื่อนไขถ้า-แล้ว (Fuzzy if-then rule) แสดงได้ดังนี้

$$\text{If (ส่วนเงื่อนไข) Then (ส่วนผล)} \quad (3.1)$$

โดยที่ส่วนเงื่อนไขและส่วนผลของกฎเป็นประพจน์แบบฟัซซี โดยส่วนเงื่อนไขอาจประกอบด้วยประพจน์ฟัซซีหลายๆ ประพจน์เชื่อมด้วยตัวเชื่อมเชิงตรรก นอกจากนี้ประพจน์แบบฟัซซีอาจประกอบด้วยนิเสธหรือคำขยายได้อีกด้วย แต่เพื่อให้ง่ายแก่ความเข้าใจจะทำการพิจารณากฎดังสมการ (3.2)

$$\text{If } x_1 \text{ is } A_1 \text{ and } x_2 \text{ is } A_2 \text{ Then } y \text{ is } B \quad (3.2)$$

โดยที่  $A_1, A_2$  และ  $B$  เป็นฟัซซีเซต ซึ่งกำหนดคุณลักษณะด้วยฟังก์ชันสมาชิก  $\mu_{A_1}(x_1), \mu_{A_2}(x_2)$  และ  $\mu_B(y)$  ตามลำดับ ตัวแปรระบบจะถูกแบ่งออกไปเป็นช่วงของฟัซซีโดยใช้ฟังก์ชันสมาชิก (Membership function) จากสมการที่ (3.2) ตัวแปรที่ปรากฏในส่วนก่อนเงื่อนไข (Antecedent variable) คืออินพุต  $x_1$  และ  $x_2$  ส่วนตัวแปรที่ปรากฏในส่วนผลของกฎเรียกว่าตัวแปรส่วนผล (Consequent variable) คือเอาต์พุต  $y$  ตัวแปรเหล่านี้จะถูกแบ่ง (Partition) ออกเป็นช่วงของฟัซซีซึ่งนิยามบนช่วงของวาทะเอกภพ (Universe of discourse) โดยฟังก์ชันสมาชิกของกฎแต่ละข้อจะแสดงการแจกแจงช่วงฟัซซี (Fuzzy region) จากส่วนเงื่อนไขไปยังส่วนผล สมการ (3.2) สามารถเขียนในรูปความสัมพันธ์ฟัซซีได้ดังนี้

$$R = (A_1 * A_2) \rightarrow B \quad (3.3)$$

โดยที่  $*$  เป็นตัวเชื่อมประพจน์ฟัซซี ส่วน  $\rightarrow$  เป็นฟังก์ชันการแจกแจงเหตุผล ซึ่งเป็นการเชื่อมแบบมีเงื่อนไข ส่วนฟังก์ชันการเป็นสมาชิกของ  $R$  กำหนดได้ดังนี้

$$\mu_R = \mu_{A_1}(x_1) * \mu_{A_2}(x_2) \rightarrow \mu_B(y) \quad (3.4)$$

### 3.2 แบบจำลองฟัซซีสำหรับระบบสถิตย์ (Fuzzy Modeling of Static Systems)

ชนิดของแบบจำลองฟัซซีสามารถแบ่งได้ 3 ชนิดโดยพิจารณาจากโครงสร้างและรูปแบบของกฎฟัซซีดังนี้

#### 3.2.1 แบบจำลองฟัซซีเชิงภาษา (Linguistic fuzzy model)

แนวคิดแบบจำลองฟัซซีเชิงภาษาถูกแนะนำโดย Zadeh (1965) ต่อมา Mamdani (1974) และผู้ร่วมงานได้ประยุกต์ใช้ในการควบคุมกระบวนการไดนามิก ดังนั้นในบางครั้งอาจเรียกแบบจำลองฟัซซีชนิดนี้ว่าแบบจำลองฟัซซีแบบแมมดานี ซึ่งหมายถึงรูปแบบกฎฟัซซีจะเป็นประพจน์ฟัซซีทั้งในส่วนเงื่อนไขและส่วนผลของกฎ

รูปแบบของแบบจำลองฟัซซีนี้มีลักษณะคล้ายกฎฟัซซีที่ใช้ในการควบคุมกระบวนการในสมัยแรกเริ่ม รูปแบบของกฎฟัซซีแสดงได้ดังนี้

$$\text{If } x \text{ is } A \text{ Then } y \text{ is } B \quad (3.5)$$

ตัวอย่างของกฎฟuzzy ถ้า-แล้ว ที่แสดงดังสมการที่ (3.5) ประกอบด้วย 2 ส่วนด้วยกัน ในส่วนของประพจน์  $x \text{ is } A$  เรียกว่าส่วนเงื่อนไข และในส่วนของ  $y \text{ is } B$  เรียกว่าส่วนผล ส่วน  $x$  และ  $y$  นั้นเรียกว่า ตัวแปรทางภาษา (Linguistic variable) ซึ่งแสดงค่าทางภาษาโดยใช้ฟuzzyเซตบนโดเมน  $X \subset R^n$  และ  $Y \subset R^m$  ตามลำดับ  $A$  และ  $B$  เป็นเทอมทางภาษาซึ่งมักบอกความหมายของตัวแปรทางภาษา เช่น อุณหภูมิสูง ความดันต่ำ ฯลฯ เทอมทางภาษา ( $A_i$ ) นี้จะนิยามบนโดเมนของหนึ่งตัวแปร ซึ่งอาจมีหลายๆ เทอมทางภาษาใน 1 ตัวแปรก็ได้ และการสะสมของฟuzzyเซต  $[A_1, A_2, A_3, \dots, A_m]$  นี้เรียกว่า ฟuzzyพาร์ทิชัน (Fuzzy partition)

ในกรณีที่มีหลายตัวแปรอินพุต กฎฟuzzyที่แสดงในสมการ (3.5) สามารถเขียนในอีกรูปแบบหนึ่งได้ดังสมการ (3.6)

$$R^k : \text{If } x_1 \text{ is } A_{1,k} \text{ and } \dots \text{ and } x_n \text{ is } A_{n,k} \dots \text{ Then } y \text{ is } B_k \quad (3.6)$$

ยกตัวอย่างเช่น

$$\text{If } x_1 \text{ is small and } x_2 \text{ is medium, } \dots \text{ Then } y \text{ is big} \quad (3.7)$$

โดยทั่วไปแล้วตัวดำเนินการที่นิยมใช้คือตัวดำเนินการ  $Min$  ซึ่งใช้เป็นทั้งตัวเชื่อมการร่วมกันและการแจกเหตุผล และใช้ตัวดำเนินการ  $Max$  สำหรับรวมกลุ่มกฎต่างๆ ในฐานกฎ ซึ่งเป็นการประมาณด้วยผลประกอบการ  $Max-Min$  จำนวนกฎฟuzzyในแบบจำลองฟuzzyชนิดนี้จะเป็นฟังก์ชันแบบเอ็กซ์โพเนนเชียลกับขนาดของปริภูมิ (Space dimension) ของตัวแปรอินพุต

### 3.2.2 แบบจำลองความสัมพันธ์ฟuzzy (Fuzzy relational model)

กฎความสัมพันธ์ฟuzzyเป็นการประยุกต์มาจากกฎแบบแมมดานี แต่มีความแตกต่างกันที่การแสดงโครงสร้างกฎ โครงสร้างกฎของแบบจำลองความสัมพันธ์ฟuzzyแสดงโดยใช้ความสัมพันธ์ฟuzzy ( $R$ ) ซึ่งเป็นการแจกแจงจากฟuzzyเซตของอินพุต  $A_i$  ไปยังฟuzzyเซตของเอาต์พุต  $B_j$  ยกตัวอย่างเช่น แบบจำลองที่มีหนึ่งตัวแปรอินพุตหนึ่งตัวแปรเอาต์พุต ซึ่ง  $x \in X$  และ  $y \in Y$  โดยกำหนดให้

$$A = \{A_1, A_2, \dots, A_M\} \quad (3.8)$$

$$B = \{B_1, B_2, \dots, B_N\} \quad (3.9)$$

$$R = [r_{ij}]_{M \times N} \quad (3.10)$$

โดยที่  $A$  เป็นการสะสมของฟัซซีเซตซึ่งนิยามบนโดเมน  $X$   
 $B$  เป็นการสะสมของฟัซซีเซตซึ่งนิยามบนโดเมน  $Y$   
 $R$  เป็นความสัมพันธ์ฟัซซีที่นิยามการส่งจากเซตของเทอมทางภาษาของตัวแปร  
 อินพุต  $A$  ไปยังเทอมทางภาษาของตัวแปรเอาต์พุต  $B$ ,  $A \rightarrow B$

ฟัซซีเซต  $X$  สำหรับอินพุต  $x$  แบบคริสป์ เขียนดังสมการที่ (3.11) ซึ่งแสดงค่าระดับ  
 ความเป็นสมาชิกในแต่ละเทอมทางภาษาได้ดังนี้

$$X = \{\mu_{A_1}(x), \mu_{A_2}(x), \dots, \mu_{A_M}(x)\} \quad (3.11)$$

ดังนั้นฟัซซีเซต  $Y$  ของเอาต์พุตที่สอดคล้องกันเขียนได้ดังนี้

$$Y = \{\mu_1, \mu_2, \dots, \mu_N\} \quad (3.12)$$

สามารถหาได้โดยใช้การประกอบของความสัมพันธ์ฟัซซี

$$Y = X \circ R \quad (3.13)$$

ฟัซซีเซต จำเป็นต้องทำดีฟัซซีฟิเคชันดังสมการที่ (3.14)

$$b_i = \frac{\sum_{q=1}^{N_q} \mu_{B_i}(y_q)}{\sum_{q=1}^{N_q} \mu_{B_i}} \quad (3.14)$$

โดยที่  $N_q$  เป็นจำนวนของระดับการแบ่งแยก (Discretization levels)

ค่าเอาต์พุตแบบคริสป์  $y_o$  ของแบบจำลองความสัมพันธ์ฟัซซีคำนวณได้โดยใช้ค่าเฉลี่ยแบบ  
 ถ่วงน้ำหนักของ  $b_i$  คำนวณได้โดยใช้สมการที่ (3.15)

$$y_o = \frac{\sum_{i=1}^N \mu_i b_i}{\sum_{i=1}^N \mu_i} \quad (3.15)$$

ความสัมพันธ์ฟัซซีที่แสดงในเทอมของกฎถ้า-แล้ว มีค่าเทียบเท่ากับกฎฟัซซีในสมการ (3.6) ของแบบจำลองฟัซซีเชิงภาษา ในกฎแต่ละข้อของแบบจำลองความสัมพันธ์ฟัซซีจะรวมค่าความเป็นสมาชิกในฟัซซีเซต ( $B_i$ ) ด้วยน้ำหนักที่แตกต่างกัน การให้น้ำหนักสามารถปรับจนละเอียดได้โดยไม่จำเป็นต้องเปลี่ยนฟัซซีอ้างอิง

ตัวอย่างของแบบจำลองความสัมพันธ์ฟัซซี

พิจารณาแบบจำลองที่มีหนึ่งตัวแปรอินพุตและหนึ่งตัวแปรเอาต์พุต ทั้งตัวแปรอินพุตและเอาต์พุตถูกแบ่งออกเป็นสามฟัซซีอ้างอิง คือ *Low, Medium, High* และเขียนความสัมพันธ์ฟัซซี  $R$  ได้ดังสมการที่ (3.16)

$$R = \begin{bmatrix} 0.9 & 0.4 & 0.1 \\ 0.3 & 1.0 & 0.1 \\ 0.0 & 0.6 & 1.0 \end{bmatrix} \quad (3.16)$$

จากความสัมพันธ์ฟัซซี  $R$  สามารถเขียนกฎฟัซซีได้ 3 ข้อด้วยกันดังนี้

$R^1$  : If  $x$  is Low Then  $y$  is Low (0.9), Medium (0.4), High (0.1)

$R^2$  : If  $x$  is Medium Then  $y$  is Low (0.3), Medium (1.0), High (0.1)

$R^3$  : If  $x$  is High Then  $y$  is Low (0.0), Medium (0.6), High (1.0)

### 3.2.3 แบบจำลองฟัซซีทากาจิ-ซุเกโน (Takagi - Sugeno Fuzzy Model)

แบบจำลองฟัซซีชนิดนี้ถูกนำเสนอโดย Takagi และ Sugeno (1985) รูปแบบของกฎแสดงได้ดังสมการที่ (3.17)

$$R^i : \text{If } x_1 \text{ is } A_1^i \text{ and } \dots \text{ and } x_n \text{ is } A_n^i \text{ Then } y^i = f_i(x_1, \dots, x_n) \quad (3.17)$$



พิจารณาส่วนของเงื่อนไขของกฎพบว่ารูปแบบเหมือนในแบบจำลองแมมดानी ส่วนผลของกฎฟัซซีแสดงด้วยฟังก์ชัน  $f_i$  ของอินพุต  $x_i$  เช่น  $f_i$  เป็นฟังก์ชันโพลีโนเมียลของอินพุต  $x_i$  โดยปกติแล้วฟังก์ชัน  $f_i$  มักนิยมแสดงด้วยความสัมพันธ์เชิงเส้นเช่น

$$R^i : \text{If } x_1 \text{ is } A_1^i \text{ and } \dots \text{ and } x_n \text{ is } A_n^i \text{ Then } y^i = p_0^i + p_1^i x_1, \dots, p_n^i x_n \quad (3.18)$$

ขณะที่  $y^i$  เป็นค่าเอาต์พุตจากการแจกแจงเหตุผลของกฎที่  $i$  และ  $A_j^i$  เป็นฟัซซีเซตที่แสดงลักษณะโดยใช้ฟังก์ชันสมาชิก  $p_j^i$  เป็นค่าพารามิเตอร์ของส่วนผลสามารถหาได้โดยวิธีลีสท์สแควร์

กำหนดให้อินพุตแบบคริสป์เป็น  $(x_1, \dots, x_n)$  ดังนั้นค่าเอาต์พุตของแบบจำลองฟัซซีประมาณได้โดยใช้การเฉลี่ยโดยน้ำหนัก (Weighted average) ของ  $y^i$  ดังนี้

$$Y = \frac{\sum_{i=1}^k w^i y^i}{\sum_{i=1}^k w^i} \quad (3.19)$$

โดยที่  $k$  เป็นจำนวนของกฎฟัซซี  
 $y^i$  เป็นเอาต์พุตของกฎข้อที่  $i$   
 $w^i$  เป็นค่าความเป็นสมาชิกทั้งหมดของส่วนเงื่อนไขของการแจกแจงเหตุผลสำหรับตัวแปรอินพุต ซึ่งนิยามโดยใช้สมการที่ (3.20)

$$w^i = \prod_{k=1}^n A_k^i(x_k) = \frac{A_1^i(x_1) \wedge \dots \wedge A_n^i(x_n)}{\sum_{i=1}^n (A_1^i(x_1) \wedge \dots \wedge A_n^i(x_n))} \quad (3.20)$$

ตัวอย่างของแบบจำลองฟัซซีแบบ Takagi-Sugeno

$$R^i : \text{If } x_1 \text{ is small and } x_2 \text{ is big Then } y^i = 0.001 + 0.200x_1 + 1.023x_2 \quad (3.21)$$

### 3.3 แบบจำลองฟuzzy สำหรับระบบไดนามิก (Fuzzy Modelling of Dynamic Systems)

โครงสร้างทั้งหมดที่กล่าวข้างต้นเป็นแบบจำลองฟuzzy ของระบบสติดิย์ สำหรับระบบไดนามิกโดยทั่วไปจะถูกสร้างแบบจำลองจากระบบสติดิย์ ซึ่งขึ้นกับการเลือกสเทตของระบบ (System's state) แบบจำลองฟuzzy สำหรับระบบไดนามิกสามารถแบ่งได้ 3 แบบหลักดังจะกล่าวดังนี้

#### 3.3.1 แบบจำลองสเทตสเปซ (State-space model)

แบบจำลองสเทตสเปซใช้ฟังก์ชันสเทททรานสิชัน (State-transition function) ซึ่งแสดงความสัมพันธ์จากสเทตและอินพุตที่เวลาปัจจุบันไปสู่การเปลี่ยนแปลงของสเทต (Derivative of state) ในกรณีของเวลาต่อเนื่อง (Continuous-time case) หรือไปสู่สเทตที่เวลาถัดไปในกรณีเวลาไม่ต่อเนื่อง (Discrete-time case)

ตัวอย่างแบบจำลอง Discrete-time Takagi-Sugeno

If  $x(k)$  is  $A_i$  and  $u(k)$  is  $B_i$

$$\text{Then } \begin{cases} x_i(k+1) = A_i x(k) + B_i u(k) \\ y_i(k) = C_i x(k) \end{cases} \quad (3.22)$$

โดย  $x(k)$  คือ สเทตของระบบ

$u(k)$  คือ อินพุต

$A_i, B_i, C_i$  คือ เมตริกซ์ที่มีขนาดสัมพันธ์กันของกฎที่  $i$

แบบจำลองนี้เหมาะที่จะเลือกใช้เมื่อความรู้อยู่มากพอที่จะสามารถหาโครงสร้างของระบบและระบุตัวแปรสเทตได้ ข้อดีของแบบจำลองนี้คือโครงสร้างของแบบจำลองจะสัมพันธ์กับระบบจริง ซึ่งส่งผลให้กฎและพารามิเตอร์มักแสดงให้เห็นถึงความเกี่ยวข้องทางกายภาพ

### 3.3.2 แบบจำลองอินพุท-เอาต์พุท (Input-output model)

การสร้างแบบจำลองพีชคณิตจากข้อมูลเนื่องมาจากมีความเข้าใจในระบบไดนามิกไม่มากพอจึงมักใช้การแสดงความสัมพันธ์ของข้อมูลอินพุท-เอาต์พุทมาประยุกต์ แทนที่จะใช้ความสัมพันธ์ทางกายภาพเช่นเวกเตอร์สเตต สเตตของแบบจำลองนี้แสดงโดยจำนวนของอินพุทและเอาต์พุทในอดีตของระบบ เรียกว่าโครงสร้าง NARX (Nonlinear Autoregressive with exogenous input) ซึ่งแสดงความสัมพันธ์ระหว่างกลุ่มข้อมูลอินพุท-เอาต์พุทในอดีตกับค่าเอาต์พุทที่ต้องการทำนายค่า

$$y(k+1) = f(y(k), \dots, y(k-n+1), \dots, u(k), \dots, u(k-m+1)) \quad (3.23)$$

โดย  $k$  คือ เวลาในการสุ่มตัวอย่าง

$m, n$  คือ จำนวนเต็มที่สัมพันธ์กับลำดับของระบบ (System's order)

ตัวอย่างแบบจำลองอินพุท-เอาต์พุท Takagi-Sugeno

If  $y(k)$  is  $A_{i,1}$  and... $y(k-n+1)$  is  $A_{i,n}$  and  $u(k)$  is  $B_{i,1}$  and... $u(k-m+1)$  is  $B_{i,m}$

$$\text{Then } y(k+1) = \sum_{j=1}^n a_{i,j} y(k-j+1) + \sum_{j=1}^m b_{i,j} u(k-j+1) + c_i \quad (3.24)$$

โดย  $a_{i,j}, b_{i,j}, c_i$  คือ พารามิเตอร์ในส่วนผล

### 3.3.3 แบบจำลองผสม (Hybrid approaches)

ในหลายระบบเช่นกระบวนการทางเคมีและชีวเคมีสามารถแบ่งการสร้างแบบจำลองเป็น 2 ลักษณะ คือการสร้างแบบจำลองโดยเข้าใจกลไกของระบบเป็นอย่างดี เช่น สมดุลมวลสารและพลังงาน (Mass and energy balances) อีกลักษณะหนึ่ง คือเข้าใจกลไกแค่บางส่วนและต้องทำการประมาณค่าบางส่วน เช่น อัตราการเกิดปฏิกิริยาจำเพาะ (Specific reaction rates)

สำหรับกรณีหลังบ่อยครั้งจะเกี่ยวข้องกับการใช้แบบจำลองจากการทดลอง (Empirical models) ภายใต้อสมมติฐานที่แน่นอนของกระบวนการ แบบจำลองเหล่านี้อาจจะทำนายได้ไม่

แม่นยำถ้าสมมติฐานไม่ดีพอหรือมีความรู้เกี่ยวกับกระบวนการแค่บางส่วนเท่านั้น ซึ่งแก้ไขได้ โดยรวมสมการอนุพันธ์ (Differential equations) เข้ากับแบบจำลองฟัซซี ก็จะสามารถแสดงความสัมพันธ์ที่ไม่ทราบจากความรู้ที่มีอยู่ ประสบการณ์ หรือข้อมูลได้ ข้อดีของแบบจำลองฟัซซีชนิดนี้ คือทำหน้าที่เป็นตัวทำนายเชิงตัวเลข (Numerical predictors) ได้เป็นอย่างดี ในขณะที่เดียวกันยังสามารถจัดการกับข้อมูลข่าวสารเกี่ยวกับความสัมพันธ์ที่ไม่ทราบได้อย่างมีคุณภาพ

### 3.4 วิธีการสร้างแบบจำลองฟัซซี (Constructing Fuzzy Model)

แบบจำลองฟัซซีสามารถสร้างได้สองวิธีดังนี้

#### 3.4.1 แบบจำลองฟัซซีจากความรู้และประสบการณ์ของผู้เชี่ยวชาญ (As fuzzy expert System, Using human knowledge)

หลักการพื้นฐานของการสร้างแบบจำลองฟัซซีถูกเสนอโดย Zadeh ซึ่งเป็นการสร้างแบบจำลองฟัซซีโดยตรงจากความรู้ของผู้เชี่ยวชาญซึ่งเรียกว่า วิธีการโดยตรง (Direct approach) วิธีการนี้เป็นการแสดงเชิงภาษา (Linguistic description) โดยใช้ภาษาทางธรรมชาติ แล้วใช้ทฤษฎีการประมาณด้วยเหตุผล การอธิบายเชิงภาษานี้แสดงในรูปแบบกฎทางภาษา (Linguistic rule) ซึ่งมีลักษณะเป็นกฎเงื่อนไขที่ได้มาจากความรู้ของผู้เชี่ยวชาญโดยตรง ในบางครั้งอาจมีข้อจำกัดในการออกแบบกฎอยู่บ้าง เช่นผู้เชี่ยวชาญอาจออกแบบกฎได้ไม่ครอบคลุมทั้งหมด หรือในบางกรณีที่ความรู้ของผู้เชี่ยวชาญไม่เป็นจริง จะทำให้ได้แบบจำลองที่ไม่ถูกต้อง ดังนั้นจึงได้มีการพัฒนาวิธีการสร้างแบบจำลองที่เป็นทางการที่สามารถใช้ข้อมูลเชิงตัวเลขของระบบแทนความรู้ของมนุษย์

#### 3.4.2 แบบจำลองฟัซซีจากข้อมูลเชิงตัวเลขของกระบวนการและเทคนิคการระบุหาที่เหมาะสม (Using numerical data and suitable identification techniques)

การสร้างแบบจำลองฟัซซีจากข้อมูลจะอยู่บนพื้นฐานของฟัซซีลอจิก (Fuzzy logic) และการประเมินความเป็นเหตุเป็นผล แบบจำลองฟัซซีมีศักยภาพสูงในความสามารถที่จะรวมข่าวสารจากแหล่งต่างๆ เช่น ข้อมูลหลัก ข้อมูลวัด หรือจากความรู้ที่มีมาแสดงเป็นกฎ

แต่แม้จะไม่มีความรู้เกี่ยวกับกระบวนการมาก่อน กฎและฟังก์ชันสมาชิกของแบบจำลองฟัซซีก็สามารถสร้างได้จากข้อมูลอินพุต-เอาต์พุตของกระบวนการร่วมกับเทคนิคการระบุหาแบบจำลองที่เหมาะสม การระบุหาแบบจำลองฟัซซีประกอบด้วยการระบุหาโครงสร้าง (Structure identification) และการระบุหาพารามิเตอร์ (Parameter identification) ของแบบ

จำลอง เช่นการเลือกตัวแปรอินพุท-เอาต์พุท รูปร่างของฟังก์ชันสมาชิก ค่าพารามิเตอร์ของกฎจำนวนของกฎ เป็นต้น ซึ่งจะกล่าวต่อไป

### 3.4.2 เทคนิคการระบุหาแบบจำลองฟัซซี (Fuzzy Identification Techniques)

แม้ว่าเราอาจจะไม่มีความรู้ความเข้าใจในระบบที่ศึกษามากนัก การได้มาของกฎฟัซซีและฟังก์ชันสมาชิกนั้น สามารถหาได้จากข้อมูลความสัมพันธ์ของอินพุท-เอาต์พุทได้ มีเทคนิคของการระบุหาแบบจำลองที่ได้มีการเสนอในวารสารต่างๆ หลายวิธีด้วยกัน เช่น ฟัซซีคลัสเตอร์ริง (Fuzzy clustering) วิธีการเรียนรู้แบบนิรนัย การเรียนรู้แบบเหนี่ยวนำ (Inductive learning) ออร์โธโกนัลกำลังสองน้อยที่สุด (Orthogonal least squares) ฯลฯ การระบุหาแบบจำลองฟัซซีแบ่งเป็น 2 ขั้นตอน คือ ขั้นตอนแรกเป็นการระบุหาโครงสร้างของแบบจำลอง ส่วนขั้นตอนที่ 2 เป็นการระบุหาพารามิเตอร์ของแบบจำลอง

### 3.5.1 การระบุหาโครงสร้างของแบบจำลอง

การระบุหาโครงสร้างของแบบจำลองสามารถหาได้จากข้อมูลอินพุท-เอาต์พุท โดยใช้เทคนิคการระบุหาที่เหมาะสม ขั้นตอนการระบุหาโครงสร้างของแบบจำลองฟัซซีประกอบด้วย การกำหนดตัวแปรในส่วนเงื่อนไขของกฎฟัซซี การกำหนดจำนวนกฎที่เหมาะสมและการกำหนดฟังก์ชันสมาชิก สำหรับงานวิจัยนี้ได้ประยุกต์ใช้ฟัซซีคลัสเตอร์ริงในการระบุหาโครงสร้างของแบบจำลองฟัซซี วิธีการในการกำหนดของแต่ละขั้นตอนแสดงได้ดังนี้

#### ขั้นตอนที่ 1 การกำหนดตัวแปรในส่วนเงื่อนไข

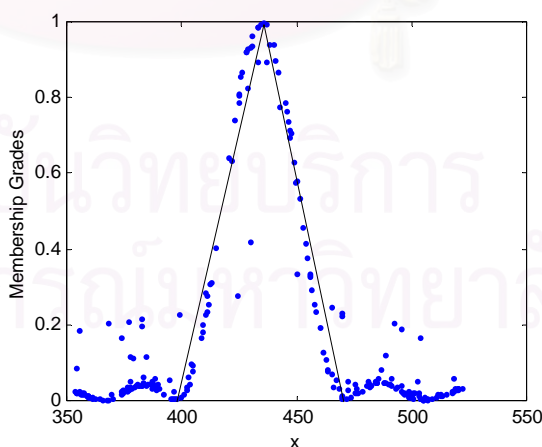
การกำหนดตัวแปรในส่วนเงื่อนไขของกฎ เป็นขั้นตอนที่มีความสำคัญต่อความถูกต้องและสมรรถนะของแบบจำลอง เนื่องจากว่าถ้าทำการเลือกตัวแปรมากหรือน้อยเกินไป อาจส่งผลถึงค่าความถูกต้องของแบบจำลอง ดังนั้นจึงจำเป็นต้องเลือกตัวแปรให้เหมาะสม ตัวแปรที่จะเลือกมักเป็นตัวแปรที่มีอิทธิพลต่อค่าเอาต์พุท และหลังจากการคลัสเตอร์ริงให้พิจารณาฟัซซีพาร์ทิชันเมตริกซ์ ฟัซซีพาร์ทิชันเมตริกซ์แสดงถึงค่าระดับความเป็นสมาชิกของข้อมูลแต่ละจุดในแต่ละกลุ่ม โดยที่แต่ละกลุ่มเปรียบเสมือนกฎแต่ละข้อของแบบจำลองฟัซซี คลัสเตอร์ริงจะทำการเลือกตัวแปรที่เหมาะสมอีกครั้งโดยสังเกตจากฟัซซีพาร์ทิชันเมตริกซ์ว่าสามารถแสดงเป็นฟังก์ชันสมาชิกรูปแบบใดรูปแบบหนึ่งได้หรือไม่ ถ้าไม่แสดงความหมายเป็นฟังก์ชันสมาชิกรูปแบบใดเลย ตัวแปรนั้นจะไม่ถูกกำหนดเป็นตัวแปรในส่วนเงื่อนไข

## ขั้นตอนที่ 2 การกำหนดจำนวนกฎฟuzzyที่เหมาะสม

จากการพิจารณาอัลกอริทึมของฟuzzyคลัสเตอร์พบว่าจำเป็นต้องมีการกำหนดจำนวนกลุ่มเริ่มต้นก่อน โดยที่จำนวนกฎฟuzzyจะมีค่าเท่ากับจำนวนกลุ่มที่กำหนด ในงานวิจัยนี้จะใช้วิธีการออฟไลน์เพื่อระบุหาจำนวนกลุ่มหรือกฎฟuzzyที่เหมาะสม โดยประยุกต์ใช้ค่าเกณฑ์  $J(c)$  เพื่อใช้เป็นเกณฑ์ในการตัดสินใจจำนวนกฎที่เหมาะสม ค่าเกณฑ์นี้เป็นการพิจารณาค่าความแตกต่างระหว่างค่าความแปรปรวนของข้อมูลภายในกลุ่มและค่าความแปรปรวนระหว่างกลุ่ม จำนวนกลุ่มที่เหมาะสมจะต้องทำให้ได้ค่าความแปรปรวนในแต่ละกลุ่มมีค่าต่ำที่สุดและให้ค่าความแปรปรวนระหว่างกลุ่มมีค่าสูงสุด การทำงานของขั้นตอนนี้แสดงดังรูปที่ 4.2

## ขั้นตอนที่ 3 การกำหนดฟังก์ชันสมาชิกในส่วนเงื่อนไขของกฎ

การกำหนดฟังก์ชันสมาชิกในส่วนเงื่อนไขของกฎ ทำโดยใช้ฟuzzyพาร์ติชันเมตริกซ์ (Fuzzy Partition Matrix) ซึ่งได้จากการฟuzzyคลัสเตอร์ข้อมูล การหาฟังก์ชันสมาชิกของแต่ละตัวแปรในส่วนเงื่อนไขของแต่ละกฎ ทำได้โดยเขียนกราฟ (Plot) หรือฉาย (Project) ฟuzzyพาร์ติชันของแต่ละกฎไปยังแกนของแต่ละตัวแปร ดังแสดงในรูปที่ 3.1 เพื่อให้การประมาณกฎฟuzzyเป็นไปได้ง่าย ควรเลือกประมาณด้วยฟังก์ชันที่ง่าย เช่น ฟังก์ชันรูปสามเหลี่ยม ฟังก์ชันรูปสี่เหลี่ยมคางหมู เป็นต้น



รูปที่ 3.1 วิธีการกำหนดฟังก์ชันสมาชิกจากฟuzzyพาร์ติชันเมตริกซ์ สำหรับรายละเอียดเกี่ยวกับฟuzzyคลัสเตอร์ได้แสดงไว้ในบทที่ 4

### 3.5.2 การระบุหาพารามิเตอร์ของแบบจำลอง

ค่าพารามิเตอร์ของแบบจำลองฟuzzyประกอบด้วยค่าพารามิเตอร์ในส่วนเงื่อนไขของกฎและค่าพารามิเตอร์ในส่วนของผลของกฎ ค่าพารามิเตอร์ของฟังก์ชันสมาชิกในส่วนเงื่อนไขทำการระบุได้โดยใช้ฟuzzyคลัสเตอร์ริง ส่วนค่าพารามิเตอร์ในส่วนผลของกฎหรือค่าสัมประสิทธิ์เชิงเส้นของแบบจำลองฟuzzyแบบทากาจิ-ซุกะโน สามารถหาได้โดยการประยุกต์ใช้วิธีลีสท์สแควร์

สมมติให้แบบจำลองฟuzzyแบบ Takagi-Sugeno แสดงได้เป็นกฎเงื่อนไขดังนี้

$$\begin{aligned} R^1 : & \text{If } x_1 \text{ is } A_1^1, \dots, \text{ and } x_k \text{ is } A_{k1}^1 \text{ Then } y = p_0^1 + p_1^1 \cdot x_1 + \dots + p_k^1 \cdot x_k \\ & \vdots \\ R^n : & \text{If } x_1 \text{ is } A_1^n, \dots, \text{ and } x_k \text{ is } A_{kn}^n \text{ Then } y = p_0^n + p_1^n \cdot x_1 + \dots + p_k^n \cdot x_k \end{aligned} \quad (3.25)$$

ค่าเอาต์พุตของแบบจำลองหาได้จากสมการที่ (3.26)

$$y = \frac{\sum_{i=1}^n (A_1^i(x_1) \wedge \dots \wedge A_n^i(x_n)) \cdot (p_0^i + p_1^i \cdot x_1 + \dots + p_k^i \cdot x_k)}{\sum_{i=1}^n (A_1^i(x_1) \wedge \dots \wedge A_n^i(x_n))} \quad (3.26)$$

$$w_i = \frac{A_1^i(x_1) \wedge \dots \wedge A_n^i(x_n)}{\sum_{i=1}^n (A_1^i(x_1) \wedge \dots \wedge A_n^i(x_n))} \quad (3.27)$$

$$y = \sum_{i=1}^n w_i (p_0^i + p_1^i \cdot x_1 + \dots + p_k^i \cdot x_k) \quad (3.28)$$

$$y = \sum_{i=1}^n (p_0^i \cdot w_i + p_1^i \cdot x_1 \cdot w_i + \dots + p_k^i \cdot x_k \cdot w_i) \quad (3.29)$$

จากสมการที่ (3.29) เราสามารถหาค่าพารามิเตอร์  $p_0^i, p_1^i, \dots, p_k^i, i = 1, 2, \dots, n$  โดยใช้วิธีลีสท์สแควร์ดังนี้

กำหนดให้เซตของข้อมูลอินพุต-เอาต์พุตเป็น  $x_{1j}, x_{2j}, \dots, x_{kj}$  และ  $y_j, j=1, \dots, m$  ตามลำดับ

$X$  เป็นเมตริกซ์ที่มีขนาด  $m \times n$  แสดงในสมการที่ (3.30)

$Y$  เป็นเวกเตอร์เอาต์พุตที่แสดงดังสมการที่ (3.32)

$$X = \begin{bmatrix} w_{11}, \dots, & w_{n1}, x_{11} \cdot w_{11}, \dots, & x_{11} \cdot w_{n1}, \dots & & \\ \cdot & \dots, & x_{11} \cdot w_{n1}, \dots, & x_{k1} \cdot w_n & \\ \cdot & & & \cdot & \\ w_{1m}, \dots, & w_{nm}, x_{1m} \cdot w_{1m}, \dots, & x_{1m} \cdot w_{1m}, \dots & & \\ & \dots, & x_{k1} \cdot w_{1m}, \dots, & x_{k1} \cdot w_{nm} & \end{bmatrix} \quad (3.30)$$

$$w_{ij} = \frac{A_{i1}(x_{1j}) \wedge \dots \wedge A_{ik}(x_{kj})}{\sum_j A_{i1}(x_{1j}) \wedge \dots \wedge A_{ik}(x_{kj})} \quad (3.31)$$

โดยที่  $\wedge$  เป็นตัวดำเนินการ *Min*

$$Y = [y_1, \dots, y_m]^T \quad (3.32)$$

$$P = [p_0^1, \dots, p_0^n, p_1^1, \dots, p_1^n, p_k^1, \dots, p_k^n]^T \quad (3.33)$$

ดังนั้นเวกเตอร์พารามิเตอร์ ( $P$ ) สามารถได้จากสมการที่ (3.34)

$$P = (X^T X)^{-1} X^T Y \quad (3.34)$$

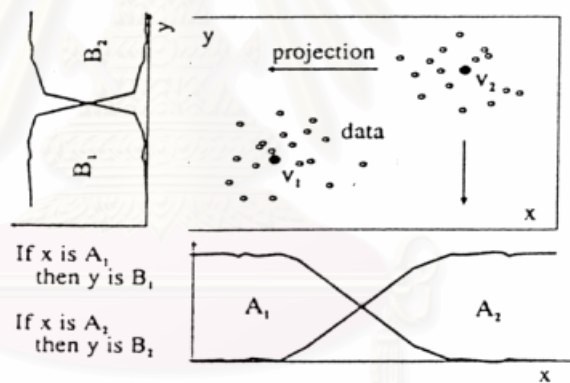
จะได้ค่าพารามิเตอร์ในส่วนผลของแบบจำลองฟิชซี



## บทที่ 4

### ฟัซซีคลัสเตอร์และตัวควบคุมฟัซซี

วิธีการระบุแบบจำลองโดยใช้ฟัซซีคลัสเตอร์นั้น มีที่มาจากการวิเคราะห์ข้อมูล (Data analysis) และแพทเทิร์นเรคคอกนิชัน (Pattern recognition) ซึ่งเป็นการหาโครงสร้างของข้อมูล แนวคิดพื้นฐานของคลัสเตอร์คือ การจัดกลุ่มข้อมูลออกเป็นกลุ่มย่อย ซึ่งสามารถใช้เป็นตัวแทนของแบบจำลองได้ โดยใช้หลักการของระดับความเป็นสมาชิก (Graded of membership) เพื่อแสดงคิกรของข้อมูลที่มีความคล้ายคลึงกับข้อมูลต้นแบบ (Prototypical object) ระดับความคล้ายคลึงกันสามารถคำนวณได้โดยการวัดระยะห่างที่เหมาะสม ด้วยวิธีการนี้ข้อมูล สามารถถูกจัดกลุ่ม โดยให้ข้อมูลภายในกลุ่มเดียวกันต้องมีความคล้ายคลึงกันเท่าที่จะเป็นไปได้ และข้อมูลที่อยู่ต่างกลุ่มควรมีความแตกต่างกันให้มากที่สุด



รูปที่ 4.1 การระบุหากฎฟัซซีโดยวิธีคลัสเตอร์

แนวคิดของฟัซซีคลัสเตอร์แสดงได้ดังรูปที่ 4.1 ซึ่งข้อมูลถูกจัดเป็น 2 กลุ่ม โดยมีจุด  $v_1$  และ  $v_2$  เป็นต้นแบบ ด้วยการวัดระยะห่างแบบยูคลิด (Euclidean distance measure) การแบ่งข้อมูลถูกแสดงในรูปของฟัซซีพาร์ติชันเมตริกซ์ (Fuzzy partition matrix) ที่มีส่วนประกอบเป็น  $\mu_{ij}$  ในที่นี้  $\mu_{ij}$  เป็นค่าความเป็นสมาชิกของข้อมูลที่จุด  $[x_i, y_j]$  ในกลุ่มฟัซซี (Fuzzy cluster) ที่มีจุด  $v_j$  เป็นจุดศูนย์กลางหรือต้นแบบ ทั้งฟัซซีพาร์ติชันเมตริกซ์ และจุดต้นแบบหาได้โดยใช้วิธีการคลัสเตอร์

ด้วยวิธีการนี้กฎฟัซซีสามารถหาได้โดยฉายกลุ่มฟัซซีไปบนตัวแปรของแบบจำลอง ในรูปที่ 4.1 แสดงเซตของข้อมูลที่สามารถแยกได้เป็น 2 กลุ่ม ดังนั้นจึงมีกฎฟัซซีจำนวน 2 กฎ รูปแบบฟังก์ชันสมาชิกที่ได้โดยการฉายของกลุ่มฟัซซีขึ้นอยู่กับกระจายตัวของข้อมูล

มีการเสนอวิธีการคลัสเตอร์อิงอยู่หลายวิธีด้วยกัน แต่สำหรับงานวิจัยนี้ได้ประยุกต์ใช้คลัสเตอร์อิงแบบซี-มีน (Fuzzy C-Mean Clustering) ในการระบุหาโครงสร้างของแบบจำลองฟัซซี

#### 4.1 ฟัซซีคลัสเตอร์อิงแบบซี-มีน (Fuzzy C-Mean Clustering)

วัตถุประสงค์ของฟัซซีคลัสเตอร์อิงแบบซี-มีนคือการจัดแบ่งข้อมูลให้ได้ตามจำนวนกลุ่มฟัซซี (Fuzzy Cluster) ที่ได้กำหนดไว้เหมาะสม จำนวนกลุ่ม  $c$  ต้องมีอย่างน้อย 2 กลุ่ม เพราะถ้ามีกลุ่มเดียวนั้นหมายความว่าข้อมูลทุกจุดอยู่ในกลุ่มเพียงกลุ่มเดียวและ  $c$  จะต้องน้อยกว่า  $n$  ซึ่งคือจำนวนข้อมูลทั้งหมดเพราะถ้า  $c=n$  นั้นหมายความว่าแต่ละกลุ่มจะมีข้อมูลเพียงจุดเดียว ฟัซซีคลัสเตอร์อิงแบบซี-มีนเหมาะสำหรับข้อมูลที่กระจายตัวอยู่รอบๆจุดศูนย์กลางของกลุ่มคือเวกเตอร์  $v_i$  ( $i=1,2,\dots,c$ ) ซึ่งเป็นต้นแบบของข้อมูลในกลุ่ม  $i$  โดยที่  $v_i$  ไม่จำเป็นต้องเป็นข้อมูลในเซต

สมมติเซตของข้อมูลตัวอย่างมีทั้งหมด  $n$  ค่า  $X=\{x_1, x_2, \dots, x_n\}$  และข้อมูลแต่ละจุดจะประกอบด้วย  $m$  โคอออดิเนต (Coordinates) ดังนั้น  $X=[x_{k1}, x_{k2}, \dots, x_{km}]$  โดย  $k=1,2,\dots,n$  และข้อมูลแต่ละจุดจะมีค่าความเป็นสมาชิกตั้งแต่ 0 ถึง 1

$$\mu_{ik} \in [0,1] \quad (1 \leq i \leq c, 1 \leq k \leq n) \quad (4.1)$$

สามารถเขียนพาร์ทิชันเมตริกซ์ซึ่งแสดงค่าความเป็นสมาชิกของข้อมูลแต่ละจุดในแต่ละกลุ่มดังนี้

$$U = \begin{bmatrix} \mu_{11} & \mu_{12} & \dots & \mu_{1n} \\ \mu_{21} & \mu_{22} & \dots & \mu_{2n} \\ \vdots & & & \vdots \\ \mu_{c1} & \mu_{c2} & \dots & \mu_{cn} \end{bmatrix} \quad (4.2)$$

โดย  $\sum_{i=1}^c \mu_{ik} = 1$  ซึ่งหมายความว่าข้อมูลจุดหนึ่งจะมีค่าความเป็นสมาชิกอยู่ในทุกกลุ่มและผลรวมของค่าความเป็นสมาชิกจากทุกกลุ่มต้องมีค่าเท่ากับ 1

สำหรับจำนวนกฎที่เหมาะสมสามารถหาได้โดยการหาค่าที่น้อยที่สุด (Minimizing) ของ ฟังก์ชันวัตถุประสงค์ (Objective Function,  $J(c)$ ) ดังสมการนี้

$$J(c) = \sum_{k=1}^n \sum_{i=1}^c (\mu_{ik})^w (d_{ik})^2 \quad (4.3)$$

โดยที่  $w \in (1, \infty)$  เรียกว่าดัชนีฟัซซี (Fuzziness Index) เป็นค่าถ่วงน้ำหนักค่าความเป็นสมาชิกซึ่งยังไม่มีกรายงานถึงการหาค่า  $w$  ที่เหมาะสม แต่ส่วนใหญ่นิยมใช้  $w=2$  และ  $d_{ik}$  เป็นระยะทางระหว่างข้อมูลกับจุดศูนย์กลางของกลุ่ม นิยามตามสมการที่ (4.4)

$$d_{ik}^2 = \|x_k - v_i\|^2 - \|v_i - \bar{x}\|^2 \quad (4.4)$$

$$\text{ซึ่ง } \|x_k - v_i^{(t)}\| = \left[ \sum_{j=1}^m (x_{kj} - v_{ij}^{(t)})^2 \right]^{1/2}$$

#### 4.2 อัลกอริทึมของคลัสเตอร์แบบฟัซซีซี-มีน (The Fuzzy C-Mean Algorithm)

ทำการคำนวณซ้ำตามขั้นตอนดังนี้

1. กำหนดจำนวนกลุ่มที่ต้องการ กำหนดค่า  $w=1$  สมมติฟัซซีพาร์ทิชันเมตริกซ์เริ่มต้น  $U^{(0)}$  และตัวแปร  $t$  แสดงถึงรอบที่วนซ้ำ โดย  $t=0$  เป็นค่าเริ่มต้น
2. กำหนดจุดศูนย์กลางของกลุ่ม  $v_i^{(t)} = [v_{i1}^{(t)}, v_{i2}^{(t)}, \dots, v_{im}^{(t)}]$  โดยที่  $i=1, 2, \dots, c$  ได้จากสมการที่ (4.5)

$$v_{ij}^{(t)} = \frac{\sum_{k=1}^n (u_{ik}^{(t)})^w \cdot x_{kj}}{\sum_{k=1}^n (u_{ik}^{(t)})^w} \quad (4.5)$$

3. กำหนดระยะทางระหว่างจุดข้อมูลแต่ละจุดกับจุดศูนย์กลางของแต่ละกลุ่มหรือความคล้ายคลึงภายในกลุ่ม โดยใช้สมการที่ (4.6)

$$d_{ik}^{(t)} = \|x_k - v_i^{(t)}\| = \left[ \sum_{j=1}^m (x_{kj} - v_{ij}^{(t)})^2 \right]^{1/2} \quad (4.6)$$

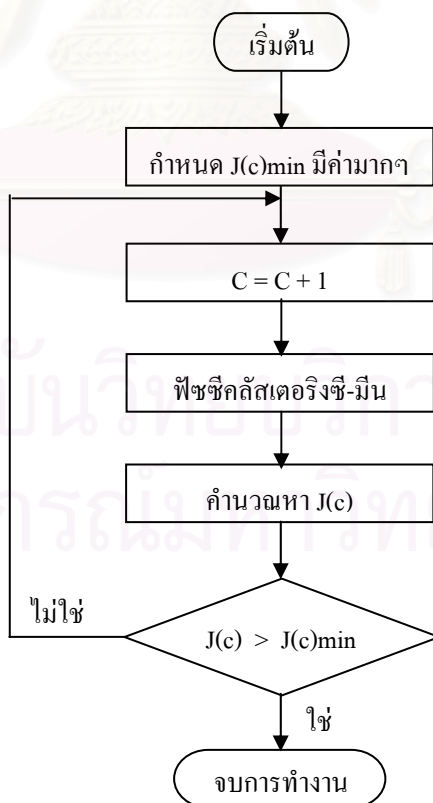
4. คำนวณค่าความเป็นสมาชิกค่าใหม่ของข้อมูลแต่ละจุด จากสมการที่ (4.7)

$$\mu_{ik}^{(t+1)} = \frac{1}{\left[ \sum_{j=1}^c \left( \frac{d_{ik}^{(t)}}{d_{jk}^{(t)}} \right)^{2/(w-1)} \right]} \quad (4.7)$$

5. การคำนวณวนซ้ำจะหยุดเมื่อการคำนวณเป็นไปตามสมการที่ (4.8) มิเช่นนั้นจะกลับไปขั้นตอนที่ 2 โดย  $t = t + 1$

$$\text{Max}(\text{Max}(U_{ik}^{(t+1)} - U_{ik}^{(t)})) \leq \varepsilon \quad (4.8)$$

โดย  $\varepsilon$  คือค่าระดับความถูกต้อง ในงานวิจัยนี้กำหนดให้เป็น 0.01



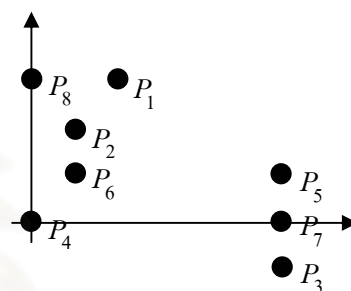
รูปที่ 4.2 แผนผังการทำงานของ การกำหนดจำนวนกฎฟัซซีที่เหมาะสม

### 4.3 ตัวอย่างการประยุกต์ใช้พีชคณิตสโตริงแบบซี-มิน

สมมติว่ามีข้อมูลทั้งหมด 8 จุด ( $n=8$ ) และต้องการแบ่งข้อมูลเป็น 2 กลุ่ม ( $c=2$ )

$$X = \{P_1, P_2, P_3, P_4, P_5, P_6, P_7, P_8\}$$

Point	x	y
$P_1$	2.0	3.0
$P_2$	1.0	2.0
$P_3$	5.0	-1.0
$P_4$	0.0	0.0
$P_5$	5.0	1.0
$P_6$	1.0	1.0
$P_7$	5.0	0.0
$P_8$	0.0	3.0



จะเห็นได้ว่าข้อมูลประกอบด้วยโคออดิเนต  $x$  และ  $y$  ดังนั้น  $m=2$  ตัวอย่างนี้ได้

กำหนด  $w=2$  และ  $\mathcal{E}=0.01$  จากนั้นคำนวณตามอัลกอริทึม

**ขั้นตอนที่ 1** สมมติพาร์ทิชันเมตริกซ์เริ่มต้น  $U^{(0)}$

ข้อมูลจุดที่ $k$	1	2	3	4	5	6	7	8	รวม
กลุ่มที่ $i=1$	0.7	0.9	0.1	0.7	0.1	0.9	0.1	0.7	1
กลุ่มที่ $i=2$	0.3	0.1	0.9	0.3	0.9	0.1	0.9	0.3	1

$$U^{(0)} = \begin{bmatrix} 0.7 & 0.9 & 0.1 & 0.7 & 0.1 & 0.9 & 0.1 & 0.7 \\ 0.3 & 0.1 & 0.9 & 0.3 & 0.9 & 0.1 & 0.9 & 0.3 \end{bmatrix}$$

**ขั้นตอนที่ 2** คำนวณหาจุดศูนย์กลาง  $v_{ij}$

$$\begin{aligned} v_{11} &= [0.7^2(2.0) + 0.9^2(1.0) + 0.1^2(5.0) + 0.7^2(0.0) + 0.1^2(5.0) + 0.9^2(1.0) + 0.1^2(5.0) + \\ &\quad 0.7^2(0.0)] / [0.7^2 + 0.9^2 + 0.1^2 + 0.0^2 + 0.1^2 + 0.9^2 + 0.1^2 + 0.7^2] \\ &= [0.98 + 0.81 + 0.05 + 0.00 + 0.05 + 0.81 + 0.05 + 0.00] / \\ &\quad [0.49 + 0.81 + 0.01 + 0.49 + 0.00 + 0.81 + 0.01 + 0.49] = 2.75 / 2.63 = 1.05 \end{aligned}$$

$$\begin{aligned}
v_{12} &= [0.7^2(3.0) + 0.9^2(2.0) + 0.1^2(-1.0) + 0.7^2(0.0) + 0.1^2(1.0) + 0.9^2(1.0) + 0.1^2(0.0) + \\
&\quad 0.7^2(3.0)] / [0.7^2 + 0.9^2 + 0.1^2 + 0.0^2 + 0.1^2 + 0.9^2 + 0.1^2 + 0.7^2] \\
&= [1.47 + 1.62 - 0.01 + 0.00 + 0.01 + 0.81 + 0.00 + 1.47] / 3.12 = 1.72 \\
v_{21} &= [0.3^2(2.0) + 0.1^2(1.0) + 0.9^2(5.0) + 0.3^2(0.0) + 0.9^2(5.0) + 0.1^2(1.0) + \\
&\quad 0.9^2(5.0) + 0.3^2(0.0)] / [0.3^2 + 0.1^2 + 0.9^2 + 0.3^2 + 0.9^2 + 0.1^2 + 0.9^2 + 0.3^2] \\
&= [0.18 + 0.01 + 4.05 + 0.00 + 4.05 + 0.01 + 4.05 + 0.00] / \\
&\quad [0.09 + 0.01 + 0.81 + 0.09 + 0.81 + 0.01 + 0.81 + 0.09] = 12.35 / 2.72 = 4.54 \\
v_{22} &= [0.3^2(3.0) + 0.1^2(2.0) + 0.9^2(-1.0) + 0.3^2(0.0) + 0.9^2(1.0) + 0.1^2(1.0) + 0.9^2(0.0) + \\
&\quad 0.3^2(3.0)] / [0.3^2 + 0.1^2 + 0.9^2 + 0.3^2 + 0.9^2 + 0.1^2 + 0.9^2 + 0.3^2] \\
&= [0.27 + 0.02 - 0.81 + 0.00 + 0.81 + 0.01 + 0.00 + 0.27] / \\
&\quad [0.09 + 0.01 + 0.81 + 0.09 + 0.81 + 0.01 + 0.81 + 0.09] = 0.57 / 2.72 = 0.21
\end{aligned}$$

### ขั้นตอนที่ 3 คำนวณระยะทาง $d_{ik}$

สำหรับกลุ่มที่ 1

$$\begin{aligned}
d_{11} &= [(2.0 - 1.05)^2 + (3.0 - 1.72)^2]^{1/2} = [0.95^2 + 1.28^2]^{1/2} = (0.9025 + 1.6384)^{1/2} = 1.59 \\
d_{12} &= [(1.0 - 1.05)^2 + (2.0 - 1.72)^2]^{1/2} = [-0.05^2 + 0.28^2]^{1/2} = (0.0025 + 0.0784)^{1/2} = 0.28 \\
d_{13} &= [(5.0 - 1.05)^2 + (-1.0 - 1.72)^2]^{1/2} = [3.95^2 + 2.78^2]^{1/2} = (15.6025 + 7.3984)^{1/2} = 4.80 \\
d_{14} &= [(0.0 - 1.05)^2 + (0.0 - 1.72)^2]^{1/2} = [-1.05^2 + 1.72^2]^{1/2} = (1.1025 + 2.9584)^{1/2} = 2.02 \\
d_{15} &= [(5.0 - 1.05)^2 + (1.0 - 1.72)^2]^{1/2} = [3.95^2 + 0.72^2]^{1/2} = (15.6025 + 0.5184)^{1/2} = 4.02 \\
d_{16} &= [(1.0 - 1.05)^2 + (1.0 - 1.72)^2]^{1/2} = [-0.05^2 + 0.72^2]^{1/2} = (0.0025 + 0.5184)^{1/2} = 0.72 \\
d_{17} &= [(5.0 - 1.05)^2 + (0.0 - 1.72)^2]^{1/2} = [3.95^2 + 1.72^2]^{1/2} = (15.6025 + 2.9584)^{1/2} = 4.31 \\
d_{18} &= [(0.0 - 1.05)^2 + (3.0 - 1.72)^2]^{1/2} = [-1.05^2 + 1.28^2]^{1/2} = (1.1025 + 1.6384)^{1/2} = 1.66
\end{aligned}$$

สำหรับกลุ่มที่ 2

$$\begin{aligned}
d_{11} &= [(2.0 - 4.54)^2 + (3.0 - 0.21)^2]^{1/2} = [-2.54^2 + 2.79^2]^{1/2} = (6.4516 + 7.7841)^{1/2} = 3.77 \\
d_{12} &= [(1.0 - 4.54)^2 + (2.0 - 0.21)^2]^{1/2} = [-3.54^2 + 1.79^2]^{1/2} = (12.5316 + 3.2041)^{1/2} = 3.97 \\
d_{13} &= [(5.0 - 4.54)^2 + (-1.0 - 0.21)^2]^{1/2} = [0.46^2 + 1.21^2]^{1/2} = (0.2116 + 1.4641)^{1/2} = 1.29 \\
d_{14} &= [(0.0 - 4.54)^2 + (0.0 - 0.21)^2]^{1/2} = [-4.54^2 + 0.21^2]^{1/2} = (20.6116 + 0.0441)^{1/2} = 4.54 \\
d_{15} &= [(5.0 - 4.54)^2 + (1.0 - 0.21)^2]^{1/2} = [0.46^2 + 0.79^2]^{1/2} = (0.2116 + 0.6241)^{1/2} = 0.91 \\
d_{16} &= [(1.0 - 4.54)^2 + (1.0 - 0.21)^2]^{1/2} = [-3.54^2 + 0.79^2]^{1/2} = (12.5316 + 0.6241)^{1/2} = 3.63 \\
d_{17} &= [(5.0 - 4.54)^2 + (0.0 - 0.21)^2]^{1/2} = [0.46^2 + 0.21^2]^{1/2} = (0.2116 + 0.0441)^{1/2} = 0.51 \\
d_{18} &= [(0.0 - 4.54)^2 + (3.0 - 0.21)^2]^{1/2} = [-4.54^2 + 2.79^2]^{1/2} = (20.6116 + 7.7841)^{1/2} = 4.33
\end{aligned}$$

#### ขั้นตอนที่ 4 คำนวณค่าความเป็นสมาชิกค่าใหม่

สำหรับกลุ่มที่ 1

$$\mu_{41} = 1 / [(d_{11} / d_{11})^2 + (d_{11} / d_{12})^2] = 1 / [1 + (d_{11} / d_{12})^2] = 0.83$$

$$\mu_{42} = 1 / [(d_{21} / d_{21})^2 + (d_{21} / d_{22})^2] = 1 / [1 + (d_{21} / d_{22})^2] = 0.99$$

$$\mu_{43} = 1 / [(d_{31} / d_{31})^2 + (d_{31} / d_{32})^2] = 1 / [1 + (d_{31} / d_{32})^2] = 0.06$$

$$\mu_{44} = 1 / [(d_{41} / d_{41})^2 + (d_{41} / d_{42})^2] = 1 / [1 + (d_{41} / d_{42})^2] = 0.85$$

$$\mu_{45} = 1 / [(d_{51} / d_{51})^2 + (d_{51} / d_{52})^2] = 1 / [1 + (d_{51} / d_{52})^2] = 0.04$$

$$\mu_{46} = 1 / [(d_{61} / d_{61})^2 + (d_{61} / d_{62})^2] = 1 / [1 + (d_{61} / d_{62})^2] = 0.96$$

$$\mu_{47} = 1 / [(d_{71} / d_{71})^2 + (d_{71} / d_{72})^2] = 1 / [1 + (d_{71} / d_{72})^2] = 0.01$$

$$\mu_{48} = 1 / [(d_{81} / d_{81})^2 + (d_{81} / d_{82})^2] = 1 / [1 + (d_{81} / d_{82})^2] = 0.92$$

สำหรับกลุ่มที่ 2 คำนวณในทำนองเดียวกันเช่น

$$\mu_{21} = 1 / [(d_{12} / d_{21})^2 + (d_{12} / d_{11})^2] = 1 / [1 + (d_{12} / d_{11})^2] = 0.17$$

จะได้พาร์ทิชันเมตริกซ์ใหม่ดังนี้

$$U^{(1)} = \begin{bmatrix} 0.83 & 0.99 & 0.06 & 0.85 & 0.04 & 0.96 & 0.01 & 0.92 \\ 0.17 & 0.01 & 0.94 & 0.15 & 0.96 & 0.04 & 0.99 & 0.08 \end{bmatrix}$$

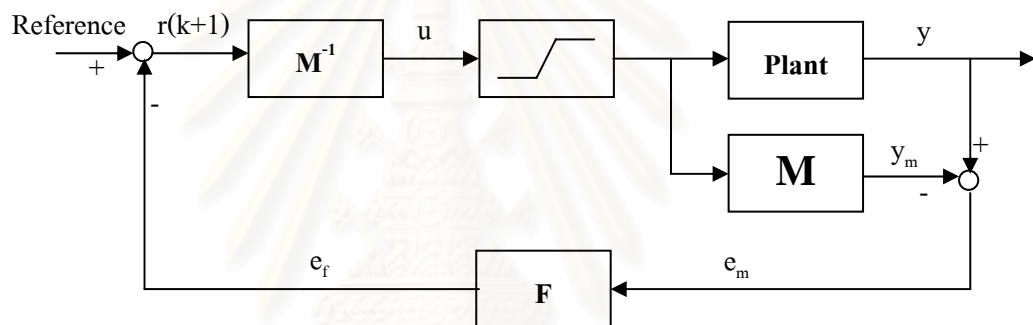
ขั้นตอนที่ 5 คำนวณตามสมการที่ (4.8) หลังจากการคำนวณซ้ำรอบที่ 3 พจน์ทางซ้ายของสมการที่ (4.8) เหลือ 0.0032 ซึ่งน้อยกว่า  $\varepsilon$  ที่กำหนดคือ 0.01 เป็นอันสิ้นสุดการคำนวณ

#### 4.4 ตัวควบคุมฟuzzyแบบอาศัยแบบจำลอง (Fuzzy Model-Based Controller)

ตัวควบคุมฟuzzyถูกประยุกต์ใช้ครั้งแรกโดย Mamdani (1974) การออกแบบตัวควบคุมฟuzzyในสมัยแรกๆ เป็นการออกแบบโดยอาศัยความรู้และประสบการณ์ของผู้เชี่ยวชาญ โดยผู้ออกแบบเป็นผู้ตั้งกฎควบคุมเอง แต่ในบางครั้งการออกแบบกฎโดยอาศัยประสบการณ์อาจไม่ครอบคลุมหรือขาดความเข้าใจในบางส่วนของกระบวนการ ดังนั้นจึงมีการพัฒนาวิธีการออกแบบตัวควบคุมฟuzzyจากแบบจำลองฟuzzy ซึ่งเรียกตัวควบคุมชนิดนี้ว่าตัวควบคุมฟuzzyแบบ

อาศัยแบบจำลอง โดยที่แบบจำลองเปรียบเสมือนเป็นฐานความรู้ของตัวควบคุม ดังนั้นตัวควบคุมที่อาศัยแบบจำลองจำเป็นต้องมีแบบจำลองที่มีความถูกต้องและเหมาะสม เพื่อให้สามารถทำนายค่าเอาต์พุตและพฤติกรรมของระบบได้อย่างถูกต้อง

โครงสร้างของการควบคุมแบบอาศัยแบบจำลองที่ใช้ในงานวิจัยนี้เป็นลักษณะของการควบคุมแบบอาศัยแบบจำลองภายใน (Internal Model Control, IMC) เพียงแต่แบบจำลองที่ใช้ในการควบคุมถูกเปลี่ยนเป็นแบบจำลองพีชคณิต เพื่อให้สามารถใช้ได้กับกระบวนการที่ไม่สามารถหาแบบจำลองทางคณิตศาสตร์ได้หรือกระบวนการที่มีความยุ่งยากซับซ้อน โดยโครงสร้างของการควบคุมแบบอาศัยแบบจำลองภายในนี้ประกอบด้วย 4 ส่วนคือ แบบจำลองพีชคณิต (M) ตัวควบคุมที่ได้จากการผกผันแบบจำลองพีชคณิต ( $M^{-1}$ ) ขอบเขตของสัญญาณควบคุม และตัวกรองสัญญาณ (F) ดังรูปที่ 4.3



รูปที่ 4.3 แผนผังตัวควบคุมแบบอาศัยแบบจำลองภายใน

ลักษณะสำคัญของการควบคุมแบบอาศัยแบบจำลองภายในนี้ สามารถจัดการกับความแตกต่างระหว่างเอาต์พุตที่ได้จากแบบจำลองและเอาต์พุตที่ได้จากกระบวนการจริง โดยที่ค่าเอาต์พุตจากตัวควบคุมจะถูกส่งไปใช้ในการควบคุมกระบวนการและการส่งไปที่แบบจำลองกระบวนการที่อยู่ชานกับกระบวนการจริง ซึ่งเป็นแบบจำลองที่เหมือนกันกับแบบจำลองที่อยู่ในตัวควบคุมด้วย ค่าความแตกต่างของเอาต์พุตของกระบวนการจริงและเอาต์พุตของแบบจำลองที่ออกมา นั้น แสดงถึงความคลาดเคลื่อนของแบบจำลองและตัวควบคุมกระบวนการ ค่าความแตกต่างนี้ถูกส่งกลับเข้าไปที่ตัวควบคุมเพื่อใช้ในการชดเชยความคลาดเคลื่อนของแบบจำลองและตัวควบคุมที่เกิดขึ้นในกระบวนการจริงซึ่งไม่มีในแบบจำลอง

จากกฎพีชคณิต ส่วนผลของกฎพีชคณิตดังกล่าว (4.9)

$$y_i(k+1) = a_i x(k) + b_i u(k) + c_i \quad i \text{ คือจำนวนกฎพีชคณิต} \quad (4.9)$$



ค่าเอาต์พุตจริง  $y(k+1)$  หาได้ดังนี้

$$y(k+1) = \sum_{i=1}^K w_i (a_i x(k) + b_i u(k) + c_i) \quad (4.10)$$

โดยค่า  $w_i$  คือค่าความเป็นสมาชิกทั้งหมดในส่วนเงื่อนไข คำนวณได้จากสมการ (3.20)  
 $K$  คือจำนวนกฎทั้งหมด

จากสมการ (4.9) สามารถเขียนในรูปทั่วไปได้ดังนี้

$$y(k+1) = f(x(k)) + g(x(k))u(k) \quad (4.11)$$

การคำนวณค่าเอาต์พุตของตัวควบคุม  $u(k)$  ที่ทำให้เอาต์พุตของกระบวนการที่เวลาถัดไปมีค่าเท่ากับเอาต์พุตที่ต้องการหรืออ้างอิง  $r(k+1)$  ทำโดยการผกผันสมการ (4.11) ได้ดังนี้

$$u(k) = \frac{y(k+1) - f(x(k))}{g(x(k))} \quad (4.12)$$

แทนค่า  $y(k+1)$  ด้วยค่าที่ต้องการ  $r(k+1)$  ดังนั้นจะได้ว่า

$$u(k) = \frac{r(k+1) - \sum_{i=1}^K w_i (a_i x(k) + c_i)}{\sum_{i=1}^K w_i b_i} \quad (4.13)$$

สำหรับตัวกรองสัญญาณทำหน้าที่ในการกรองสัญญาณรบกวนจากการวัดและเพื่อให้การควบคุมมีเสถียรภาพในกรณีที่มีความผิดพลาดของแบบจำลอง สมการของตัวกรองที่ใช้ในการควบคุมแสดงดังสมการ (4.14)

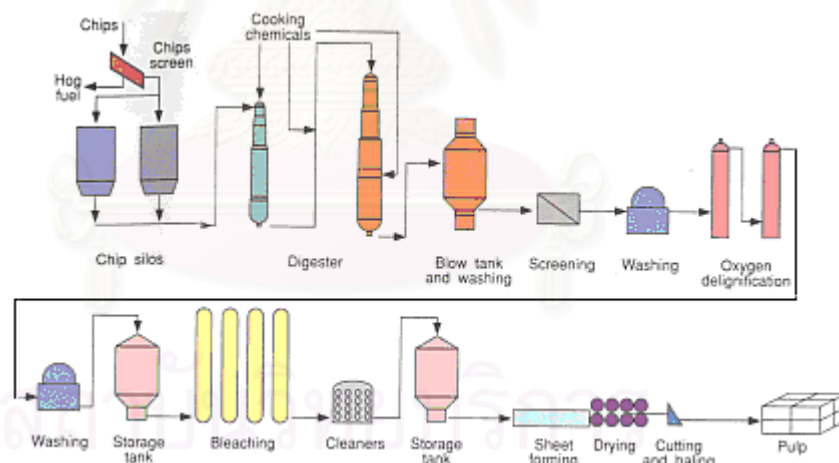
$$e_f(k) = (e_f(k-1) \times G_e) + (e_m(k) \times (1 - G_e)) \quad (4.14)$$

โดยค่า  $G_e$  คือแฟกเตอร์การปรับจูน

## บทที่ 5

### แบบจำลองทางคณิตศาสตร์ของกระบวนการ

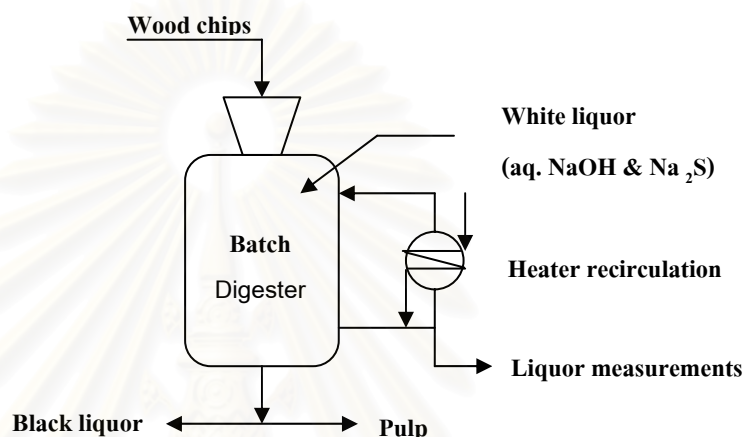
เนื้อหาในบทนี้อธิบายถึงแบบจำลองทางคณิตศาสตร์ของตัวย่อยเยื่อกระดาษที่ใช้สร้างเป็นโปรแกรมเลียนแบบพลวัตของกระบวนการจริงเพื่อทดสอบตัวควบคุม ซึ่งต้องใช้ตัวควบคุมพีชชีที่อาศัยแบบจำลองในการควบคุมอัตราการกำจัดลิกนิน (Delignification) ให้เหมาะสม ตัวย่อยเยื่อกระดาษเป็นหน่วยปฏิบัติการที่สำคัญในกระบวนการผลิตเยื่อกระดาษ ซึ่งจะทำหน้าที่ในการเปลี่ยนชิ้นไม้ให้เป็นเยื่อไม้ คุณภาพของเยื่อไม้ขึ้นอยู่กับค่าแคปปา (Kappa Number) จึงต้องควบคุมค่าแคปปาให้เป็นไปตามต้องการ ซึ่งค่าแคปพานี้บ่งบอกถึงอัตราการกำจัดลิกนินหรือปริมาณลิกนินที่เหลืออยู่ในเยื่อกระดาษ มิเช่นนั้นแล้วจะต้องสิ้นเปลืองสารเคมีในขั้นตอนการฟอกเยื่อ (Bleaching of Pulp) และนำไปสู่การได้มาของของเสียที่เป็นพิษ (Toxic Wastes) ต่อสิ่งแวดล้อม



รูปที่ 5.1 แผนผังของกระบวนการผลิตเยื่อกระดาษ

การผลิตเยื่อกระดาษสามารถทำได้หลายวิธีด้วยกัน แต่โดยทั่วไปแล้วมักใช้กระบวนการคราฟท์ (Kraft process) ซึ่งกระบวนการนี้จะใช้เครื่องปฏิกรณ์แบบกะในการผลิต โดยผ่านขั้นตอนการกำจัดลิกนินออกจากเซลลูโลสในไม้ การกำจัดลิกนินนั้นอาศัยสารละลายสีขาว (White liquor) ที่ประกอบด้วยโซเดียมไฮดรอกไซด์ (Sodiumhydroxide) และโซเดียมซัลไฟด์ (Sodiumsulphide) ในปริมาณที่มากเกินไป และความเป็นกรด-เบส (pH) มากกว่า 12 มีการให้

ความร้อนโดยไหลเวียนของเหลวบางส่วนจากเครื่องปฏิกรณ์ผ่านเครื่องแลกเปลี่ยนความร้อนภายนอก ซึ่งอุณหภูมิที่เกิดปฏิกิริยาได้ดีนั้นอยู่ในช่วง 160-180 องศาเซลเซียส หลังจากครบกำหนดเวลา 2 ชั่วโมง วาล์วที่กั้นถังปฏิกรณ์จะถูกเปิดออกแล้วความดันจะผลักดันชิ้นไม้ที่อ่อนนุ่มแล้วให้เคลื่อนไปยังถังเก็บ ซึ่งแรงที่ดันชิ้นไม้นั้นจะทำให้ชิ้นไม้แตกย่อยออกเป็นเส้นใยหรือเยื่อไม้นั้นเองและเยื่อไม้นี้ก็จะผ่านหน่วยการผลิตหรือขั้นตอนอื่นๆ ต่อไปจนได้ผลิตภัณฑ์เป็นกระดาษที่สมบูรณ์



รูปที่ 5.2 ตัวย่อยเยื่อกระดาษแบบกะ

การผลิตเยื่อกระดาษเพื่อให้ได้คุณภาพที่ต้องการนั้นจะต้องทำการควบคุมค่าแคลปาค่าสุดท้ายให้เข้าใกล้ค่าเป้าหมายมากที่สุด โดยการปรับตัวแปรปรับซึ่งก็คืออุณหภูมิและอัตราการไหลของสายหมุนเวียน แต่มีปัญหาสำหรับการควบคุมตัวย่อยเยื่อกระดาษอยู่ 2 ประการคือ จากความเข้าใจในกระบวนการและค่าแคลปาค่าที่ไม่สามารถวัดได้ จึงต้องทำการประมาณค่าจากค่าอื่นที่วัดได้ ค่าเหล่านั้นก็คืออุณหภูมิของสารละลายในถังปฏิกรณ์และปริมาณโซเดียมไฮดรอกไซด์ในสายหมุนเวียน ซึ่งสามารถวัดได้จากค่าการนำไฟฟ้าของสารละลาย (Conductivity)

### 5.1 สมมติฐาน (Assumptions) ของแบบจำลองทางคณิตศาสตร์

1. สารละลายอยู่ในสถานะสมดุลกับชิ้นไม้ ดังนั้นองค์ประกอบในสารละลายสามารถอ้างอิงถึงองค์ประกอบในไม้ได้
2. การแพร่ของสารละลายเข้าสู่ชิ้นไม้มีอัตราการแพร่เท่ากันทุกทิศทาง

3. เวลาที่ใช้ในการถ่ายโอนความร้อน (Heat transfer) มีค่าน้อยมาก ดังนั้นจึงไม่มี ความแตกต่างของอุณหภูมิ (Temperature gradients) เกิดขึ้นในชิ้นไม้
4. กระบวนการผลิตเชื้อนี้เป็นปฏิกิริยาผันกลับไม่ได้
5. องค์ประกอบหลักของไม้คือ ลิกนิน คาร์โบไฮเดรต และ เซลลูโลส ส่วนองค์ ประกอบอื่นๆ ละลายในทันทีที่สัมผัสกับสารละลายในเครื่องปฏิกรณ์

## 5.2 แบบจำลองทางคณิตศาสตร์ของตัวย่อยเยื่อกระดาษ

### 5.2.1 สมดุลมวลสาร (Mass balance)

ความเข้มข้นใน Wood phase

$$\frac{dX_i}{dt} = R_i \quad (1 \leq i \leq 5) \quad (5.1)$$

โดย  $X_i$  คือ สัดส่วนเชิงมวลขององค์ประกอบ  $i$  ในไม้

$R_i$  คือ อัตราการเกิดปฏิกิริยาของแต่ละองค์ประกอบ  $i$  ในไม้

สมการ (5.1) แสดงสมดุลองค์ประกอบในไม้ โดยที่ องค์ประกอบที่ 1 คือ ลิกนินชนิด ที่ 1 องค์ประกอบที่ 2 คือ ลิกนินชนิดที่ 2 องค์ประกอบที่ 3 คือ เซลลูโลส องค์ประกอบที่ 4 คือ เฮมิเซลลูโลสชนิดที่ 1 องค์ประกอบที่ 5 คือ เฮมิเซลลูโลสชนิดที่ 2

ความเข้มข้นใน Entrapped liquor phase

$$V_e \frac{dC_{e_i}}{dt} = M_w G_i - M_i A (C_{e_i} - C_{f_i}) \quad (1 \leq i \leq 4) \quad (5.2)$$

โดยที่  $V_e$  คือ ปริมาตรของของเหลวในเอนแทปเฟสหรือในรูพรุนของไม้

$C_{e_i}$  คือ ความเข้มข้นขององค์ประกอบ  $i$  ในรูพรุนของไม้

$C_{f_i}$  คือ ความเข้มข้นขององค์ประกอบ  $i$  ในของเหลวฟรีเฟส

$M_w$  คือ มวลของไม้แห้ง

$M_i$  คือ ค่าคงที่การถ่ายโอนมวลสารแสดงในสมการ (5.12)

$A$  คือ พื้นที่สัมผัสที่ใช้ในการถ่ายโอนมวลสาร

$G_i$  แสดงในสมการที่ (5.8)-(5.11)

### ความเข้มข้นใน Free liquor phase

$$V_f \frac{dC_{f_i}}{dt} = M_i A (C_{e_i} - C_{f_i}) - F_r (C_{f_i} - C_{r_i}) \quad (1 \leq i \leq 4) \quad (5.3)$$

โดยที่  $V_f$  คือปริมาตรของของเหลวในฟรีเฟส

$F_r$  คืออัตราการไหลของสายหมุนเวียน

สมการ (5.2) และ (5.3) แสดงสมดุลองค์ประกอบในแอนแทรพลิควอร์ (Entrapped liquor) และ ฟรีลิควอร์ (Free liquor) ตามลำดับ โดยที่องค์ประกอบที่ 1 คือ ดิกนินละลาย (Dissolved lignin) องค์ประกอบที่ 2 คือ ของแข็งละลาย (Dissolved solid) องค์ประกอบที่ 3 คือ โซเดียมไฮดรอกไซด์ องค์ประกอบที่ 4 คือ โซเดียมซัลไฟด์ องค์ประกอบที่ 5 คือ น้ำ

### 5.2.2 สมดุลพลังงาน (Energy balance)

#### อุณหภูมิ

$$K_t \frac{dT}{dt} = M_w \sum_{i=1}^{N_w} (-R_i) (-\Delta H_i) + F_r \sum_{i=1}^{N_f+1} C_{r_i} C_{p_r} (T_r - T) \quad (5.4)$$

โดย  $K_t$  คือค่าความจุความร้อนรวมแสดงดังสมการที่ (5.13)

$\Delta H_i$  คือความร้อนที่ใช้ในการเกิดปฏิกิริยา

$T$  คืออุณหภูมิในเครื่องปฏิกรณ์

$T_r$  คืออุณหภูมิของสายหมุนเวียน

$C_{r_i}$  คือความเข้มข้นขององค์ประกอบ  $i$  ในสายในหมุนเวียนสมมติให้เท่ากับ  $C_f$

$C_{p_r}$  คือค่าความจุความร้อนจำเพาะของ  $C_{r_i}$  สมมติให้เท่ากับ  $C_{p_f}$

$N$  คือจำนวนองค์ประกอบทั้งหมดในแต่ละเฟส

#### อัตราการเกิดปฏิกิริยา (Reaction rates)

$$R_i = -[k_{1_i} C_{e_3} + k_{2_i} C_{e_3}^a C_{e_4}^b] (X_i - X_{u_i}) \quad (5.5)$$

$$k_{1_i} = A_{1_i} e^{-E_{1_i} / RT} \quad (5.6)$$

$$k_{2_i} = A_{2_i} e^{-E_{2_i} / RT} \quad (5.7)$$

โดยที่  $k_{1_i}, k_{2_i}$  คือค่าคงที่ของปฏิกิริยาขององค์ประกอบ  $i$  ในไม้

$A_{1_i}, A_{2_i}$  คือแฟกเตอร์ความถี่ขององค์ประกอบ  $i$  ในไม้

$E_{1_i}, E_{2_i}$  พลังงานกระตุ้นขององค์ประกอบ  $i$  ในไม้

**อัตราการเกิดใน Entrapped liquor phase (Generation rates in entrapped liquor)**

$$\text{Lignin} : G_1 = - \sum_{j=1}^2 R_j \quad (5.8)$$

$$\text{Solid} : G_2 = - \sum_{j=3}^5 R_j \quad (5.9)$$

$$\text{NaOH} : G_3 = \sum_{j=1}^5 S_{c_{3j}} R_j \quad (5.10)$$

$$\text{NaSH} : G_4 = \sum_{j=1}^5 S_{c_{4j}} R_j \quad (5.11)$$

โดยที่  $S_{c_{ij}}$  คือสัมประสิทธิ์ Stoichiometric

**สัมประสิทธิ์การถ่ายเทมวลสารระหว่าง Entrapped liquor และ Free liquor phase  
(Mass transfer coefficient between entrapped liquor and free liquor phases)**

$$M_i = M_{1_i} + M_{2_i} T \quad (5.12)$$

**ค่าความจุความร้อนที่ใช้ในสมดุลพลังงาน (Total heat capacity used in the energy balance)**

$$K_t = [M_w \sum_{i=1}^{N_w} C_{p_w_i} X_i + V_e \sum_{i=1}^{N_e+1} C_{p_e_i} C_{e_i} + V_f \sum_{i=1}^{N_f+1} C_{p_f_i} C_{f_i}] \quad (5.13)$$

โดยที่  $C_{p_w}$  คือค่าความจุความร้อนจำเพาะขององค์ประกอบในไม้

$C_{p_e}$  คือค่าความจุความร้อนจำเพาะขององค์ประกอบในเอนแทรพเฟส

$C_{pe}$  คือค่าความจุความร้อนจำเพาะขององค์ประกอบในพีรีเฟส

### 5.2.3 ค่าแคปปา (Kappa number)

$$K = 653.6(X_1 + X_2) \quad (5.14)$$

ค่าแคปปาสามารถคำนวณได้จากความสัมพันธ์ระหว่างค่าแคปปากับสัดส่วนเชิงมวลของลิกนินที่เหลืออยู่ในเยื่อไม้ ดังสมการที่ (5.14) ซึ่งอ้างอิงมาจาก Williams and Smith (1975)

จากสมการแบบจำลองข้างต้นแสดงให้เห็นว่าเป็นกระบวนการที่มีความซับซ้อนหรือเป็นกระบวนการที่มีความไม่เป็นเชิงเส้นสูง (High nonlinear process) โดยสังเกตได้จากสมการอัตราการเกิดปฏิกิริยาซึ่งมีพจน์ที่เป็นเอ็กซ์โปเนนเชียล (Exponential term) เป้าหมายของกระบวนการนี้คือต้องการควบคุมค่าแคปปาต่ำสุดทำให้เข้าใกล้ค่าที่ต้องการภายในเวลา 2 ชั่วโมง โดยการปรับอุณหภูมิ (Tr) และอัตราการไหล (Fr) ของสายไหลหมุนเวียน

ค่าแคปปาคือค่าที่บ่งบอกถึงอัตราการกำจัดลิกนินออกจากไม้ และค่าแคปปาที่เหมาะสมขึ้นอยู่กับชนิดของไม้ และการนำเยื่อไม้ไปใช้งาน เช่นถ้าจะนำเยื่อไม้ไปผ่านกระบวนการฟอก ค่าแคปปาที่เหมาะสมเมื่อใช้ไม้เนื้ออ่อนคือ 20-35 สำหรับไม้เนื้อแข็งคือ 12-18 สำหรับการนำเยื่อไปผลิตถุงกระดาษ ค่าแคปปา 35-50 เป็นค่าที่เหมาะสมที่สุด เป็นต้น ในงานวิจัยนี้ค่าที่ต้องการคือค่าแคปปาที่ 50

ตัวแปรที่ใช้ในการประมาณค่าแคปปามีด้วยกัน 4 ตัวคือ อุณหภูมิในเครื่องปฏิกรณ์ซึ่งสามารถวัดได้โดยตรง ความเข้มข้นของโซเดียมไฮดรอกไซด์ ความเข้มข้นของของแข็งรวม (Total Solid Concentration) และปริมาณลิกนิน (Lignin Content) การวัดค่าของตัวแปร 3 ตัวหลังอาศัยเทคนิคการวัดค่าการนำไฟฟ้า การวัดค่าการดูดซับรังสีอัลตราไวโอเล็ต (UV absorption) และการวัดค่าดัชนีการหักเหของแสง (Refractive Index) ตามลำดับ สำหรับงานวิจัยนี้ใช้ค่าวัดเพียง 2 ตัวเท่านั้นคือ อุณหภูมิในเครื่องปฏิกรณ์และความเข้มข้นของ โซเดียมไฮดรอกไซด์ เนื่องจากความเข้มข้นของของแข็งรวมมีการเปลี่ยนแปลงน้อยมากและแปรตามการใช้โซเดียมไฮดรอกไซด์ของลิกนิน สำหรับปริมาณลิกนินขึ้นกับความเข้มข้นของไฮดรอกไซด์ที่ถูกใช้ไปเช่นเดียวกัน ดังนั้นวัดเพียงค่าอุณหภูมิและความเข้มข้นของโซเดียมไฮดรอกไซด์ก็เพียงพอ

ค่าพารามิเตอร์ที่ใช้ในการจำลองแสดงในตารางที่ 5.1 ซึ่งเป็นค่าพารามิเตอร์ที่ได้จากการทดลอง สำหรับตารางที่ 5.2 แสดงค่าเริ่มต้นของตัวแปรสแตท ส่วนสถานะและข้อจำกัดในการปฏิบัติการแสดงไว้ในตารางที่ 5.3 และ 5.4 ตามลำดับ

ตาราง ที่ 5.1 ค่าพารามิเตอร์ของแบบจำลองทางคณิตศาสตร์

สัญลักษณ์	ค่าพารามิเตอร์	หน่วย
$A_{1i}$	19.41, $4.16 \times 10^{12}$ , 445.12, 108.00, $7.05 \times 10^5$	$\text{h}^{-1}(\text{kg}/\text{m}^3)^{-1}$
$A_{2i}$	$7.00 \times 10^3$ , $2.75 \times 10^4$ , $8.30 \times 10^3$ , $6.00 \times 10^3$ , $1.75 \times 10^4$	$\text{h}^{-1}(\text{kg}/\text{m}^3)^{-a-b}$
$E_{1i}$	$6.45 \times 10^3$ , $29.10 \times 10^3$ , $17.55 \times 10^3$ , $14.85 \times 10^3$ , $22.05 \times 10^3$	kcal / kg-mol
$E_{2i}$	$21.90 \times 10^3$ , $12.35 \times 10^3$ , $19.85 \times 10^3$ , $17.45 \times 10^3$ , $18.25 \times 10^3$	kcal / kg-mol
$a$	0.5	-
$b$	0.5	-
$X_{ui}$	0, 0, 0.071, 0.025, 0	mass fraction
$S_{c3j}$	0.166, 0.166, 0.395, 0.395, 0.395	kg/kg
$S_{c4j}$	0.0546, 0.0546, 0, 0, 0	kg/kg
$M_{1i}$	-0.07	m/h
$M_{2i}$	$2.00 \times 10^{-4}$	m / h.K
$dH_i$	102.8	kcal/kg wood component reacted
$Cp_{wi}$	0.36	kcal / kg.K
$Cp_{ei}$	1	kcal / kg.K
$Cp_{fi}$	1	kcal / kg.K
$A$	105.75	$\text{m}^2$
$V_e$	0.1175	$\text{m}^3$
$V_f$	0.2325	$\text{m}^3$

สถาบันวิทยบริการ  
จุฬาลงกรณ์มหาวิทยาลัย



ตารางที่ 5.2 ค่าเริ่มต้นของตัวแปรสแตท

ตัวแปร	ค่าตัวแปร	หน่วย
$X_1$	0.0528	mass fraction
$X_2$	0.2112	mass fraction
$X_3$	0.4852	mass fraction
$X_4$	0.1428	mass fraction
$X_5$	0.0722	mass fraction
$C_{e1}$	0	kg/m <sup>3</sup>
$C_{e2}$	0	kg/m <sup>3</sup>
$C_{e3}$	0	kg/m <sup>3</sup>
$C_{e4}$	0	kg/m <sup>3</sup>
$C_{f1}$	1	kg/m <sup>3</sup>
$C_{f2}$	2	kg/m <sup>3</sup>
$C_{f3}$	47.6327	kg/m <sup>3</sup>
$C_{f4}$	11.3535	kg/m <sup>3</sup>
$T$	353	K

ตารางที่ 5.3 ค่าสถานะในการปฏิบัติการ

สถานะในการดำเนินการ	ค่าสถานะ	หน่วย
มวลของไม้แห้งทั้งหมด	100	kg
ขนาดของชิ้นไม้	0.08 x 0.08 x 0.005	m
ความพรุนของชิ้นไม้	0.5	-
ความหนาแน่นของไม้	42.5	kg/m <sup>3</sup>
ค่าแคลปาเริ่มต้น	172.5504	-
ค่าแคลปาที่ต้องการ	50	-
เวลาที่ใช้ในการปฏิบัติการ	2	h
เวลาในการสุ่มตัวอย่าง	0.05	h

ตารางที่ 5.4 ข้อจำกัดในการปฏิบัติการ

ข้อจำกัด	ค่า	หน่วย
Tr max	523	K
Tr min	353	K
Fr max	1	m <sup>3</sup> /h
Fr min	0.5	m <sup>3</sup> /h
dTr	10	K
dFr	0.1	m <sup>3</sup> /h

ในงานวิจัยนี้ใช้แบบจำลองทางคณิตศาสตร์และพารามิเตอร์ของ Lee และ Datta (1994) ยกเว้นค่าพลังงานกระตุ้นอันดับหนึ่งและสองขององค์ประกอบในไม้ทั้ง 5 โดยปรับค่าจากงานวิจัยของ Lee และ Datta ซึ่งแสดงในตารางที่ 5.5 เนื่องจากเมื่อใช้ค่าพารามิเตอร์ทั้งหมดของ Lee และ Datta (1994) พบว่ากระบวนการไม่เกิดปฏิกิริยาและการเปลี่ยนแปลงใดๆ แสดงผลดังรูปที่ 5.3 เห็นได้ว่าค่าแคปปา สัดส่วนมวลขององค์ประกอบทั้ง 5 ของไม้ รวมถึงปริมาณสารละลายไม่มีการเปลี่ยนแปลงค่าใดๆ แสดงว่าไม่เกิดปฏิกิริยาใดๆ ขึ้น

การปรับค่าพารามิเตอร์เพื่อใช้ในงานวิจัยมีหลักการดังนี้

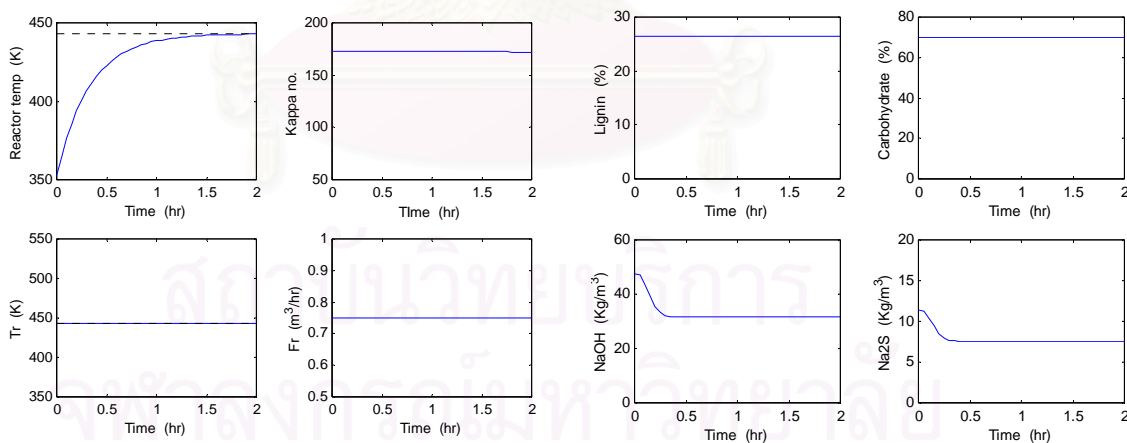
1. ปรับค่าของ Lee และ Datta ลงจนถึงค่าแรกที่เริ่มเกิดปฏิกิริยาและมีการเปลี่ยนแปลงของสาร
2. ปรับค่าต่อไปจนถึงค่าแรกที่ทำให้ไม่สามารถอ่านค่าแคปปาได้
3. เลือกใช้ค่ากลางระหว่างค่าที่ได้จากขั้นตอนที่ 1 และ 2 เป็นค่าในการวิจัย

ตัวอย่างการปรับค่า  $E_{11}$  ทำโดยการลดค่าจริงของ Lee และ Datta ตามขั้นตอนที่ 1 จนได้ค่า  $E_{11}$  เท่ากับ  $10.5 \times 10^3$  kcal/kmol ซึ่งเป็นค่าแรกที่เริ่มเกิดปฏิกิริยาและมีการเปลี่ยนแปลงของสาร แสดงดังรูปที่ 5.4 เห็นได้ว่าค่าแคปปา ลิกนิน และคาร์โบไฮเดรตเริ่มลดลง ความเข้มข้นของสารละลาย ก็ลดลงแสดงให้เห็นว่าเริ่มถูกใช้ไปในการทำปฏิกิริยา จากนั้นลดค่าต่อไปตามขั้นตอนที่ 2 ได้ค่า  $E_{11}$  เท่ากับ  $2.4 \times 10^3$  kcal/kmol ซึ่งเป็นค่าแรกที่ทำให้กราฟค่าแคปปาขาด ซึ่งไม่สามารถอ่านค่าได้ แสดงดังรูปที่ 5.5 ดังนั้นทำการเลือกค่ากลางระหว่างค่าที่ได้จากขั้นตอนที่ 1 และ 2 คือ  $6.45 \times 10^3$  kcal/kmol

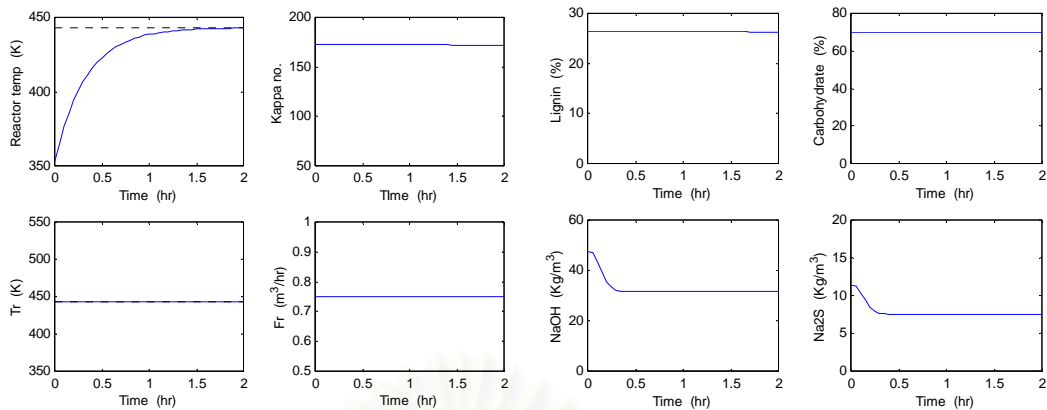
ตารางที่ 5.5 ค่าพารามิเตอร์ที่ใช้ในงานวิจัยเทียบกับของ Lee และ Datta (1994)

พารามิเตอร์	ค่าจริงจาก Lee และ Datta	ค่าที่ใช้ในการวิจัย	หน่วย
$E_{11}$	639.28	6.45	$*10^3$
$E_{12}$	33.77	29.1	kcal/kmol
$E_{13}$	$1.94e+3$	17.55	
$E_{14}$	717.94	14.85	
$E_{15}$	$3.95e+18$	22.05	
$E_{21}$	$7.5e+3$	21.9	$*10^3$
$E_{22}$	$9e+3$	12.35	kcal/kmol
$E_{23}$	$1e+4$	19.85	
$E_{24}$	$9e+3$	17.45	
$E_{25}$	$4e+4$	18.25	

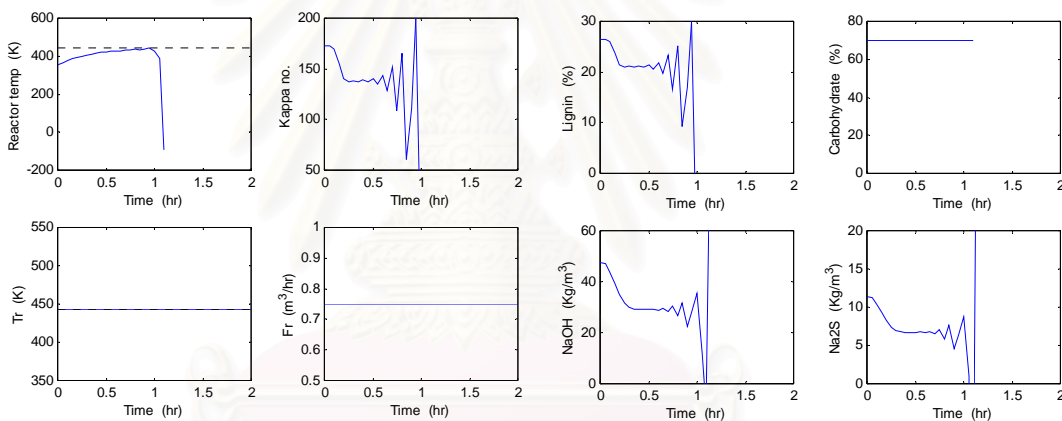
### ผลการปรับค่าพารามิเตอร์



รูปที่ 5.3 ผลของกระบวนการเมื่อใช้พารามิเตอร์ทุกค่าของ Lee และ Datta (1994)



รูปที่ 5.4 ผลของกระบวนการเมื่อปรับค่าพลังงานกระตุ้นอันดับหนึ่งขององค์ประกอบที่ 1 ในไม้เป็น  $10.5 \times 10^3$  kcal/kmol



รูปที่ 5.5 ผลของกระบวนการเมื่อปรับค่าพลังงานกระตุ้นอันดับหนึ่งขององค์ประกอบที่ 1 ในไม้เป็น  $2.4 \times 10^3$  kcal/kmol

สถาบันวิทยบริการ  
จุฬาลงกรณ์มหาวิทยาลัย

## บทที่ 6

### ผลการทดลอง วิเคราะห์และสรุปผลงานวิจัย

ในบทนี้เป็นผลการระบุนหาแบบจำลองและการทดสอบแบบจำลองพีชชี เริ่มต้นจากการสร้างแบบจำลองพีชชีของตัวย่อยเชื้อกระดาษ โดยใช้ข้อมูลอินพุท-เอาต์พุทของกระบวนการผ่านอัลกอริทึมคลัสเตอร์ริงและวิธีลีสท์สแควร์ และเนื่องจากค่าแคปปาซึ่งเป็นตัวแปรควบคุมเป็นค่าที่ไม่สามารถวัดได้จึงต้องทำการประมาณค่าจากตัวแปรอื่นที่สามารถวัดได้ ในที่นี้ใช้ตัวประมาณค่าพีชชีในการประมาณค่าดังกล่าว จากนั้นทำการผกผันแบบจำลองพีชชีที่ได้เพื่อใช้ในการควบคุมกระบวนการ ซึ่งตัวควบคุมนี้เป็นลักษณะของการควบคุมแบบออสัยแบบจำลองภายใน นอกจากนี้ยังแสดงผลการทดสอบตัวควบคุมและตัวประมาณค่า รวมไปถึงการวิเคราะห์ สรุปผลการวิจัยและข้อเสนอแนะ

#### 6.1 การเลียนแบบกระบวนการ

การสร้างโปรแกรมเลียนแบบสำหรับกระบวนการตัวย่อยเชื้อกระดาษเพื่อใช้แทนกระบวนการจริง โดยใช้สมการทางคณิตศาสตร์ที่ได้กล่าวไว้แล้วในบทที่ 5 จะสร้างโดยวิธีการเชิงตัวเลขที่เรียกว่า อัลกอริทึมของออยเลอร์ ด้วย Step Size เท่ากับ 1

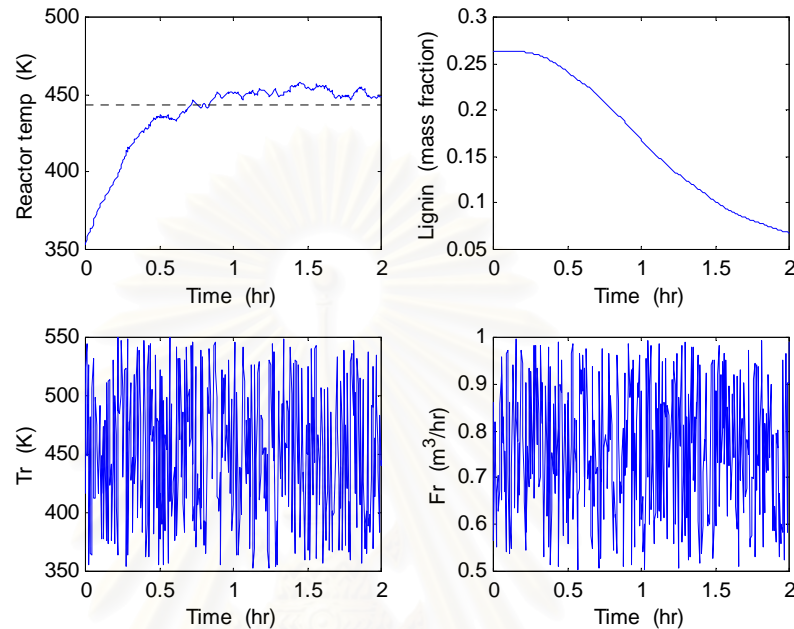
#### 6.2 การสร้างแบบจำลองพีชชี

ทำการระบุนหาแบบจำลองพีชชีโดยใช้ข้อมูลอินพุท-เอาต์พุท ผ่านการคลัสเตอร์ริงและวิธีลีสท์สแควร์ สำหรับกระบวนการนี้จำเป็นต้องสร้างแบบจำลองพีชชี 2 ชุด ชุดหนึ่งเป็นแบบจำลองพีชชีของกระบวนการ อีกชุดหนึ่งใช้เป็นตัวประมาณค่าแคปปาซึ่งเป็นตัวแปรที่ต้องการควบคุมและไม่สามารถวัดได้

##### 6.2.1 แบบจำลองพีชชีของกระบวนการ

ข้อมูลอินพุทที่ใช้ในการสร้างแบบจำลองนี้ ได้แก่  $L(k-1)$   $T(k)$   $Tr(k)$   $Fr(k)$  คือ ค่าลิกนินที่เวลาขั้นหลังหนึ่งค่า ค่าอุณหภูมิในเครื่องปฏิกรณ์ ค่าอุณหภูมิและอัตราการไหลของสายหมุนเวียนที่เวลาปัจจุบัน ตามลำดับ สำหรับข้อมูลเอาต์พุท ได้แก่  $L(k)$  ดังนั้นเวกเตอร์

ข้อมูลคือ  $Z = [L(k-1) \ T(k) \ Tr(k) \ Fr(k) \ L(k)]$  โดยทำการเปลี่ยนแปลงค่าอุณหภูมิและอัตราการไหลของสายหมุนเวียนแบบสุ่ม (True Random) แสดงดังรูปที่ 6.1 แล้วทำการบันทึกค่าทุกๆ 0.005 ชั่วโมง หรือ 18 วินาที ในเวลา 2 ชั่วโมง รวมจำนวนตัวอย่างสุ่มทั้งหมด 400 ค่า

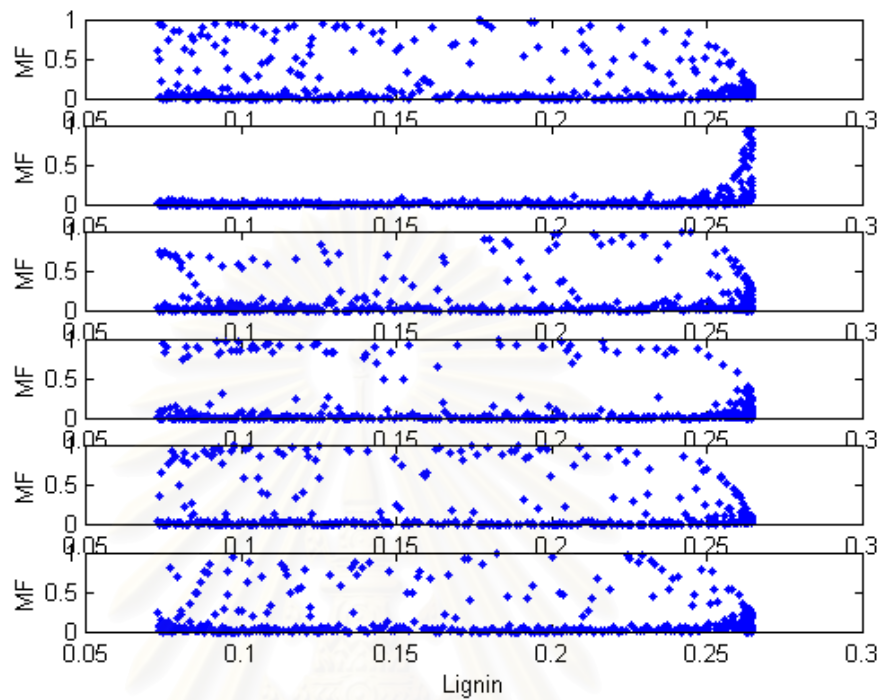


รูปที่ 6.1 ข้อมูลอินพุต-เอาต์พุตที่ใช้ในการสร้างแบบจำลองฟัซซีของกระบวนการ

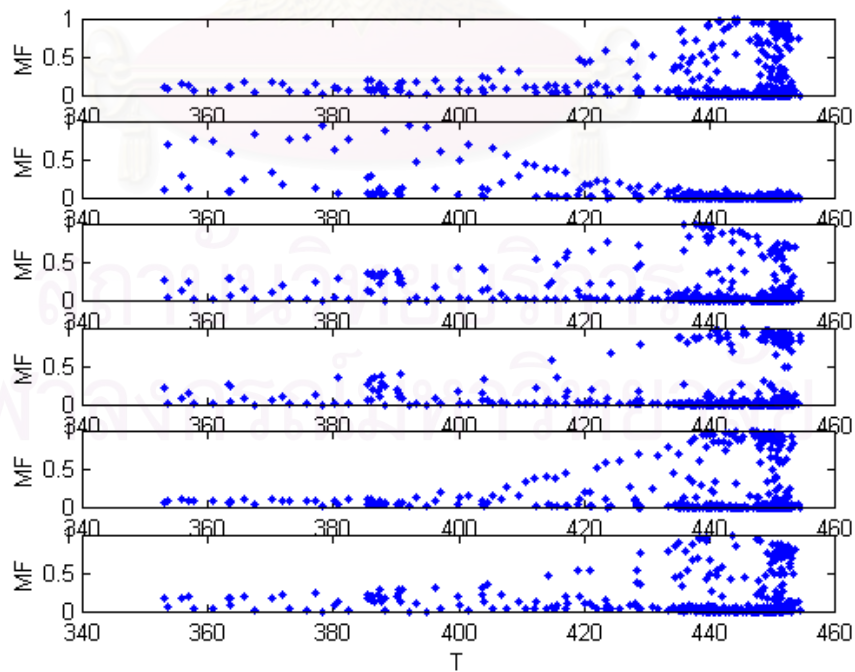
ผลจากการคลัสเตอร์และหาจำนวนกฎที่เหมาะสมพบว่า จำนวนกฎเท่ากับ 6 กฎทำให้ค่า  $J(c)$  ต่ำที่สุด ได้ฟัซซีพาร์ทิชันเมตริกซ์ดังรูปที่ 6.2 – 6.5 จากนั้นเขียนกราฟระหว่างฟัซซีพาร์ทิชันเมตริกซ์ที่มีความหมายกับค่าตัวแปรต่างๆ ในที่นี้คือ  $Tr$  และทำการประมาณกราฟโดยใช้ฟังก์ชันสามเหลี่ยมและคางหมู ในงานวิจัยนี้ประมาณกราฟโดยใช้ Fuzzy Toolbox ของโปรแกรมแมทแล็บ จะได้ฟังก์ชันสมาชิกในส่วนเงื่อนไขของกฎดังรูปที่ 6.6 สำหรับค่าพารามิเตอร์ในส่วนผลได้จากการลิสต์สแควร์ดังตารางที่ 6.1 หลังจากได้แบบจำลองฟัซซีของกระบวนการแล้วทำการทดสอบแบบจำลองโดยใช้ข้อมูลแบบเดียวกันอีกชุดหนึ่ง ดังรูปที่ 6.7 ซึ่งความสามารถในการทำนายค่าหรือค่าสมรรถนะของแบบจำลอง พิจารณาได้จากค่ารากของกำลังสองเฉลี่ย (Root Mean-Squared error, RMS) ดังสมการที่ (6.1)

$$RMS = \sqrt{\frac{\sum_{k=1}^N (y(k) - y_m(k))^2}{N}} \quad (6.1)$$

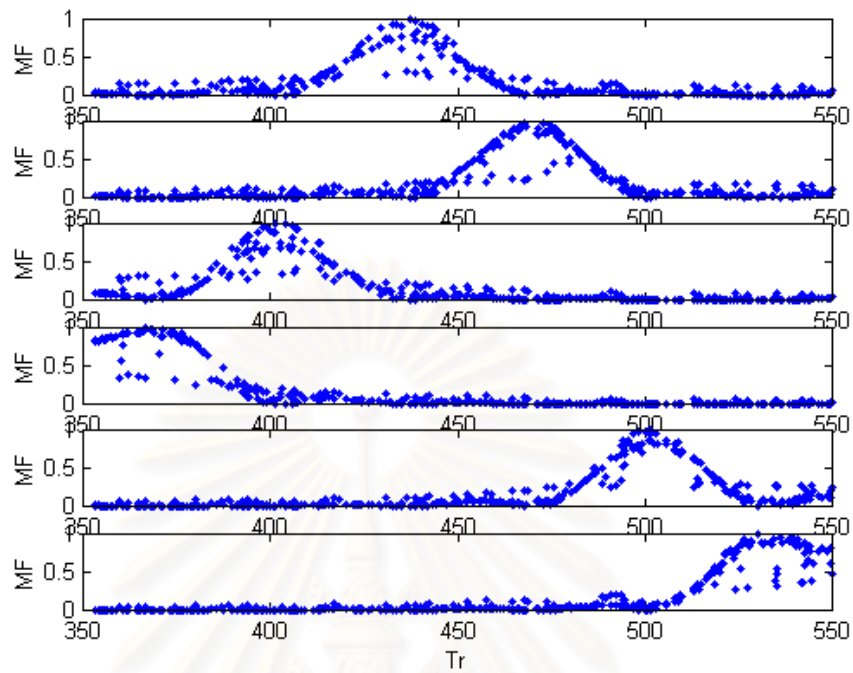
โดย  $y(k)$  คือค่าเอาต์พุตของกระบวนการ  $y_m(k)$  คือค่าเอาต์พุตจากแบบจำลองฟิชชี และ  $N$  คือจำนวนข้อมูลที่ใช้ทดสอบ



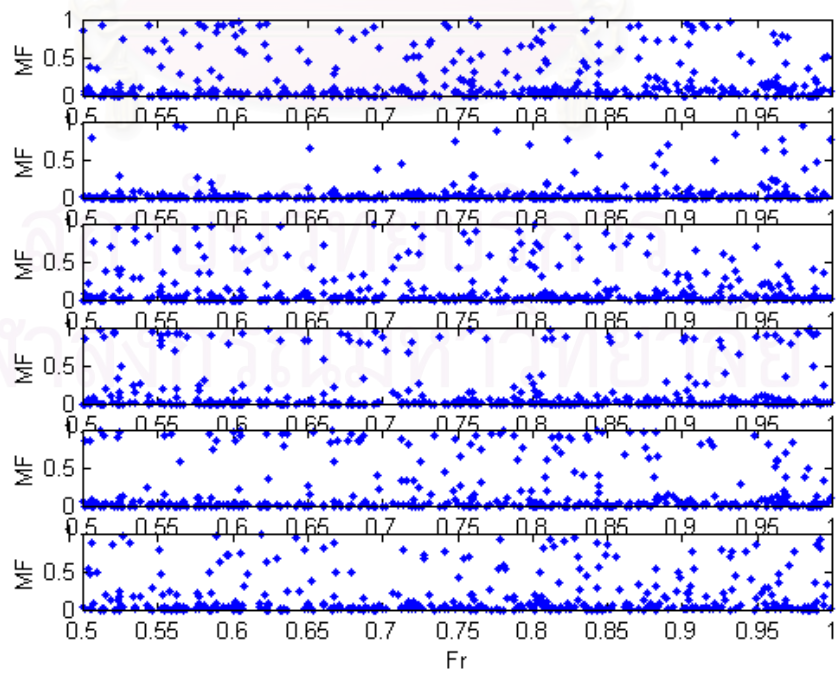
รูปที่ 6.2 กราฟระหว่างฟิชชีพาร์ทิชันเมตริกซ์กับค่าลิกนิน



รูปที่ 6.3 กราฟระหว่างฟิชชีพาร์ทิชันเมตริกซ์กับค่าอุณหภูมิในเครื่องปฏิกรณ์

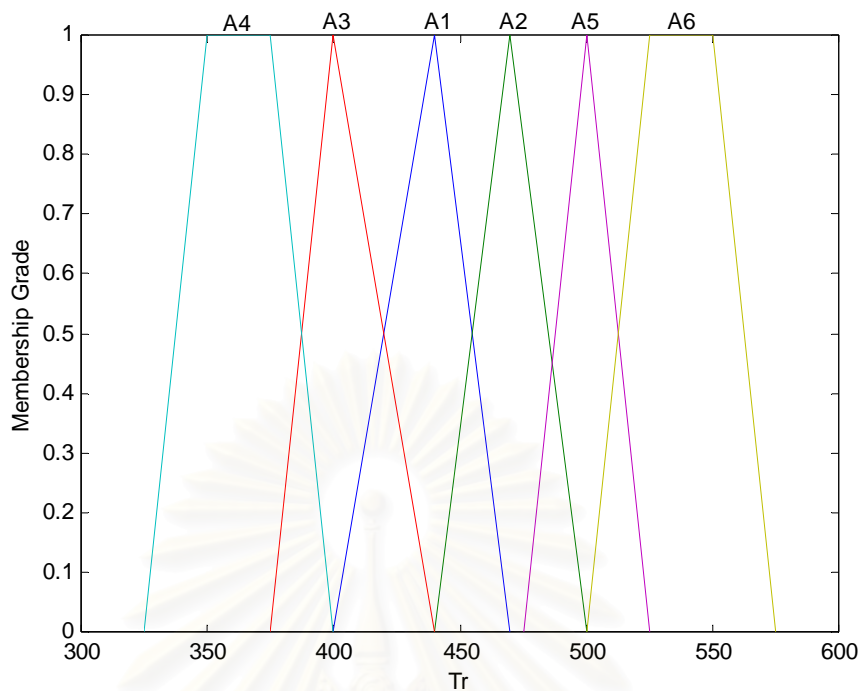


รูปที่ 6.4 กราฟระหว่างฟัซซีพาร์ติชันเมตริกซ์กับค่าอุณหภูมิของสายหมุนเวียน



รูปที่ 6.5 กราฟระหว่างฟัซซีพาร์ติชันเมตริกซ์กับค่าอัตราการไหลของสายหมุนเวียน





รูปที่ 6.6 ฟังก์ชันสมาชิกในส่วนเงื่อนไขของแบบจำลองฟัซซีสำหรับกระบวนการ

ตารางที่ 6.1 ค่าพารามิเตอร์ในส่วนผลของแบบจำลองฟัซซีสำหรับกระบวนการ

กฎ	$P_0$	$P_1$	$P_2$	$P_3$	$P_4$
1	0.0045	0.9981	-0.000010	-0.0000011	-0.000006
2	0.0073	0.9964	-0.000017	0.0000003	-0.000034
3	0.0079	0.9967	-0.000016	-0.0000013	0.000153
4	0.0070	0.9967	-0.000012	-0.0000038	0.000024
5	0.0054	0.9973	-0.000013	0.0000060	-0.000145
6	0.0045	0.9968	-0.000014	0.0000030	0.000212

โครงสร้างของแบบจำลองฟuzzyสำหรับกระบวนการ แสดงได้ดังนี้

$$\text{กฎที่ 1 : If } Tr(k) \text{ is } A1 \text{ Then } L(k+1) = 0.0045 + 0.9981L(k) - 0.000010T(k) - 0.0000011Tr(k) - 0.000006 Fr(k)$$

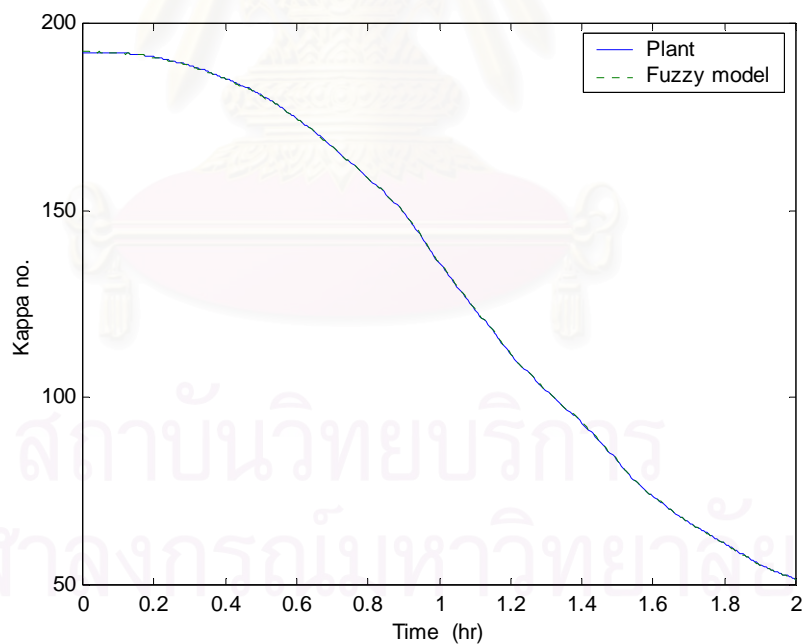
$$\text{กฎที่ 2 : If } Tr(k) \text{ is } A2 \text{ Then } L(k+1) = 0.0073 + 0.9964L(k) - 0.000017T(k) + 0.0000003Tr(k) - 0.000034 Fr(k)$$

$$\text{กฎที่ 3 : If } Tr(k) \text{ is } A3 \text{ Then } L(k+1) = 0.0079 + 0.9967L(k) - 0.000016T(k) - 0.0000013Tr(k) + 0.000153 Fr(k)$$

$$\text{กฎที่ 4 : If } Tr(k) \text{ is } A4 \text{ Then } L(k+1) = 0.0070 + 0.9967L(k) - 0.000012T(k) - 0.0000038Tr(k) + 0.000024 Fr(k)$$

$$\text{กฎที่ 5 : If } Tr(k) \text{ is } A5 \text{ Then } L(k+1) = 0.0054 + 0.9973L(k) - 0.000013T(k) + 0.0000060Tr(k) - 0.000006 Fr(k)$$

$$\text{กฎที่ 6 : If } Tr(k) \text{ is } A6 \text{ Then } L(k+1) = 0.0045 + 0.9968L(k) - 0.000014T(k) + 0.0000030Tr(k) + 0.000212 Fr(k)$$



RMS = 0.0773

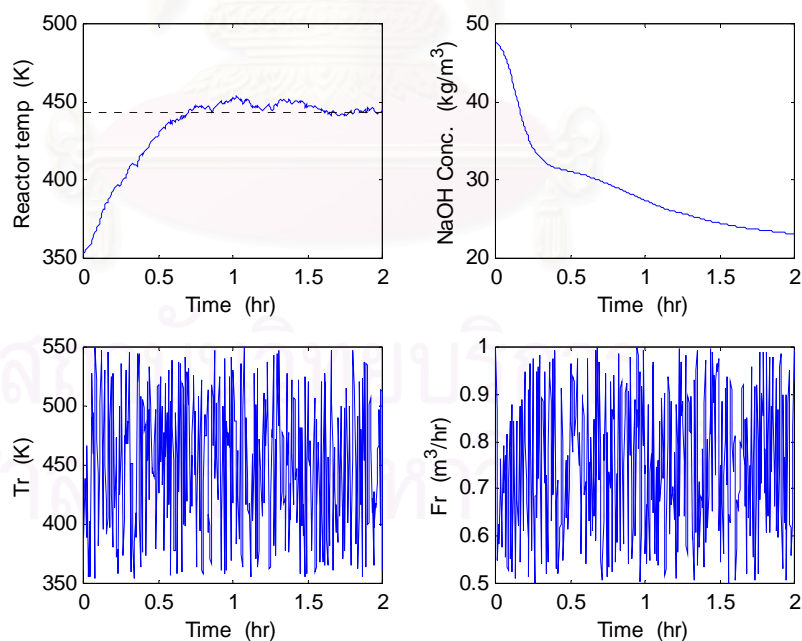
รูปที่ 6.7 ผลการทดสอบแบบจำลองฟuzzyของกระบวนการ

\*\*\* หมายเหตุ : Kappa no. =  $653.6 \times L$  ; L = Lignin

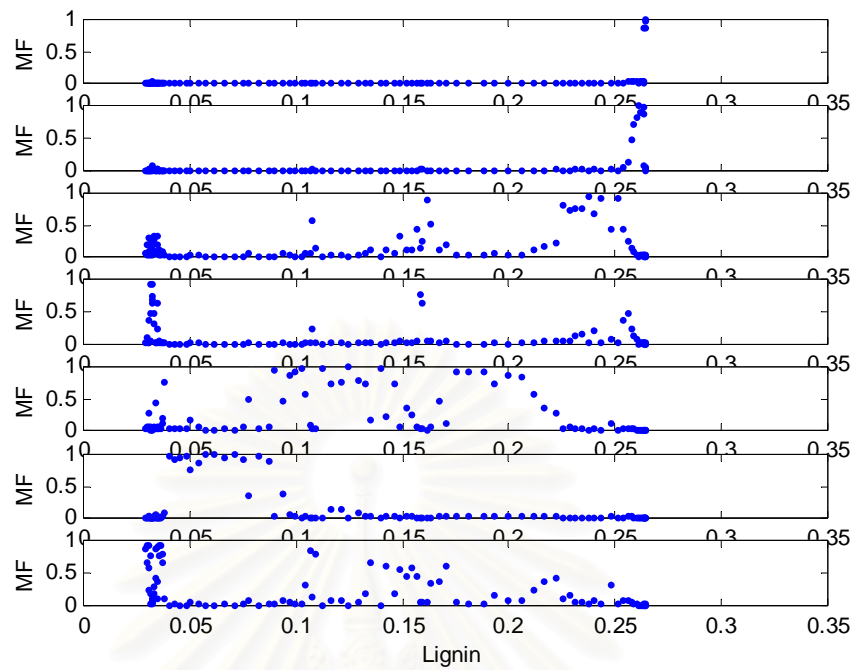
## 6.2.2 แบบจำลองพีชชีของตัวประมาณค่า

ข้อมูลอินพุตที่ใช้ในการสร้างแบบจำลองนี้ ได้แก่  $L(k-1)$   $T(k)$   $Cf3(k)$  คือค่า ลิกนินที่เวลาข้อหลังหนึ่งค่า ค่าอุณหภูมิในเครื่องปฏิกรณ์ ค่าความเข้มข้นของโซเดียม ไฮดรอกไซด์ที่เวลาปัจจุบัน ตามลำดับ สำหรับข้อมูลเอาต์พุต ได้แก่  $L(k)$  ดังนั้นเวกเตอร์ข้อมูลคือ  $Z = [L(k-1) \ T(k) \ Cf3(k) \ L(k)]$  โดยทำการเปลี่ยนแปลงค่าอุณหภูมิและอัตราการไหลของสายหมุนเวียนแบบสุ่ม (True Random) ดังรูปที่ 6.8 แล้วทำการบันทึกค่าทุกๆ 0.005 ชั่วโมง หรือ 18 วินาที ในเวลา 2 ชั่วโมง รวมจำนวนตัวอย่างสุ่มทั้งหมด 400 ค่า

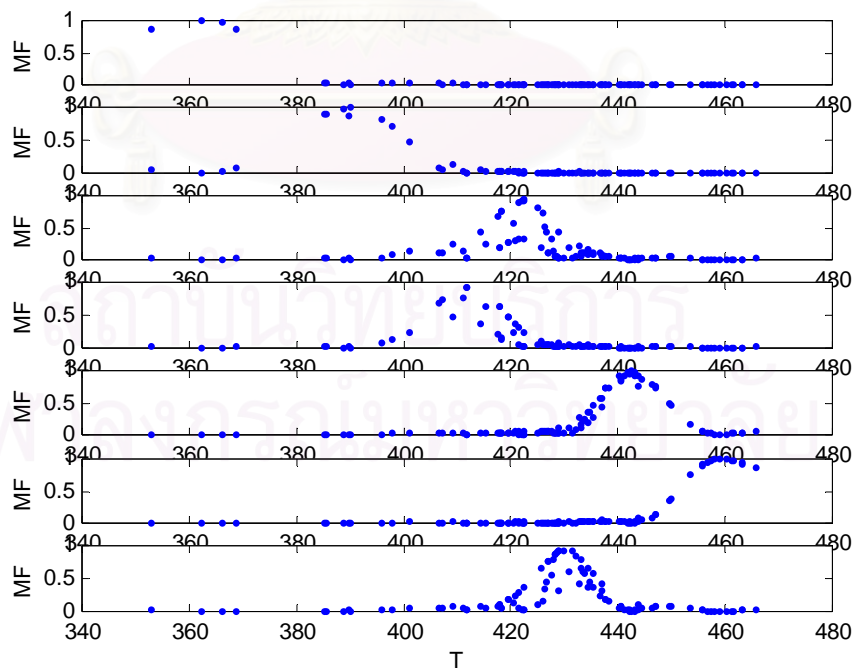
ผลจากการคลัสเตอร์ริงและหาจำนวนกฎที่เหมาะสมพบว่า จำนวนกฎเท่ากับ 7 กฎทำให้ค่า  $J(c)$  ต่ำที่สุด ได้พีชชีพาร์ทิชันเมตริกซ์ดังรูปที่ 6.9 – 6.11 จากนั้นเขียนกราฟระหว่างพีชชีพาร์ทิชันเมตริกซ์ที่มีความหมายกับค่าตัวแปรอื่นๆ ในที่นี้คือ  $T$  ทำการประมาณฟังก์ชันสมาชิกและทดสอบแบบจำลองพีชชีของตัวประมาณค่าเช่นเดียวกับหัวข้อ 6.2.1 จะได้ฟังก์ชันสมาชิกดังรูปที่ 6.12 และค่าพารามิเตอร์ดังตารางที่ 6.2 สำหรับผลการทดสอบแบบจำลองพีชชีของตัวประมาณค่าแสดงดังรูปที่ 6.13



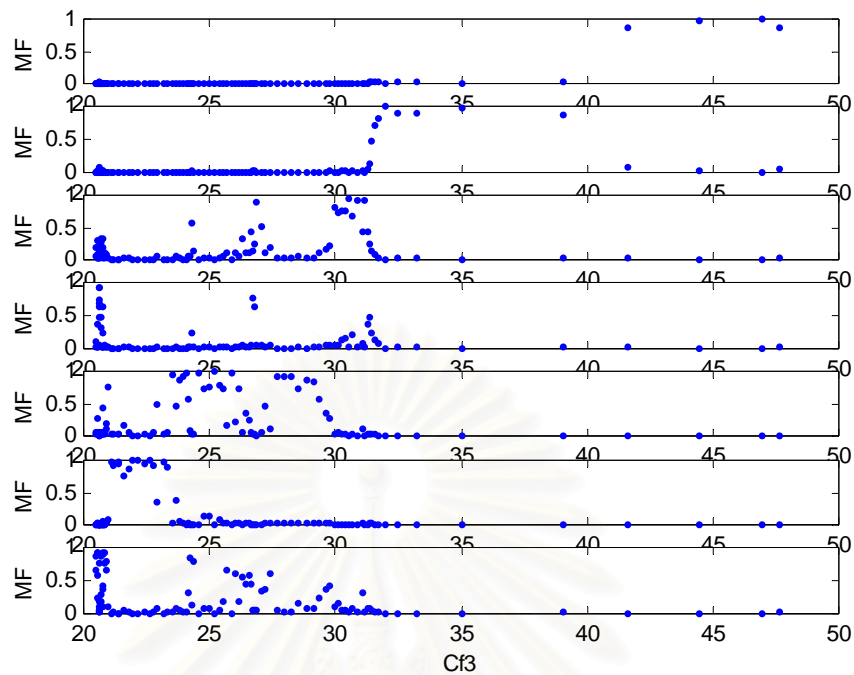
รูปที่ 6.8 ข้อมูลอินพุต-เอาต์พุตที่ใช้ในการสร้างแบบจำลองพีชชีของตัวประมาณค่า



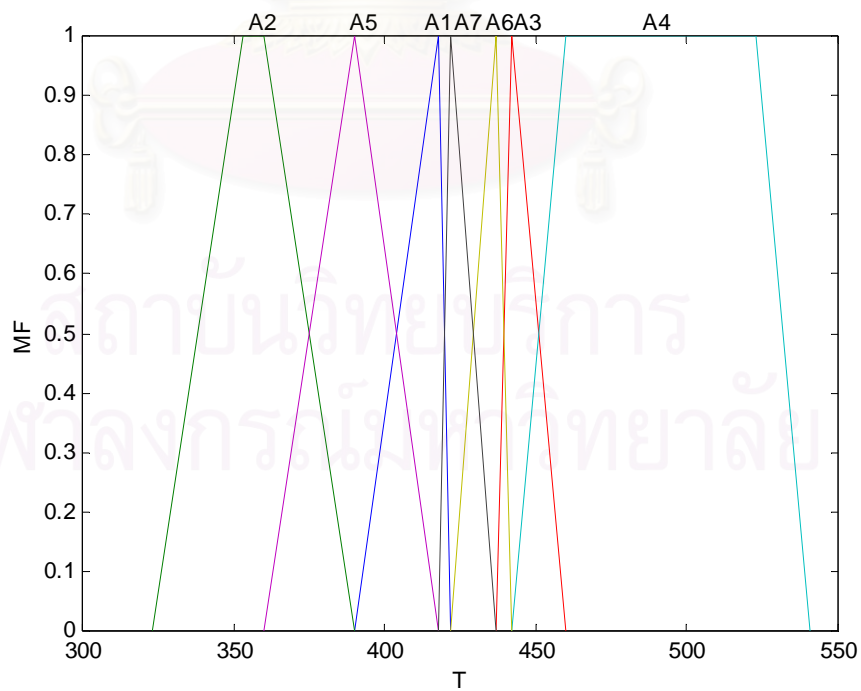
รูปที่ 6.9 กราฟระหว่างพาร์ทชันเมตริกซ์กับค่าลิกนิน



รูปที่ 6.10 กราฟระหว่างพาร์ทชันเมตริกซ์กับค่าอุณหภูมิในเครื่องปฏิกรณ์



รูปที่ 6.11 กราฟระหว่างพาร์ทิชันเมตริกซ์กับค่าความเข้มข้นของโซเดียมไฮดรอกไซด์



รูปที่ 6.12 ฟังก์ชันสมาชิกในส่วนเงื่อนไขของแบบจำลองฟuzzyสำหรับตัวประมาณค่า

ตารางที่ 6.2 ค่าพารามิเตอร์ในส่วนผลของแบบจำลองฟิชชีสำหรับตัวประมาณค่า

กฎ	$P_0$	$P_1$	$P_2$	$P_3$
1	0.0136	0.9314	-0.0001	0.0010
2	-0.1316	1.4424	0.0000	0.0001
3	0.0452	0.8913	-0.0002	0.0014
4	0.0334	1.0710	-0.0000	-0.0016
5	0.0243	0.9517	-0.0000	0.0001
6	0.0476	0.9549	-0.0001	0.0007
7	0.1284	1.0101	-0.0002	-0.0019

โครงสร้างของแบบจำลองฟิชชีสำหรับตัวประมาณค่า แสดงได้ดังนี้

กฎที่ 1 : If  $T(k)$  is  $A1$  Then  $L(k+1) = 0.0136 + 0.9314L(k) - 0.0001T(k) + 0.0010Cf3(k)$

กฎที่ 2 : If  $T(k)$  is  $A2$  Then  $L(k+1) = -0.1316 + 1.4424L(k) + 0.00007T(k) + 0.0001Cf3(k)$

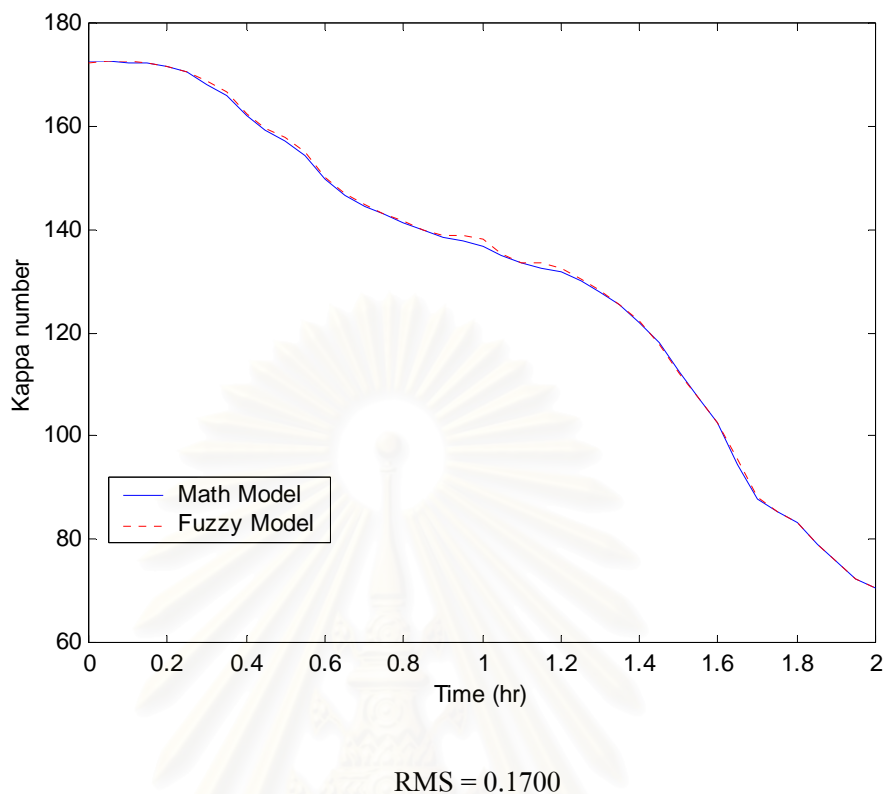
กฎที่ 3 : If  $T(k)$  is  $A3$  Then  $L(k+1) = 0.0452 + 0.8913L(k) - 0.0002T(k) + 0.0014Cf3(k)$

กฎที่ 4 : If  $T(k)$  is  $A4$  Then  $L(k+1) = 0.0334 + 1.0710L(k) - 0.0000T(k) - 0.0016Cf3(k)$

กฎที่ 5 : If  $T(k)$  is  $A5$  Then  $L(k+1) = 0.0243 + 0.9517L(k) - 0.0000T(k) + 0.0001Cf3(k)$

กฎที่ 6 : If  $T(k)$  is  $A6$  Then  $L(k+1) = 0.0476 + 0.9549L(k) - 0.0001T(k) + 0.0007Cf3(k)$

กฎที่ 7 : If  $T(k)$  is  $A7$  Then  $L(k+1) = 0.1284 + 1.0101L(k) - 0.0002T(k) - 0.0019Cf3(k)$



รูปที่ 6.13 ผลการทดสอบแบบจำลองฟัซซีของตัวประมาณค่า

ในการระบุหาแบบจำลองฟัซซีสำหรับการควบคุมกระบวนการนั้น ข้อมูลที่ใช้ในการสร้างแบบจำลองฟัซซีต้องเป็นข้อมูลที่ครอบคลุมการเปลี่ยนแปลงของกระบวนการในลักษณะต่างๆ อย่างครบถ้วนเพียงพอ ในงานวิจัยนี้ใช้ค่าเอาท์พุทในการสร้างแบบจำลองฟัซซีย้อนหลังไปเพียงค่าเดียว เนื่องจากใช้ค่าย้อนหลังเพียงค่าเดียวแบบจำลองฟัซซีก็สามารถทำนายค่าได้อย่างแม่นยำ คุณได้จากค่า RMS และต้องการ โครงสร้างที่ง่ายที่สุดเพื่อประหยัดเวลาในการประมวลผล

### 6.3 การออกแบบตัวควบคุมฟัซซีแบบอาศัยแบบจำลอง

งานวิจัยนี้ได้กล่าวถึงวิธีการออกแบบตัวควบคุมฟัซซีแบบอาศัยแบบจำลอง ซึ่งเป็นลักษณะของการควบคุมแบบใช้แบบจำลองภายในไว้ในบทที่ 4

การออกแบบตัวควบคุมแบบอาศัยแบบจำลองภายในทำโดยการผกผันแบบจำลองฟัซซีของกระบวนการที่ได้จากหัวข้อ 6.2.1 ตามสมการที่ (4.13) จะได้

$$Tr(k+1) = \frac{Kr(k+1) - \sum_{i=1}^K w_i (p_1^i K(k) + p_2^i T(k) + p_4^i Fr(k) + p_0^i)}{\sum_{i=1}^K w_i b_i}$$

$$Fr(k+1) = \frac{Kr(k+1) - \sum_{i=1}^K w_i (p_1^i K(k) + p_2^i T(k) + p_3^i Tr(k) + p_0^i)}{\sum_{i=1}^K w_i b_i}$$

โดย  $K_r$  คือค่าแคปปาอ้างอิง คำนวณได้จากสมการที่ (6.2)\*\*\*

$$K_r(k+1) = K_{est} - \frac{(K_{est} - K_d)}{(N_s - k)} \tag{6.2}$$

โดย  $K_{est}$  คือค่าแคปปาที่ประมาณได้จากตัวประมาณค่าฟัซซี

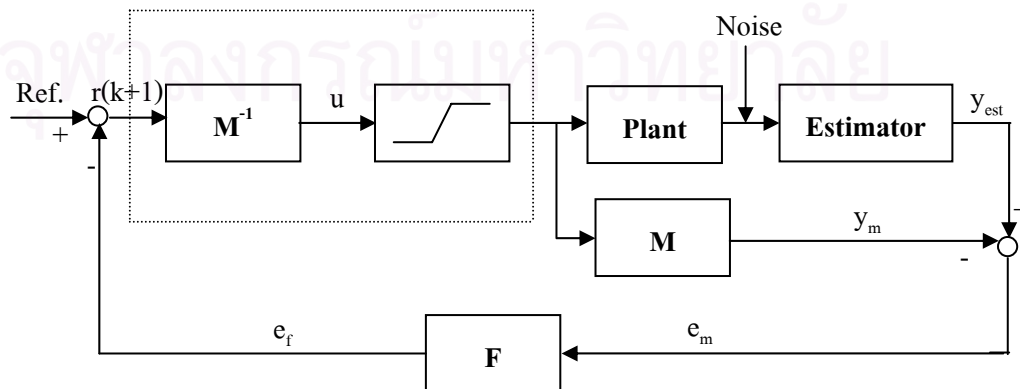
$K_d$  คือค่าแคปปาที่ต้องการ ในที่นี้เท่ากับ 50

$N_s$  คือจำนวนการสุ่มตัวอย่างทั้งหมด ในที่นี้เท่ากับ 40 (เวลาในการปฏิบัติการ 2 ชม. เวลาในการสุ่ม 0.05 ชม.)

$k$  คือเวลาในการสุ่มนั้นๆ มีค่าตั้งแต่ 1 ถึง  $N_s - 1$

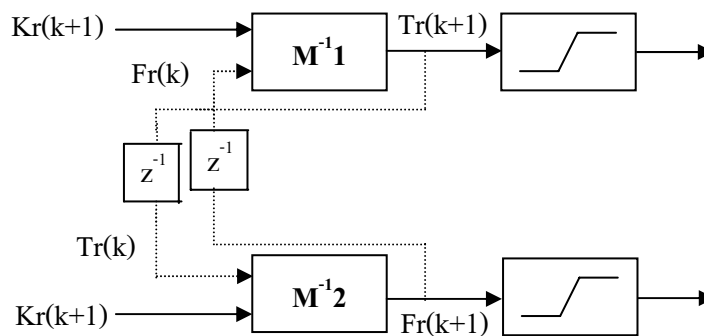
\*\*\* Jay H. Lee and A.K. Datta (1994)

รูปที่ 6.14 และ 6.15 แสดงโครงสร้างการควบคุมแบบออสัยแบบจำลองฟัซซีภายในของ กระบวนการตัวย่อยเยื่อกระดาษที่ใช้ในงานวิจัยนี้



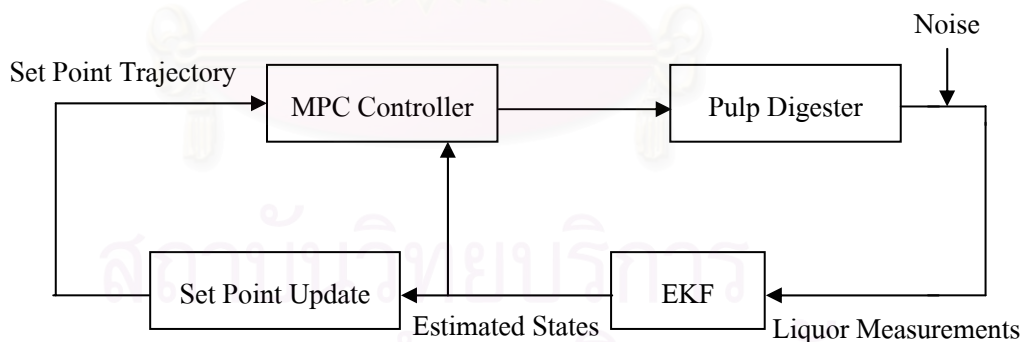
รูปที่ 6.14 โครงสร้างการควบคุมแบบ Fuzzy IMC





รูปที่ 6.15 ภาพขยายจากกรอบเส้นประในรูปที่ 6.15

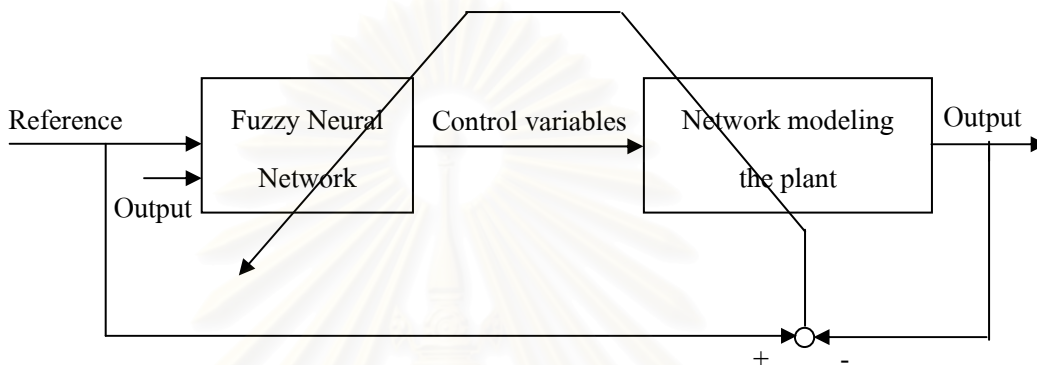
ที่ผ่านมาได้มีการศึกษาการควบคุมด้วยอรรถศาสตร์ด้วยตัวควบคุมแบบต่างๆ เช่น ในปี ค.ศ.1994 Jay H. Lee และ A. K. Datta ได้ประยุกต์ใช้ตัวควบคุม โมเดลพรีดิกทีฟร่วมกับตัวประมาณค่าคาลมาน (Extended-Kalman-Filter-Based Nonlinear Model Predictive Control, MPC+EKF) พบว่าสามารถควบคุมค่าแคปไปให้ถึงค่าที่ต้องการได้ในเวลา 2 ชั่วโมงและตัวควบคุมมีความทนทานต่อความผิดพลาดของค่าพารามิเตอร์ต่างๆ แต่การประยุกต์ใช้คาลมาน นั้นทำได้ลำบากเนื่องจากมีขั้นตอนการคำนวณที่ยุ่งยาก อีกทั้งต้องใช้เวลาในการปรับจูนพารามิเตอร์หลายตัว แผนผังการควบคุมด้วย MPC นี้แสดงดังรูปที่ 6.16



รูปที่ 6.16 แผนผังการควบคุมด้วย MPC และตัวประมาณค่า EKF

และในปี ค.ศ. 2000 K. Belarbi, K. Bettou และ A. Mezzache ได้ทำการออกแบบการควบคุมด้วยอรรถศาสตร์โดยการใช้ฟัซซีนิวรัลเน็ตเวิร์ค (Fuzzy Neural Network, FNN) ในการประมาณค่าแคปไปและการกำหนดกฎฟัซซีเพื่อใช้ในตัวควบคุม และวัดค่าตัวแปรที่ใช้ในการประมาณค่า 2 ตัว กฎฟัซซีที่ได้อยู่ในรูปของแบบจำลองฟัซซีเชิงภาษา (Fuzzy Linguistic

Controller, FLC) และรูปร่างของฟังก์ชันสมาชิกถูกกำหนดจากประสบการณ์ของผู้ออกแบบ หรือผู้ควบคุมดังแสดงในตารางที่ 6.3 และกฎการควบคุมแสดงดังตารางที่ 6.4 ผลการศึกษา แสดงให้เห็นว่าการควบคุมแบบนี้สามารถควบคุมค่าแคปปาให้ถึงค่าที่ต้องการได้ในเวลาที่ กำหนด แต่ถ้าไม่มีผู้เชี่ยวชาญหรือประสบการณ์มาก่อนจะไม่สามารถทำตามวิธีการนี้ได้ แผน ผังการควบคุมแบบนี้แสดงดังรูปที่ 6.17



รูปที่ 6.17 แผนผังการควบคุมด้วยตัวควบคุม FLC และตัวประมาณค่า FNN

ตารางที่ 6.3 จุดกึ่งกลางของฟังก์ชันสมาชิกแบบสามเหลี่ยม

ตัวแปร	A1	A2	A3
Tr	350	410	460
Fr	0.5	0.75	1
T	353	415	480
NaOH	16	25	34
K	40	110	180
Error	-10	0	+10
Error increment	-2	0	+2

จากตารางที่ 6.3 แต่ละตัวแปรถูกแบ่งเป็น 3 ฟังก์ชันเซต คือ Low (L) Medium (M) และ High (H) ซึ่งเป็นฟังก์ชันแบบสามเหลี่ยม โดยมีจุดกึ่งกลางหรือจุดยอดของสามเหลี่ยมเป็น A1 A2 และ A3 ตามลำดับ

ตารางที่ 6.4 กฎการควบคุมทั้ง 9 กฎสำหรับตัวควบคุม FLC

dEr	Er					
	L		M		H	
	Fr	Tr	Fr	Tr	Fr	Tr
L	H	H	H	M	M	L
M	H	H	M	L	L	L
H	H	H	L	M	M	H

อินพุทของตัวควบคุม FLC และตัวควบคุม MPC คือความแตกต่างระหว่างค่าอ้างอิงและค่าที่ประมาณได้ (Er) และการเปลี่ยนแปลงของความแตกต่างนี้ (dEr) สำหรับเอาต์พุตที่ออกจากตัวควบคุมคืออนุภูมิ (Tr) และอัตราการใช้ (Fr) ของสายหมุนเวียน

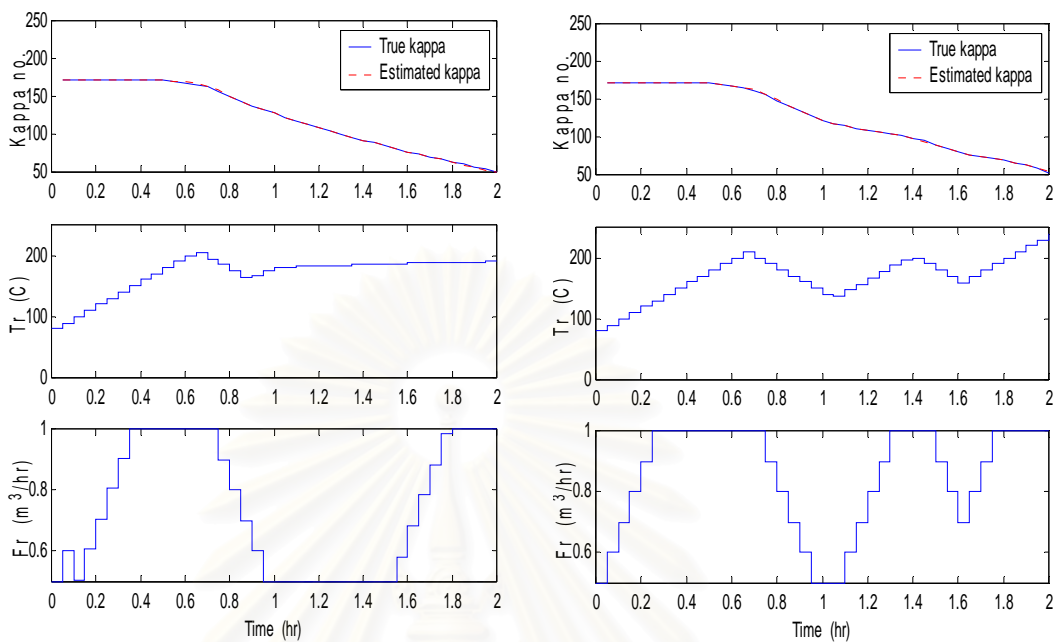
#### 6.4 ผลการควบคุม

ในการทดลองนี้กำหนดให้ทำการควบคุมทุกๆ 0.05 ชั่วโมงหรือ 3 นาที ซึ่งต้องการควบคุมค่าแคลปไปให้เข้าใกล้ 50 เท่าที่จะเป็นไปได้ที่เวลา 2 ชั่วโมง โดยการปรับอนุภูมิและอัตราการใช้ของสายหมุนเวียน ทำการทดสอบตัวควบคุมและตัวประมาณค่าใน 3 กรณีคือ กรณีที่มีการเปลี่ยนแปลงสารป้อน กรณีที่มีสัญญาณรบกวน กรณีที่พารามิเตอร์ของแบบจำลองผิดพลาดและทำการเปรียบเทียบกับตัวควบคุม PI ซึ่งใช้ร่วมกับตัวประมาณค่าฟิชซีเช่นเดียวกัน

ค่าเฟดเดอร์การปรับจูนสำหรับตัวควบคุม PI ตัวแรก ทำการปรับ Tr ด้วยค่า  $K_c = 43$   $K_i = 1300$  และตัวที่สองปรับ Fr ด้วยค่า  $K_c = 4$   $K_i = 25$

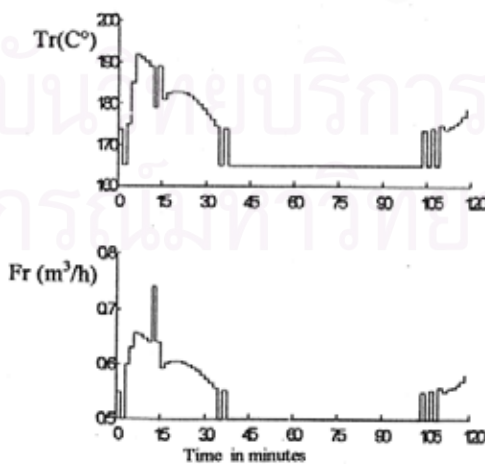
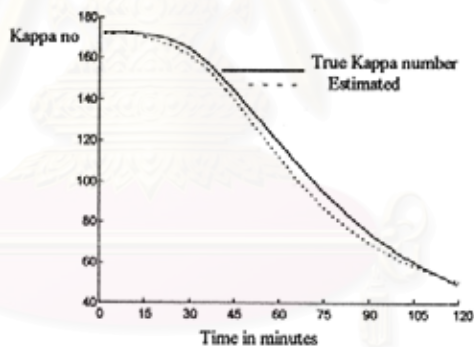
สำหรับผลการควบคุมด้วย MPC และ FLC จากงานวิจัยที่ผ่านมานำมารวมในงานวิจัยนี้ เพื่อแสดงแนวโน้มและลักษณะกราฟ

### 6.4.1 กรณีที่ใช้สารป้อนตัวอย่าง



FIMC

PI



FLC

รูปที่ 6.18 ผลการควบคุมในกรณีที่ใช้สารป้อนตัวอย่าง

จากรูปที่ 6.18 จะเห็นว่าตัวควบคุม FIMC และ PI สามารถควบคุมค่าแคปไปให้เข้าใกล้ค่า 50 ได้เช่นเดียวกัน โดยการปรับของอุณหภูมิในสายหมุนเวียนเพิ่มขึ้นจากอุณหภูมิเริ่มต้น 80 °C จนอยู่ในช่วงประมาณ 160-180 °C ซึ่งเป็นช่วงที่ปฏิกิริยาเกิดได้ดี แต่ตัวควบคุม FIMC มีการปรับตัวของตัวแปรปรับ (Controller movement) น้อยกว่าตัวควบคุม PI

## 6.4.2 การทดสอบตัวควบคุมและตัวประมาณค่า

### 6.4.2.1 กรณีมีการเปลี่ยนแปลงสารป้อน

คุณสมบัติของสารต่างๆ ที่ป้อนเข้าสู่ตัวย่อยเยื่อกระดาษมีการเปลี่ยนแปลงไปในแต่ละแบทช์และในอุตสาหกรรมจริงก็เป็นไปไม่ได้ที่จะทราบปริมาณที่แน่นอนของการเปลี่ยนแปลงนี้ ยกตัวอย่างเช่น ชนิดของไม้ที่ป้อนเข้าสู่กระบวนการซึ่งไม้แต่ละชนิดจะมีองค์ประกอบต่างๆ ที่แตกต่างกัน จะส่งผลต่อการควบคุมและประมาณค่า สมรรถนะของตัวควบคุมตัดสินใจได้จากการสังเกตว่าค่าแคปไปค่าสุดท้ายเข้าใกล้ค่าที่ต้องการได้มากน้อยเท่าใดในเวลาที่กำหนด สำหรับตัวประมาณค่าที่มีประสิทธิภาพสูงต้องสามารถทำให้ค่าที่ประมาณได้เข้าสู่ค่าจริงได้อย่างรวดเร็ว การทดสอบนี้แบ่งเป็น 4 กรณีด้วยกันดังตารางที่ 6.5

กรณีที่ 1 ใช้ไม้เนื้ออ่อนกว่าไม้ตัวอย่างและความเข้มข้นของสารละลาย NaOH และ Na<sub>2</sub>S เท่าตัวอย่าง

กรณีที่ 2 ใช้ไม้เนื้อแข็งกว่าไม้ตัวอย่างและความเข้มข้นของสารละลาย NaOH และ Na<sub>2</sub>S เท่าตัวอย่าง

กรณีที่ 3 ใช้ไม้ตัวอย่างและความเข้มข้นของสารละลาย NaOH และ Na<sub>2</sub>S ผิดพลาดไป -15%

กรณีที่ 4 ใช้ไม้ตัวอย่างและความเข้มข้นของสารละลาย NaOH และ Na<sub>2</sub>S ผิดพลาดไป +15%

จุฬาลงกรณ์มหาวิทยาลัย

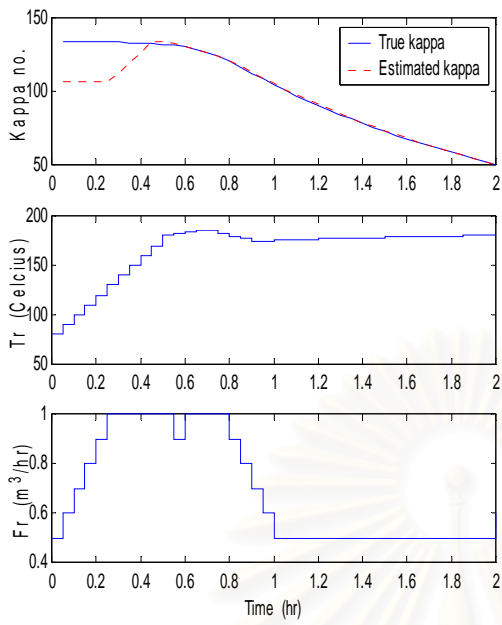
ตารางที่ 6.5 การเปลี่ยนแปลงสารป้อนในกรณีต่างๆ

ตัวแปร	การเปลี่ยนแปลงสารป้อน				
	ตัวอย่าง	กรณีที่ 1	กรณีที่ 2	กรณีที่ 3	กรณีที่ 4
X1 (mass fraction)	0.0528	0.0428	0.0628	0.0528	0.0528
X2 (mass fraction)	0.2112	0.1612	0.2312	0.2112	0.2112
X3 (mass fraction)	0.4852	0.4652	0.4852	0.4852	0.4852
X4 (mass fraction)	0.1428	0.1228	0.1428	0.1428	0.1428
X5 (mass fraction)	0.0722	0.0622	0.0722	0.0722	0.0722
Ce1 (kg/m <sup>3</sup> )	0	0	0	0	0
Ce2 (kg/m <sup>3</sup> )	0	0	0	0	0
Ce3 (kg/m <sup>3</sup> )	0	0	0	0	0
Ce4 (kg/m <sup>3</sup> )	0	0	0	0	0
Cf1 (kg/m <sup>3</sup> )	1	1	1	1	1
Cf2 (kg/m <sup>3</sup> )	2	2	2	2	2
Cf3 (kg/m <sup>3</sup> )	47.6327	47.6327	47.6327	37.9378	51.3276
Cf4 (kg/m <sup>3</sup> )	11.3535	11.3535	11.3535	9.6505	13.0565
T (°C)	80	80	80	80	80

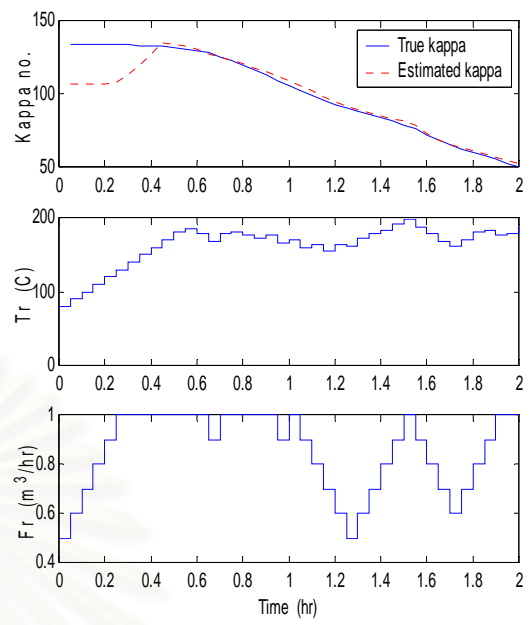
### ผลการทดสอบกรณีที่ 1

จากรูปที่ 6.19 จะเห็นว่าตัวควบคุม FIMC และ PI สามารถควบคุมค่าแคปปาให้เข้าใกล้ค่า 50 ได้เช่นเดียวกัน โดยการปรับของอุณหภูมิในสายหมุนเวียนเพิ่มขึ้นจากอุณหภูมิเริ่มต้น 80 °C จนอยู่ในช่วงประมาณ 160-180 °C ซึ่งเป็นช่วงที่ปฏิกิริยาเกิดได้ดี แต่ตัวควบคุม FIMC มีการปรับตัวของตัวแปรปรับน้อยกว่าตัวควบคุม PI

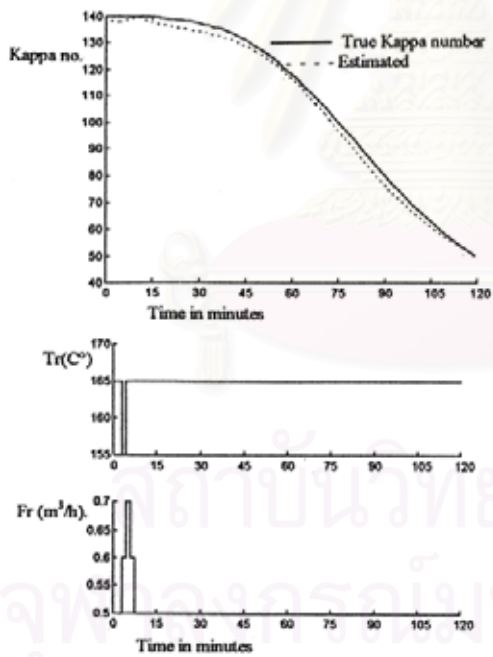
สำหรับการประมาณค่าสังเกตได้ว่ามีความคลาดเคลื่อนในช่วงแรก แต่อย่างไรก็ตามตัวประมาณค่าพีซีสามารถทำให้ค่าแคปปาที่ประมาณได้ลู่เข้าสู่ค่าจริงในเวลาประมาณ 30 นาทีเท่านั้น



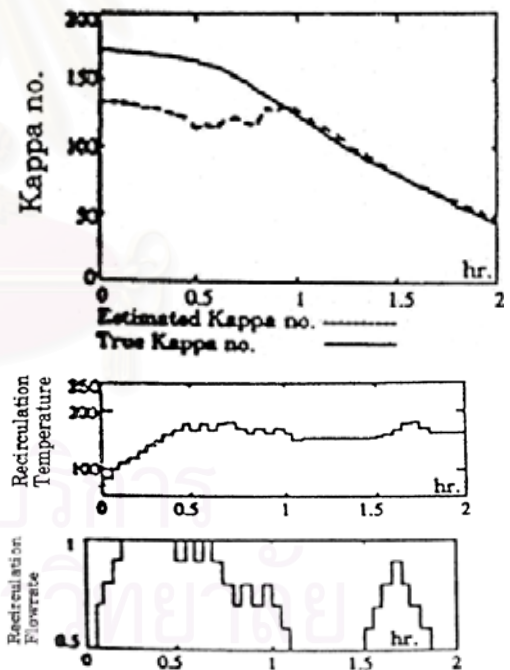
FIMC



PI



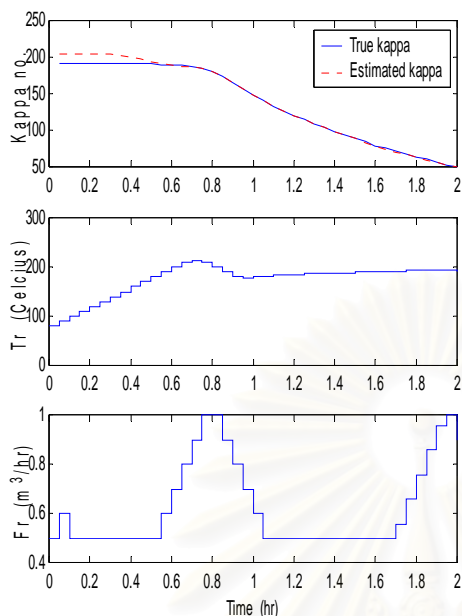
FLC



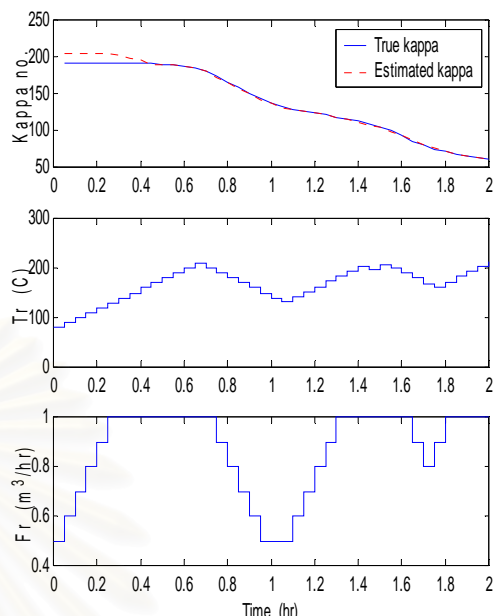
MPC

รูปที่ 6.19 ผลการควบคุมในกรณีที่ 1

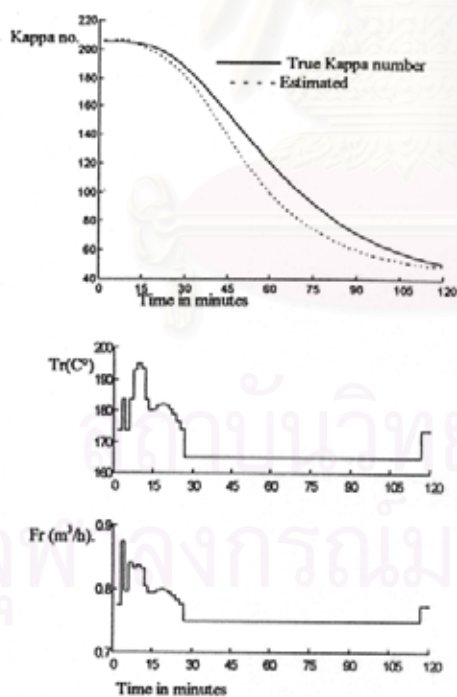
ผลการทดสอบกรณีที่ 2



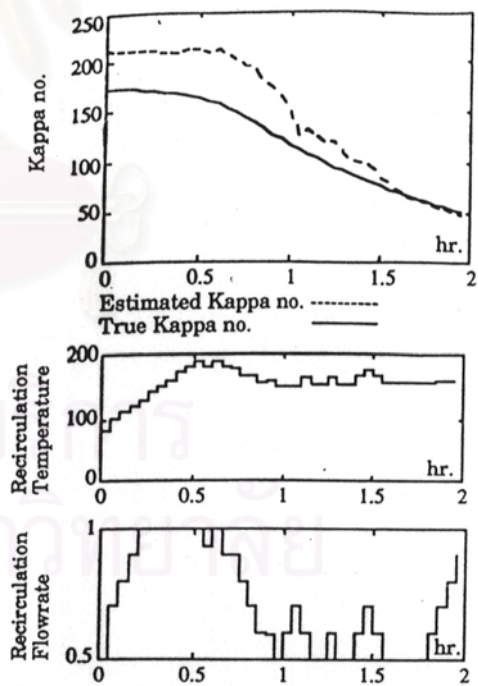
FIMC



PI



FLC



MPC

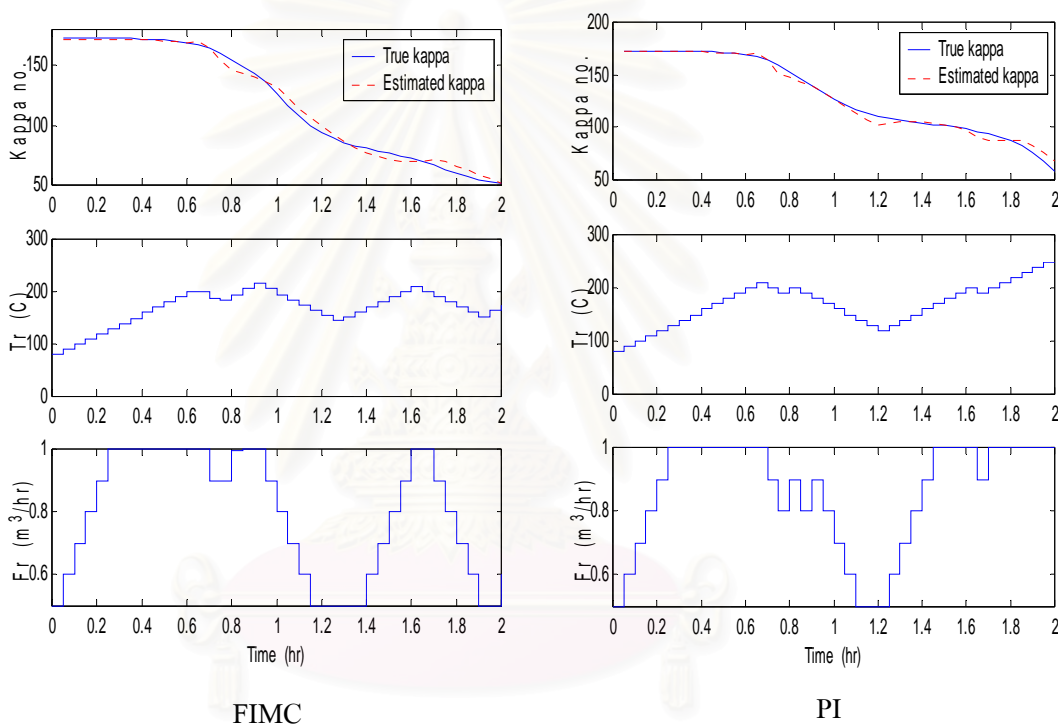
รูปที่ 6.20 ผลการควบคุมในกรณีที่ 2



จากรูปที่ 6.20 จะเห็นว่าตัวควบคุม FIMC สามารถควบคุมค่าแคปปาให้เข้าใกล้ค่า 50 ได้ แต่ตัวควบคุม PI ไม่สามารถควบคุมเข้าสู่ค่าเป้าหมายได้ สังเกตได้จากเกิดออฟเซตที่ค่าแคปปาสุดท้าย นอกจากนี้ตัวควบคุม PI มีการปรับตัวของตัวแปรปรับมากกว่าตัวควบคุม FIMC สังเกตได้จากเกิดการแกว่งของ Tr

สำหรับการประมาณค่าสังเกตได้ที่มีความคลาดเคลื่อนในช่วงแรก แต่ตัวประมาณค่าพีชชีสามารถทำให้ค่าแคปปาที่ประมาณได้ลู่เข้าสู่ค่าจริงในเวลาประมาณ 40 นาที

**ผลการทดสอบกรณีที่ 3**

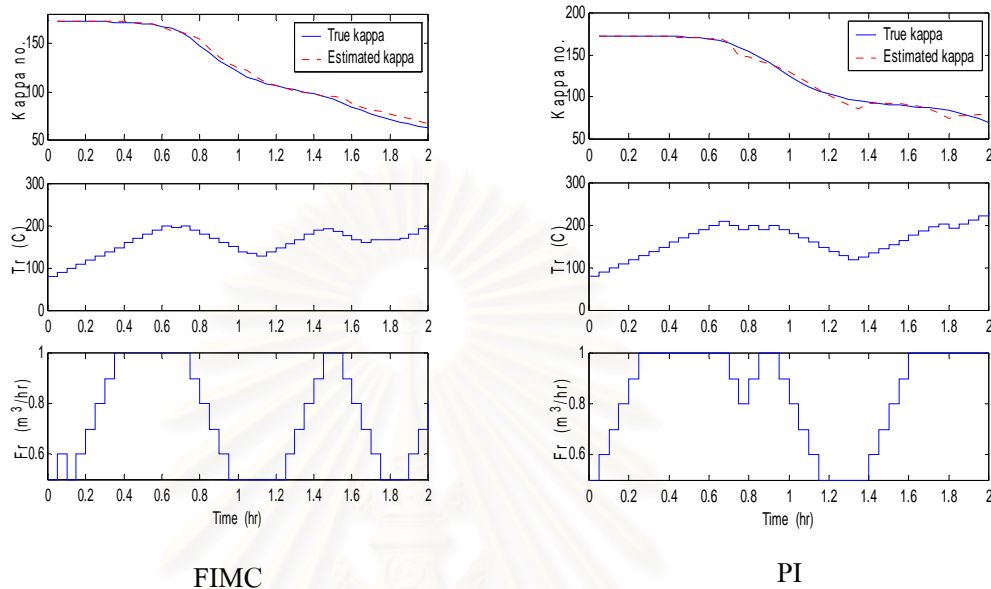


รูปที่ 6.21 ผลการควบคุมในกรณีที่ 3

จากรูปที่ 6.21 พบว่าทั้งตัวควบคุม FIMC และ PI ไม่สามารถควบคุมค่าแคปปาให้ถึงค่าที่ต้องการได้ สังเกตได้จากเกิดออฟเซตที่ค่าแคปปาสุดท้าย เนื่องจากเมื่อความเข้มข้นของ NaOH ผิดพลาดไป ซึ่ง NaOH เป็นตัวแปรที่รวมอยู่ในแบบจำลองพีชชีของตัวประมาณค่า ส่งผลให้การประมาณค่าคลาดเคลื่อน จึงทำให้ผลการควบคุมแย่ลง

#### ผลการทดสอบกรณีที่ 4

จากรูปที่ 6.22 ผลที่ได้สามารถอธิบายได้เช่นเดียวกับกรณีที่ 3

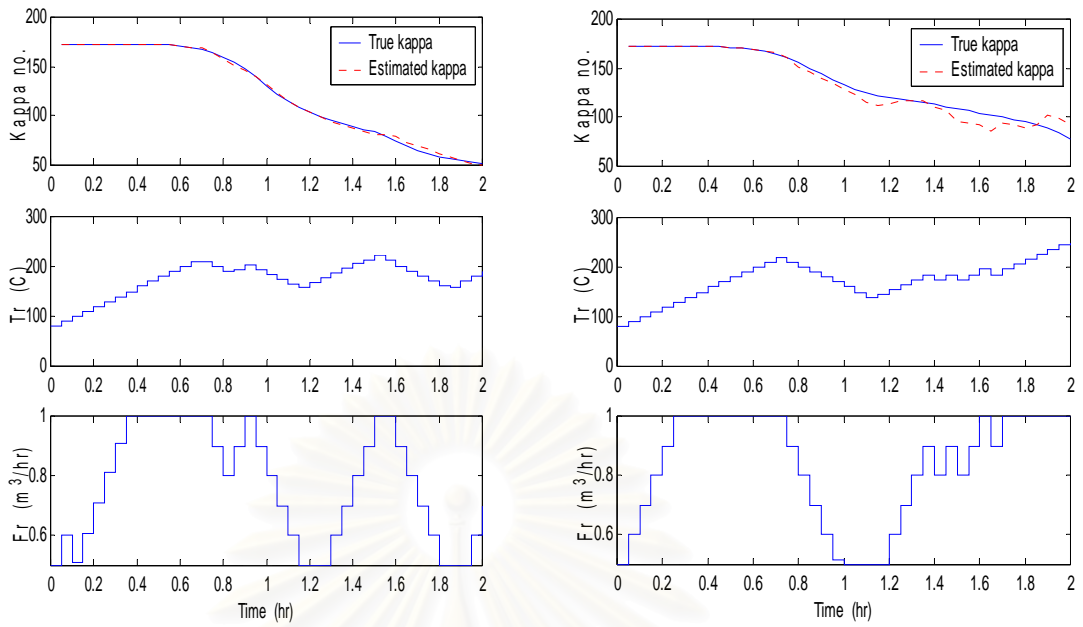


รูปที่ 6.22 ผลการควบคุมในกรณีที่ 4

#### 6.4.2.2 กรณีมีสัญญาณรบกวนจากการวัด

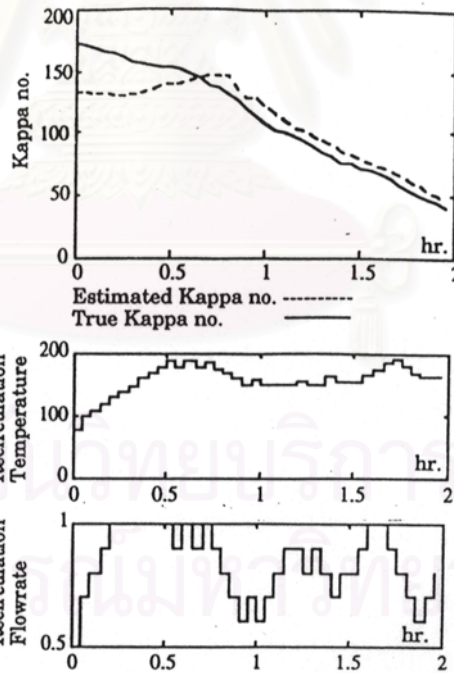
จากรูปที่ 6.23 แสดงให้เห็นว่าสัญญาณรบกวนไม่มีผลต่อการควบคุมด้วยตัวควบคุม FIMC เนื่องจากในโครงสร้างของตัวควบคุม FIMC มีตัวกรองสัญญาณรบกวนรวมอยู่ด้วย แต่ไม่มีในตัวควบคุม PI ดังนั้นตัวควบคุม PI จึงไม่สามารถจัดการกับสัญญาณรบกวนได้ ส่งผลให้ค่าแคปค่าสุดท้ายไม่ถึงค่าเป้าหมาย

สถาบันวิทยบริการ  
จุฬาลงกรณ์มหาวิทยาลัย



FIMC

PI



MPC

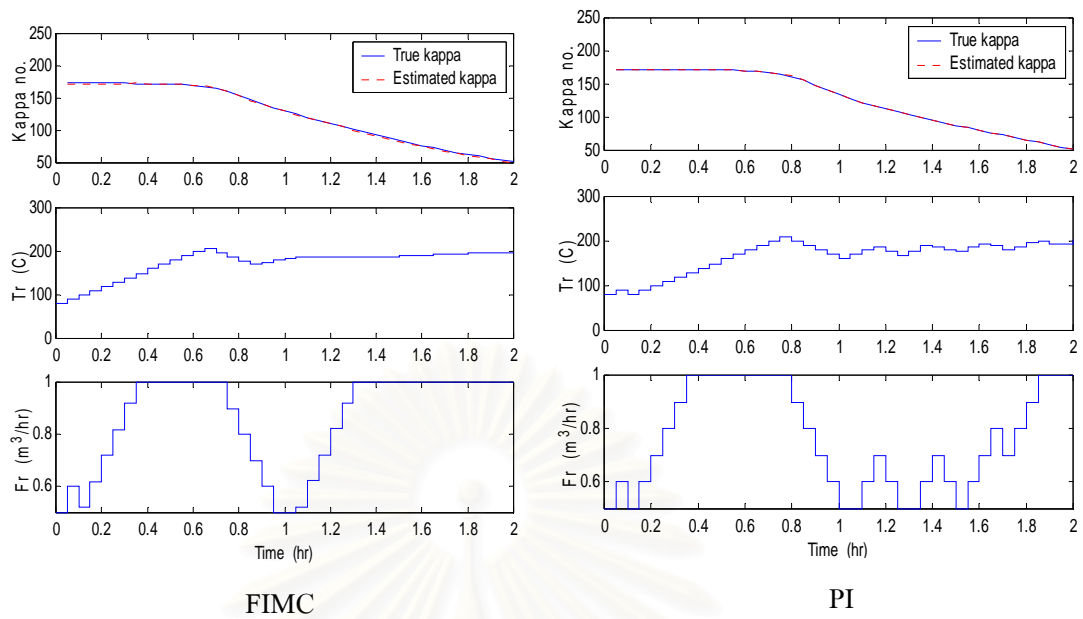
รูปที่ 6.23 ผลการควบคุมในกรณีที่มีสัญญาณรบกวนจากการวัด

### 6.4.2.3 กรณีที่ค่าพารามิเตอร์ของแบบจำลองทางคณิตศาสตร์ผิดพลาด

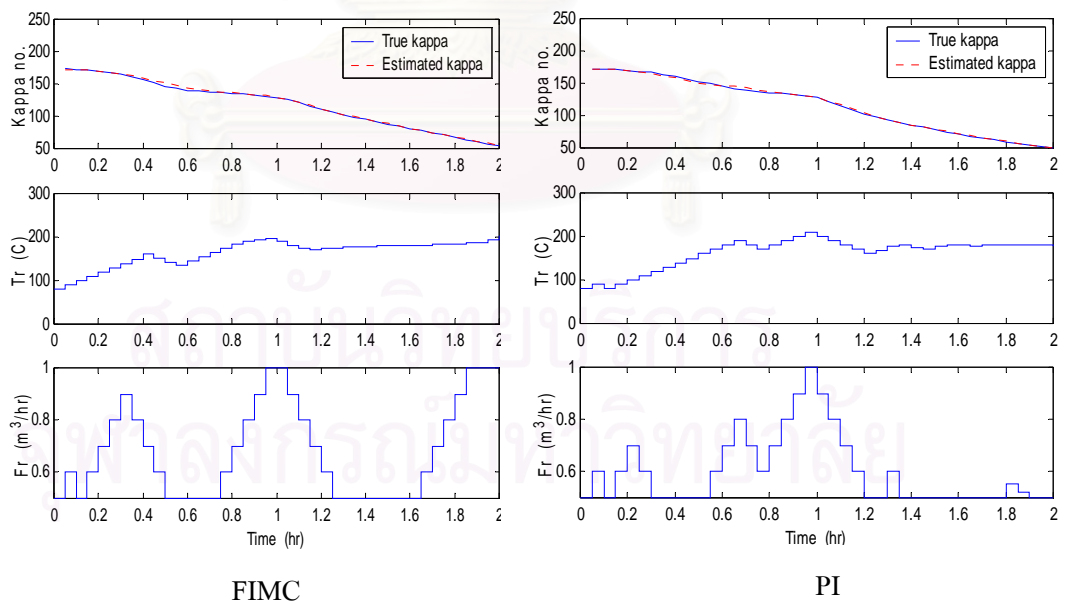
การทดสอบนี้มีความจำเป็นอย่างยิ่งเนื่องจากค่าพารามิเตอร์ของแบบจำลองทางคณิตศาสตร์ที่ใช้แทนกระบวนการจริงนั้นอาจมีค่าไม่ตรงกับกระบวนการจริงในอุตสาหกรรม ซึ่งส่งผลต่อสมรรถนะของตัวควบคุม ดังนั้นจึงต้องมีการเปลี่ยนแปลงค่าพารามิเตอร์ต่างๆ ไปจากค่าที่ใช้อยู่เดิมเพื่อทดสอบการทำงานของตัวควบคุม ตัวควบคุมอาจจะยังทำงานได้ดีทุกๆ ที่มีค่าพารามิเตอร์บางตัวผิดพลาดไปมาก แต่อาจไม่สามารถควบคุมได้แม้ค่าพารามิเตอร์บางตัวมีความผิดพลาดเพียงเล็กน้อยเท่านั้น

แบบจำลองทางคณิตศาสตร์ของตัวย่อยเยื่อกระดาษมีพารามิเตอร์ถึง 36 ตัว ประกอบด้วย ค่าพลังงานกระตุ้นที่ 1 ( $E_1$ ) ค่าพลังงานกระตุ้นที่ 2 ( $E_2$ ) ค่าแฟกเตอร์ความถี่ที่ 1 ( $A_1$ ) ค่าแฟกเตอร์ความถี่ที่ 2 ( $A_2$ ) ค่าสัมประสิทธิ์ Stoichiometric สำหรับโซเดียมไฮดรอกไซด์ ( $S_{c_3}$ ) ค่าสัมประสิทธิ์ Stoichiometric สำหรับโซเดียมซัลไฟด์ ( $S_{c_4}$ ) ซึ่งแต่ละค่าเหล่านี้ จำแนกสำหรับแต่ละองค์ประกอบในไม้ ดังนั้นค่าพารามิเตอร์เหล่านี้รวมเป็น 30 ตัว นอกจากนี้ยังมี ค่าคงที่อันดับปฏิกิริยาของโซเดียมไฮดรอกไซด์ ( $a$ ) ค่าคงที่อันดับปฏิกิริยาของโซเดียมซัลไฟด์ ( $b$ ) ค่าความร้อนที่ใช้ในการเกิดปฏิกิริยา ( $\Delta H$ ) ค่าคงที่การถ่ายโอนมวลสารตัวที่ 1 ( $M_1$ ) ค่าคงที่การถ่ายโอนมวลสารตัวที่ 2 ( $M_2$ ) และค่าความจุความร้อนจำเพาะ ( $C_p$ ) จะเห็นได้ว่าค่าพารามิเตอร์มีจำนวนมากดังนั้นในที่นี้จะเลือกทดสอบเฉพาะค่าพารามิเตอร์ที่สำคัญซึ่งก็คือ ค่าพลังงานกระตุ้นที่ 1 ( $E_1$ ) ค่าพลังงานกระตุ้นที่ 2 ( $E_2$ ) ขององค์ประกอบในไม้ทั้ง 5 รวมค่าพารามิเตอร์ที่ใช้ทดสอบทั้งหมด 10 ตัว โดยเปลี่ยนค่าให้ผิดพลาดไป  $\pm 50\%$  ผลการทดสอบแสดงดังรูปที่ 6.24 – 6.43

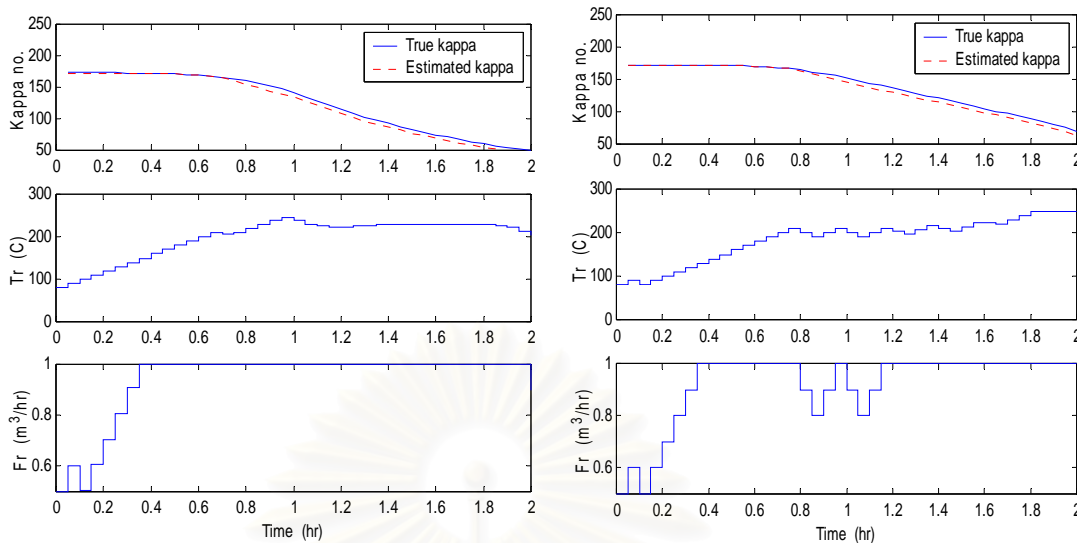
สถาบันวิทยบริการ  
จุฬาลงกรณ์มหาวิทยาลัย



รูปที่ 6.24 ผลการควบคุมเมื่อค่าพลังงานกระตุ้นที่ 1 ขององค์ประกอบที่ 1 ( $E_{11}$ ) เปลี่ยนแปลงไป +50%



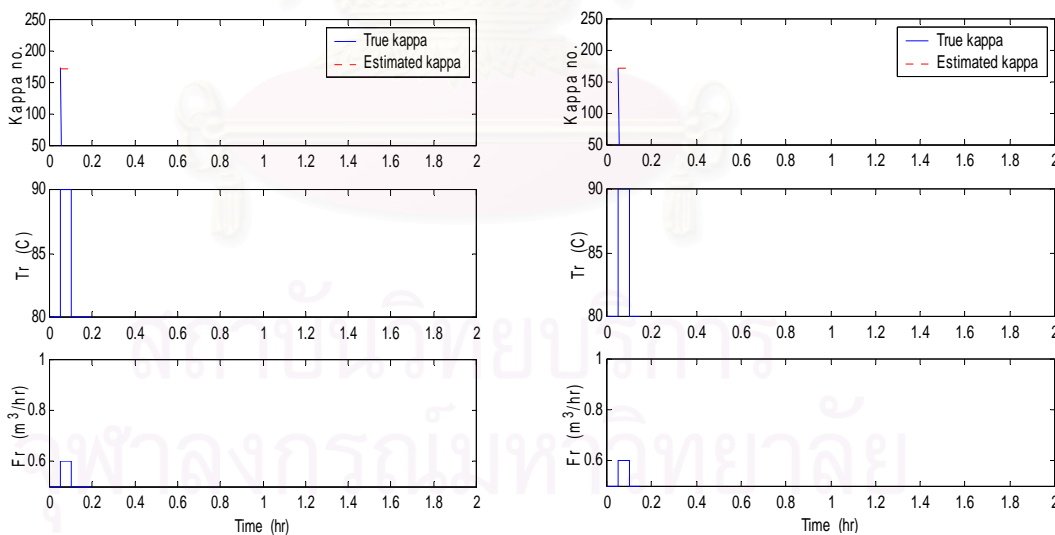
รูปที่ 6.25 ผลการควบคุมเมื่อค่าพลังงานกระตุ้นที่ 1 ขององค์ประกอบที่ 1 ( $E_{11}$ ) เปลี่ยนแปลงไป -50%



FIMC

PI

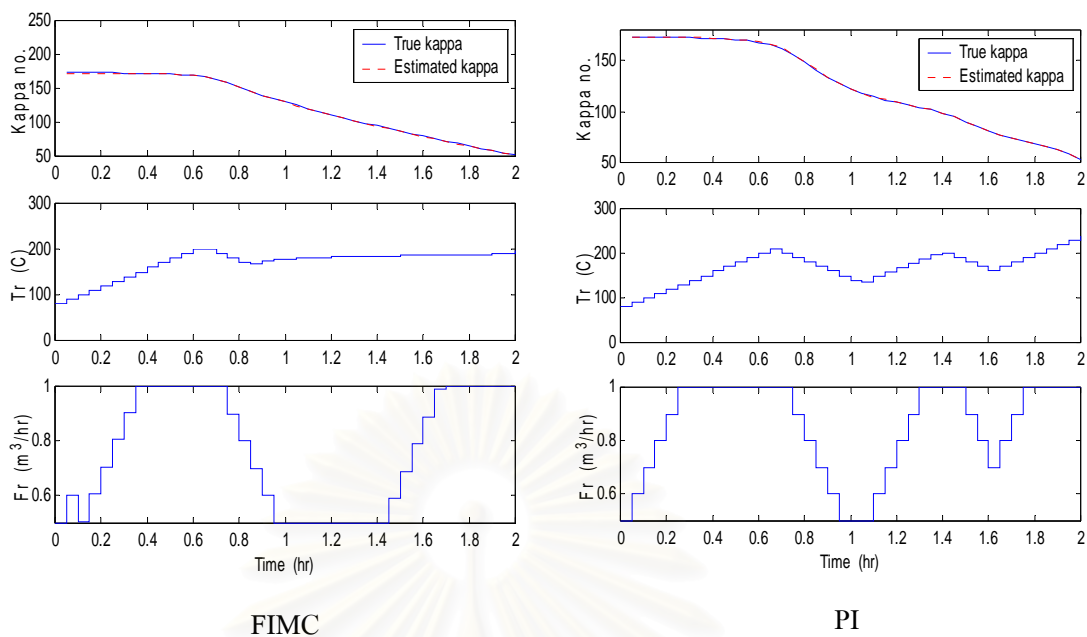
รูปที่ 6.26 ผลการควบคุมเมื่อค่าพลังงานกระตุ้นที่ 1 ขององค์ประกอบที่ 2 ( $E_{12}$ ) เปลี่ยนแปลงไป +50%



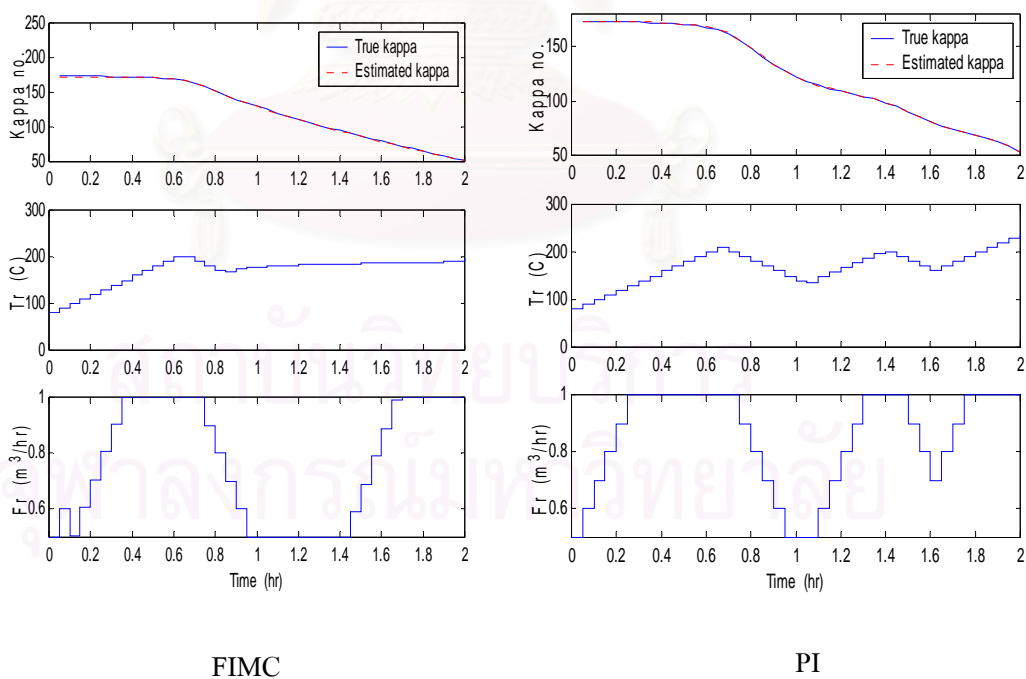
FIMC

PI

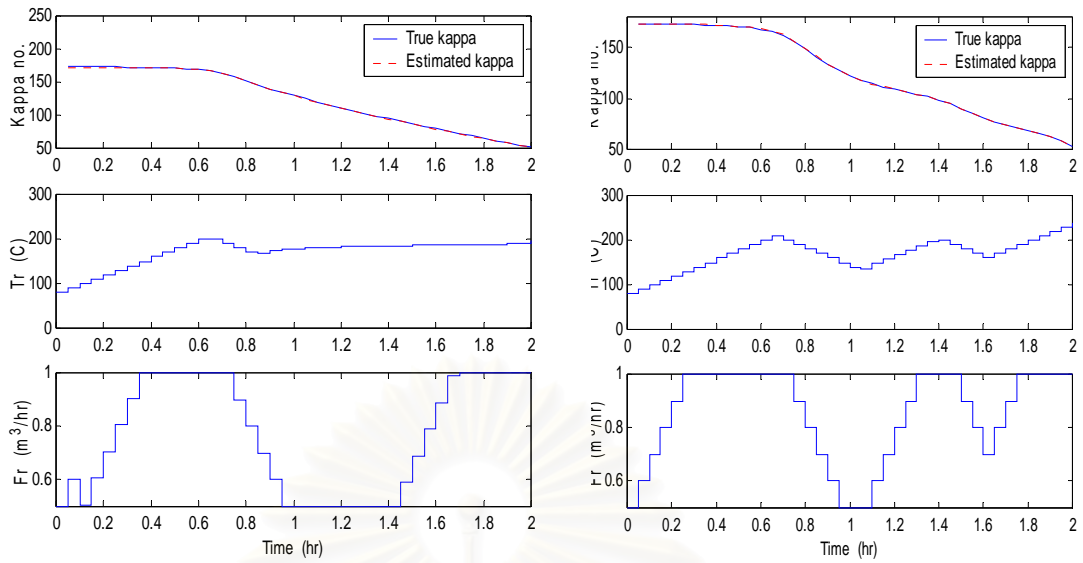
รูปที่ 6.27 ผลการควบคุมเมื่อค่าพลังงานกระตุ้นที่ 1 ขององค์ประกอบที่ 2 ( $E_{12}$ ) เปลี่ยนแปลงไป -50%



รูปที่ 6.28 ผลการควบคุมเมื่อค่าพลังงานกระตุ้นที่ 1 ขององค์ประกอบที่ 3 ( $E_{13}$ ) เปลี่ยนแปลงไป +50%



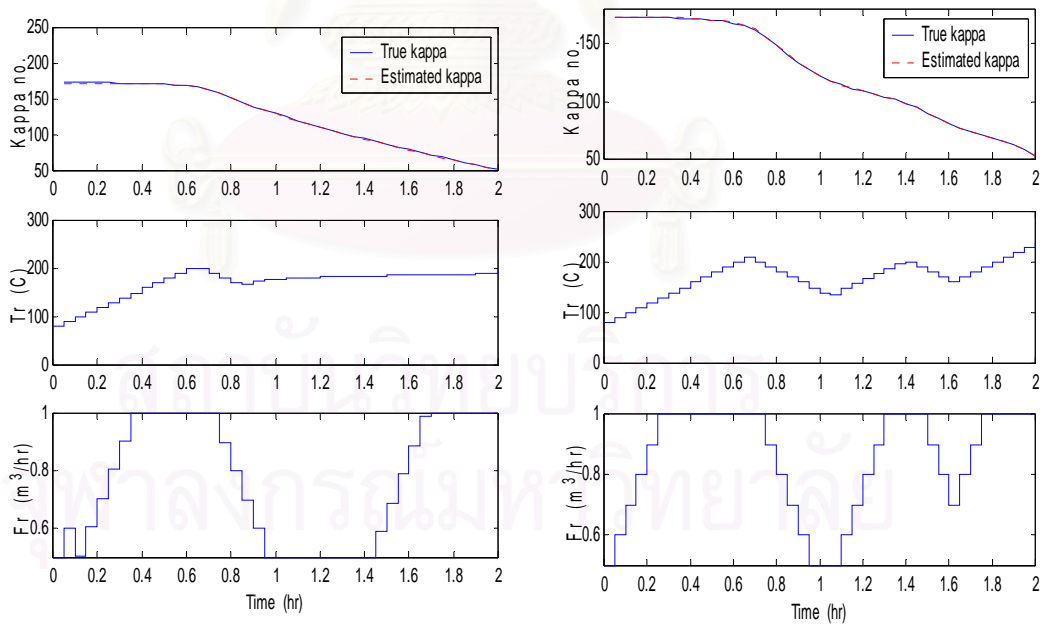
รูปที่ 6.29 ผลการควบคุมเมื่อค่าพลังงานกระตุ้นที่ 1 ขององค์ประกอบที่ 3 ( $E_{13}$ ) เปลี่ยนแปลงไป -50%



FIMC

PI

รูปที่ 6.30 ผลการควบคุมเมื่อค่าพลังงานกระตุ้นที่ 1 ขององค์ประกอบที่ 4 ( $E_{14}$ ) เปลี่ยนแปลงไป +50%

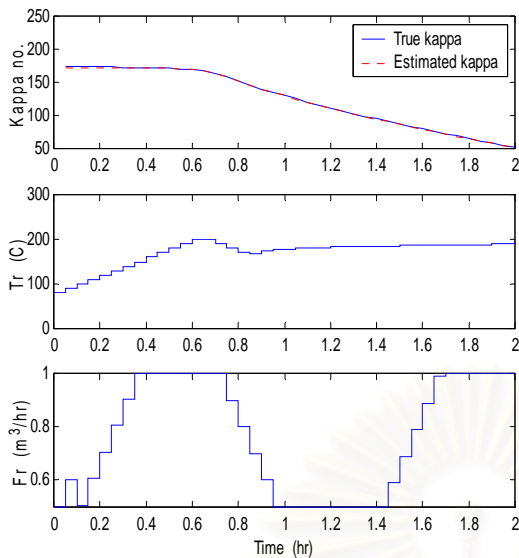


FIMC

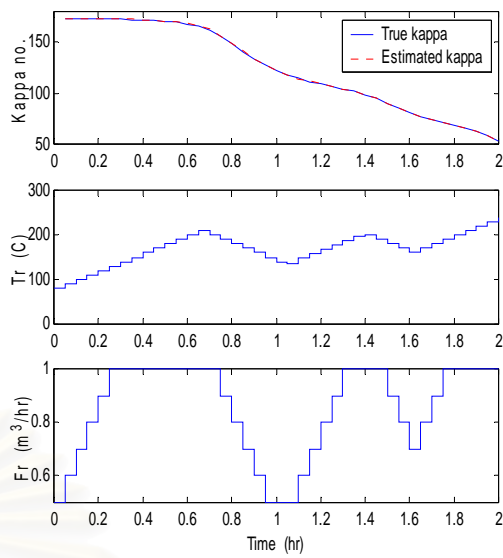
PI

รูปที่ 6.31 ผลการควบคุมเมื่อค่าพลังงานกระตุ้นที่ 1 ขององค์ประกอบที่ 4 ( $E_{14}$ ) เปลี่ยนแปลงไป -50%



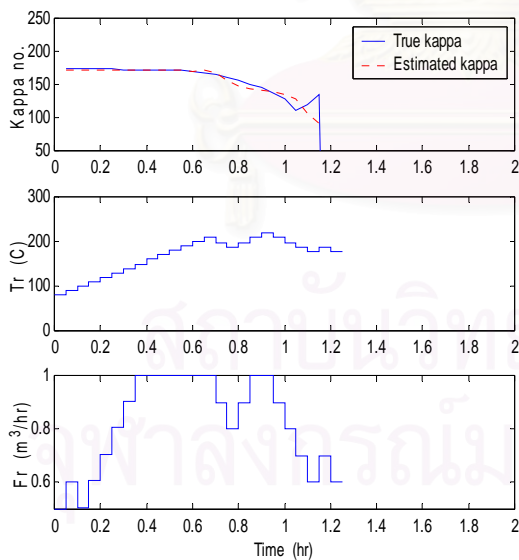


FIMC

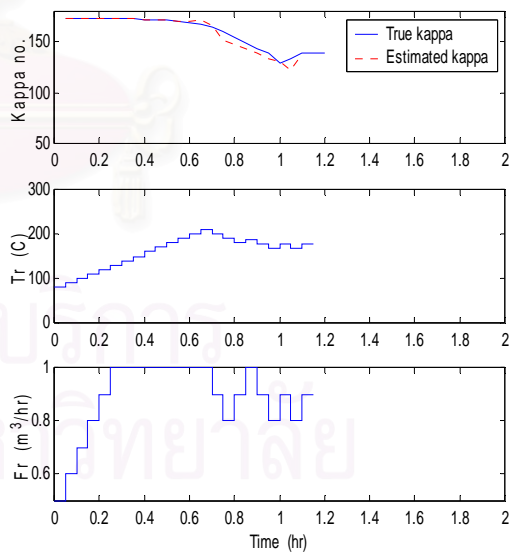


PI

รูปที่ 6.32 ผลการควบคุมเมื่อค่าพลังงานกระตุ้นที่ 1 ขององค์ประกอบที่ 5 ( $E_{15}$ ) เปลี่ยนแปลงไป +50%

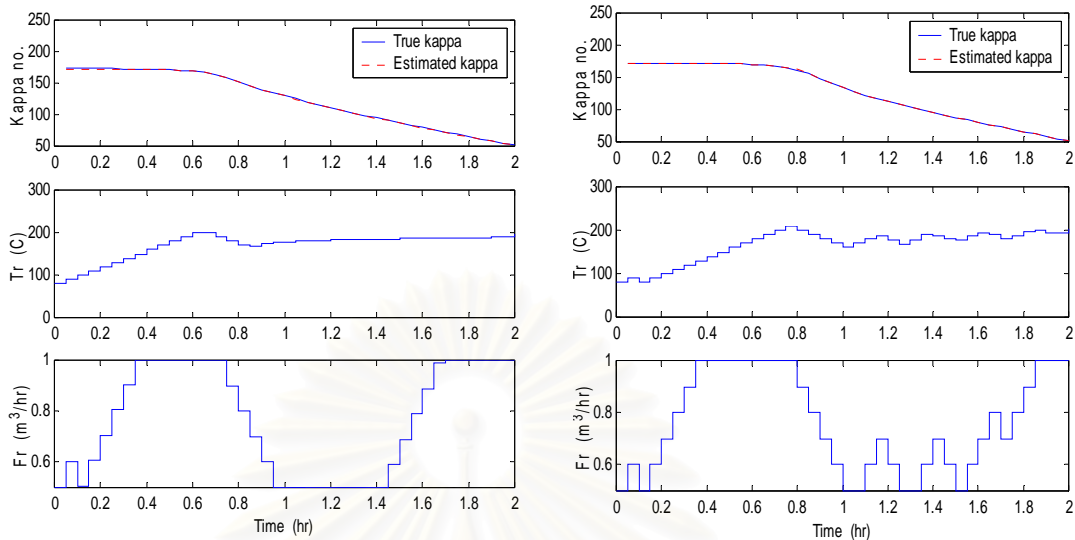


FIMC



PI

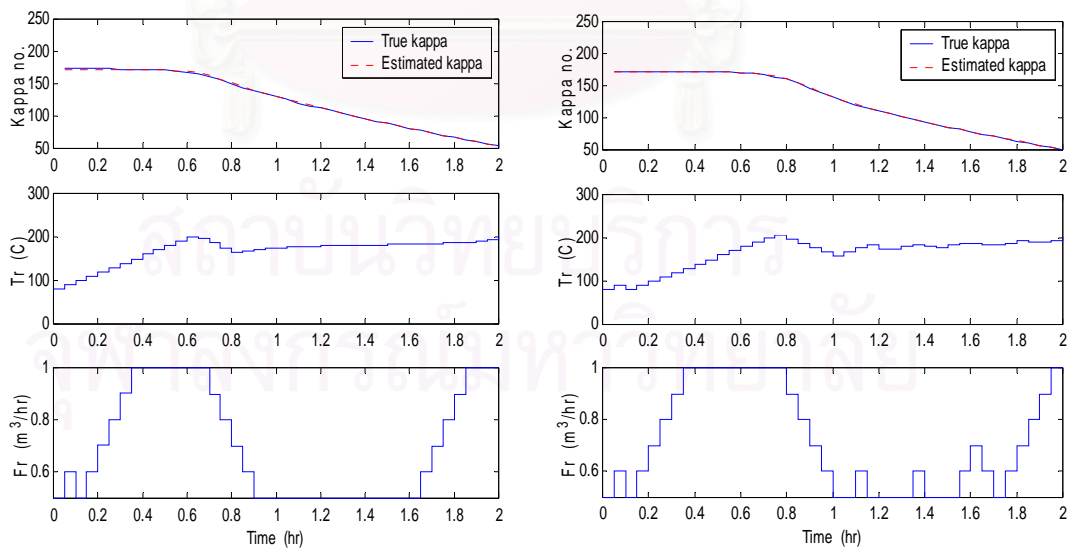
รูปที่ 6.33 ผลการควบคุมเมื่อค่าพลังงานกระตุ้นที่ 1 ขององค์ประกอบที่ 5 ( $E_{15}$ ) เปลี่ยนแปลงไป -50%



FIMC

PI

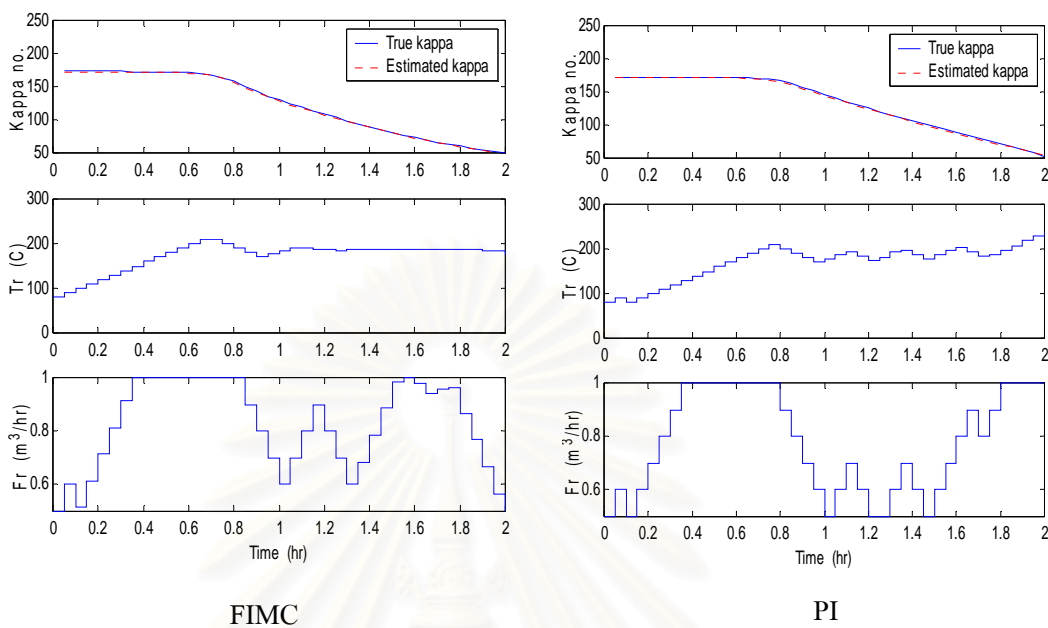
รูปที่ 6.34 ผลการควบคุมเมื่อค่าพลังงานกระตุ้นที่ 2 ขององค์ประกอบที่ 1 ( $E_{21}$ ) เปลี่ยนแปลงไป +50%



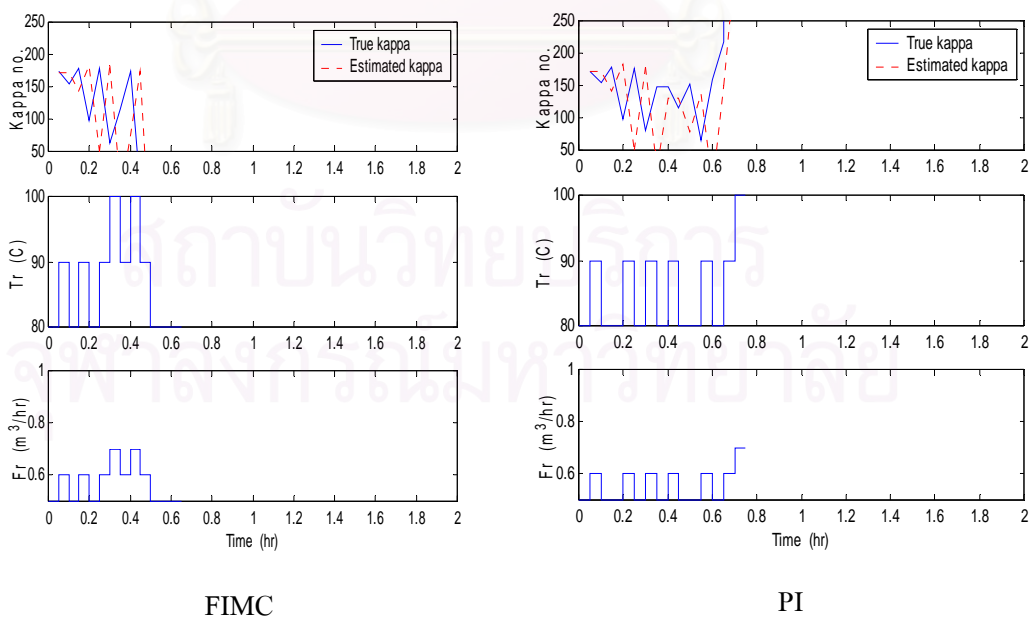
FIMC

PI

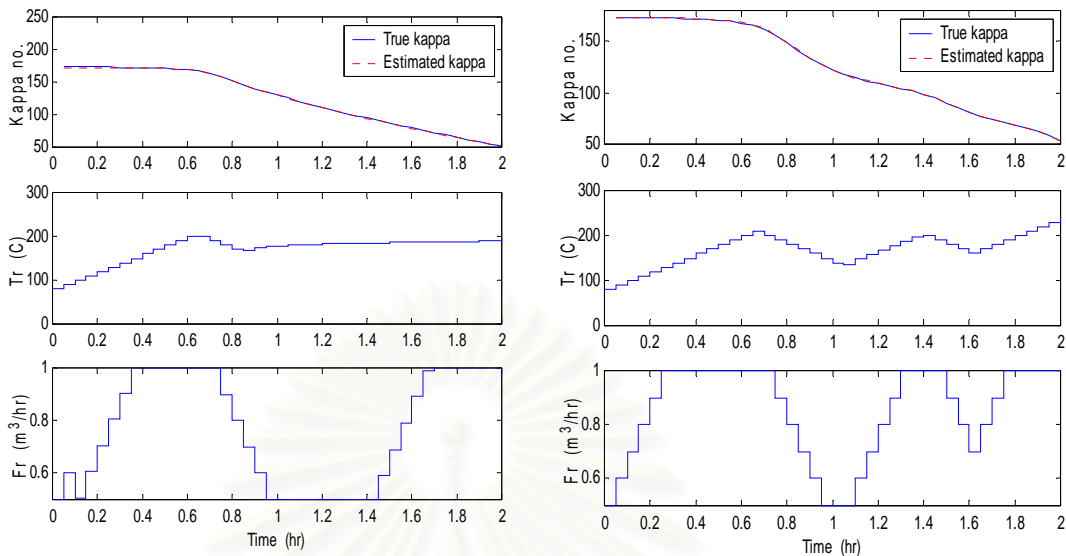
รูปที่ 6.35 ผลการควบคุมเมื่อค่าพลังงานกระตุ้นที่ 2 ขององค์ประกอบที่ 1 ( $E_{21}$ ) เปลี่ยนแปลงไป -50%



รูปที่ 6.36 ผลการควบคุมเมื่อค่าพลังงานกระตุ้นที่ 2 ขององค์ประกอบที่ 2 ( $E_{22}$ ) เปลี่ยนแปลงไป +50%



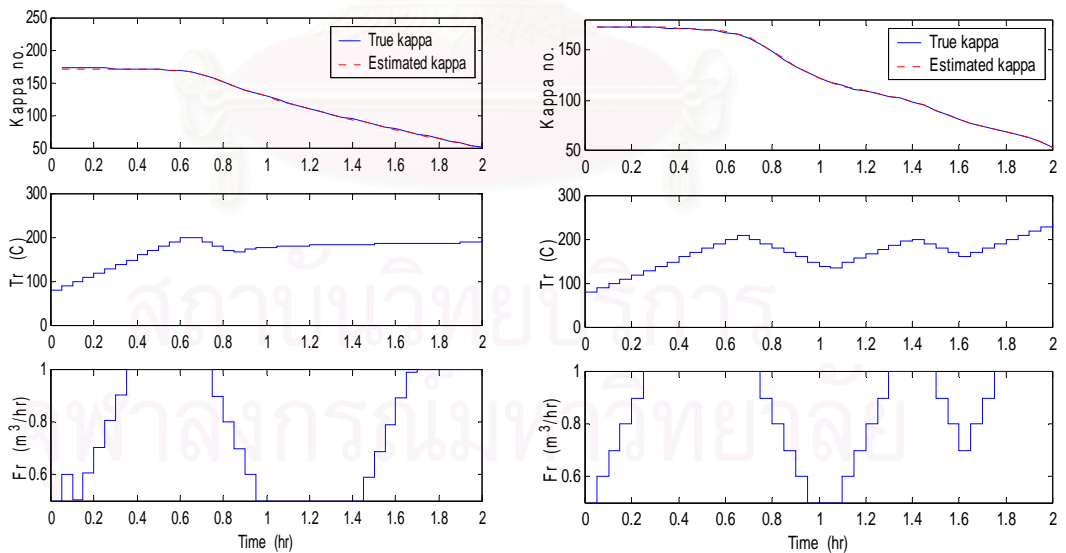
รูปที่ 6.37 ผลการควบคุมเมื่อค่าพลังงานกระตุ้นที่ 2 ขององค์ประกอบที่ 2 ( $E_{22}$ ) เปลี่ยนแปลงไป -50%



FIMC

PI

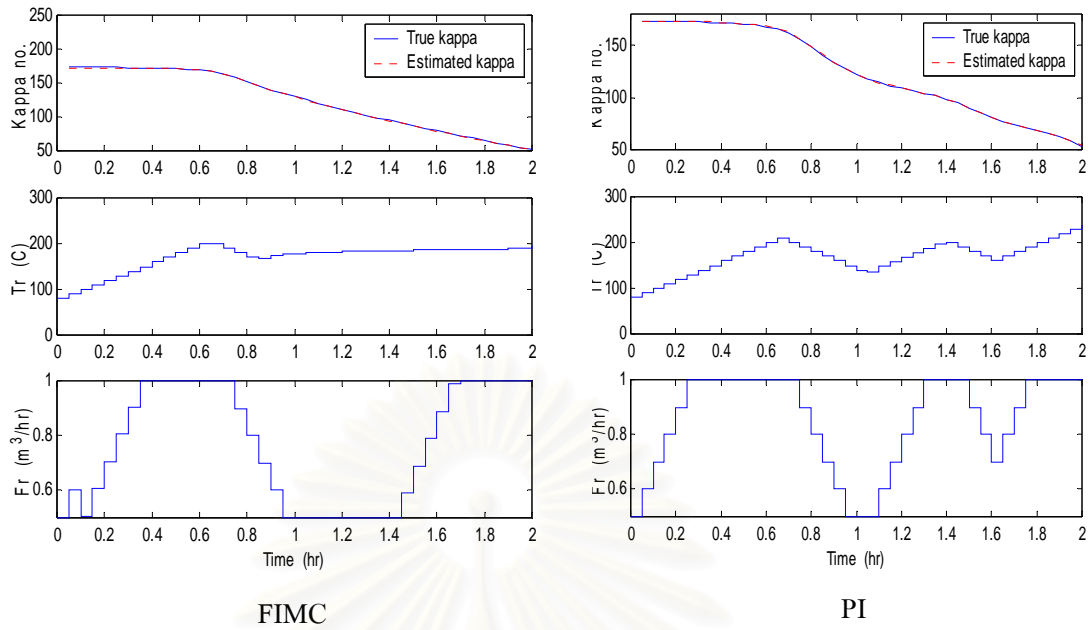
รูปที่ 6.38 ผลการควบคุมเมื่อค่าพลังงานกระตุ้นที่ 2 ขององค์ประกอบที่ 3 ( $E_{23}$ ) เปลี่ยนแปลงไป +50%



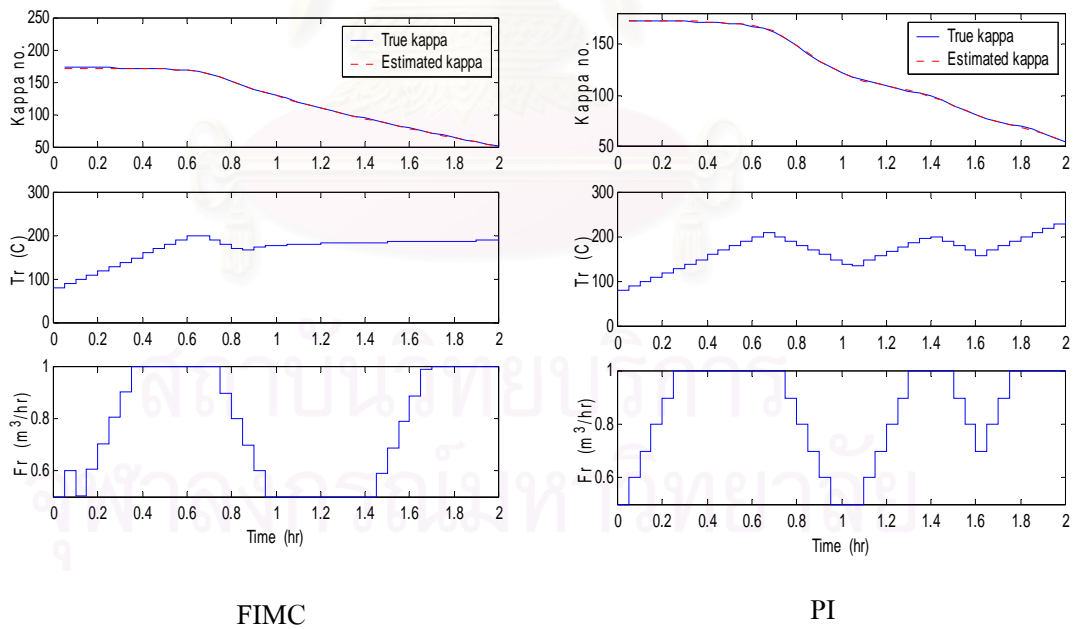
FIMC

PI

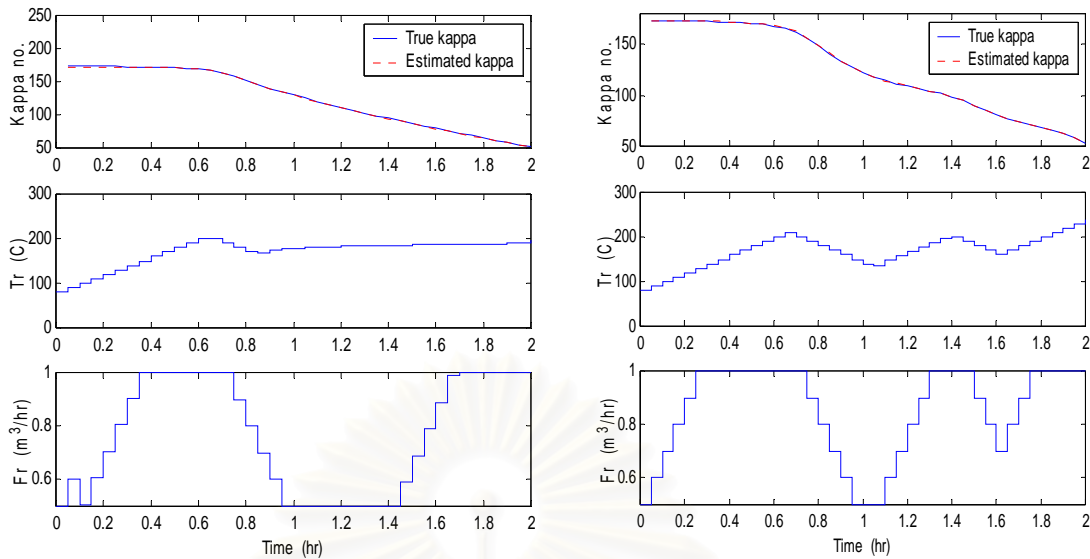
รูปที่ 6.39 ผลการควบคุมเมื่อค่าพลังงานกระตุ้นที่ 2 ขององค์ประกอบที่ 3 ( $E_{23}$ ) เปลี่ยนแปลงไป -50%



รูปที่ 6.40 ผลการควบคุมเมื่อค่าพลังงานกระตุ้นที่ 2 ขององค์ประกอบที่ 4 ( $E_{24}$ ) เปลี่ยนแปลงไป +50%



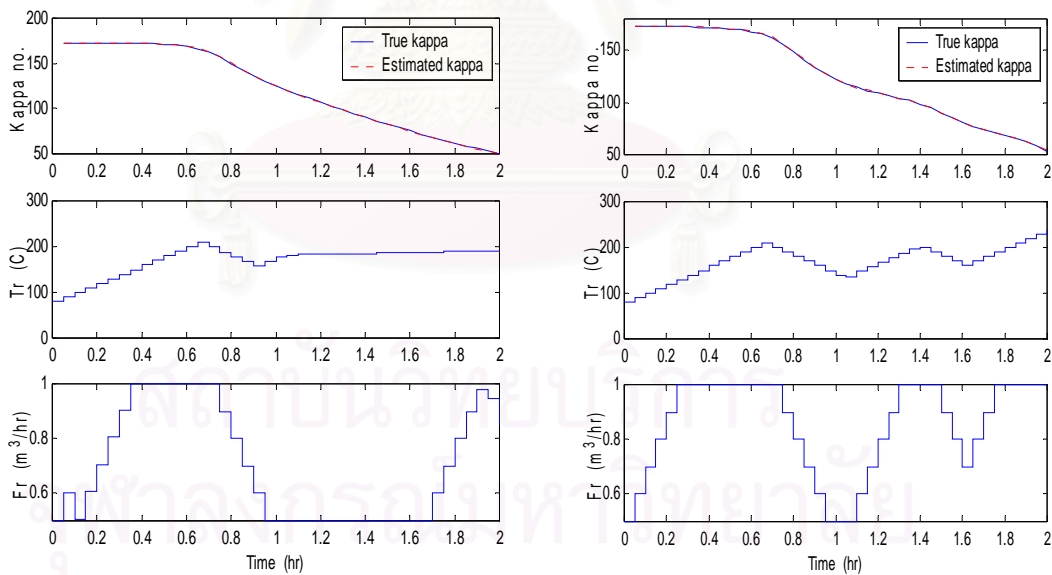
รูปที่ 6.41 ผลการควบคุมเมื่อค่าพลังงานกระตุ้นที่ 2 ขององค์ประกอบที่ 4 ( $E_{24}$ ) เปลี่ยนแปลงไป -50%



FIMC

PI

รูปที่ 6.42 ผลการควบคุมเมื่อค่าพลังงานกระตุ้นที่ 2 ขององค์ประกอบที่ 5 ( $E_{25}$ ) เปลี่ยนแปลงไป +50%

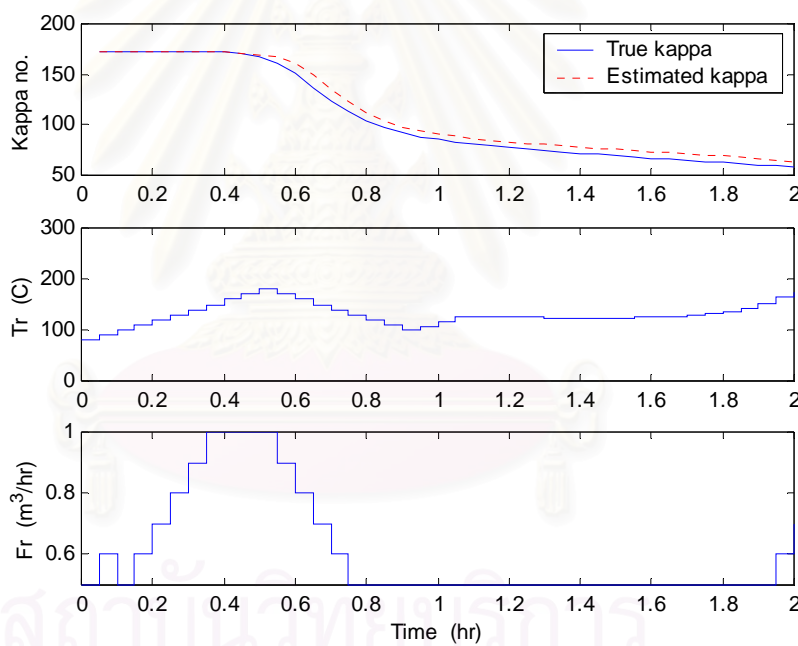


FIMC

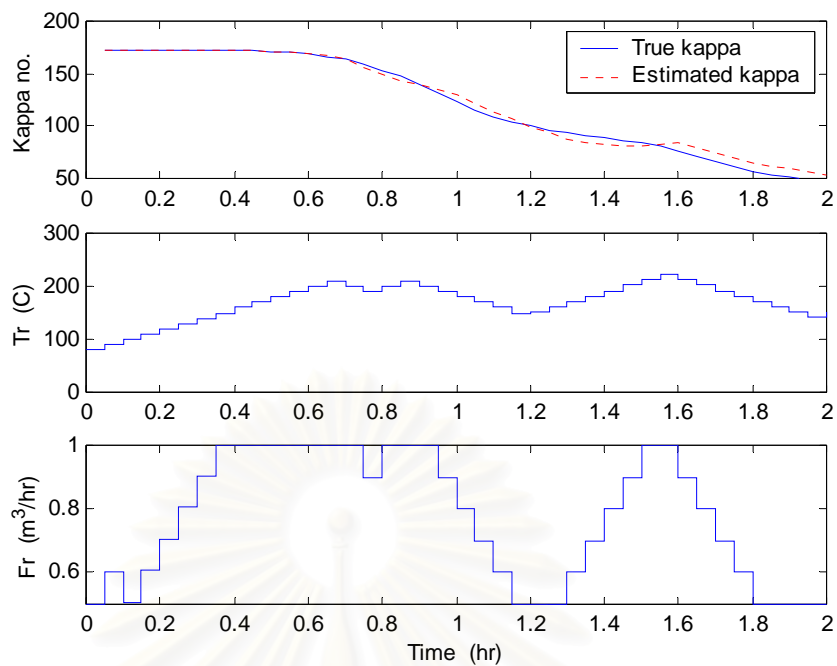
PI

รูปที่ 6.43 ผลการควบคุมเมื่อค่าพลังงานกระตุ้นที่ 2 ขององค์ประกอบที่ 5 ( $E_{25}$ ) เปลี่ยนแปลงไป -50%

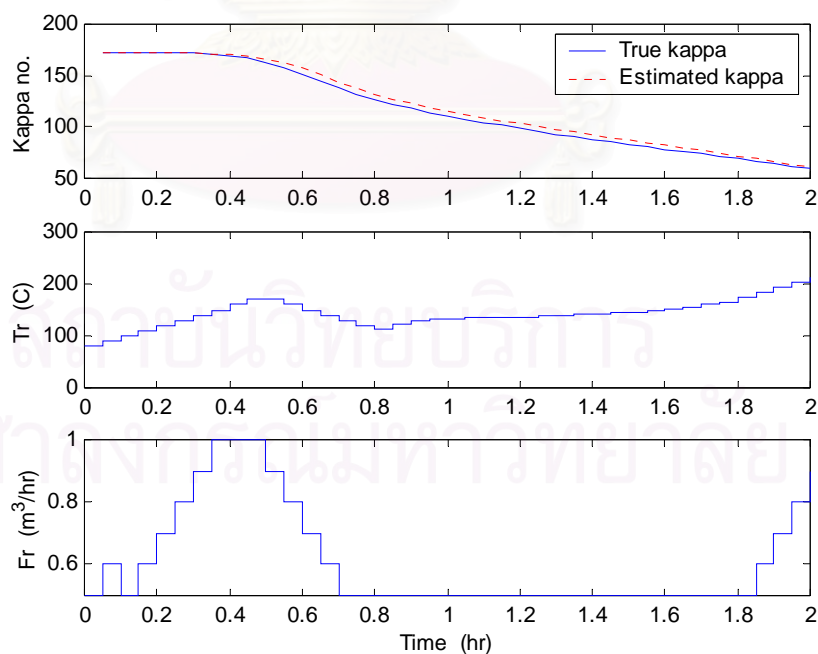
จากรูปที่ 6.24 – 6.43 แสดงผลการเปลี่ยนแปลงค่าพารามิเตอร์ไปมากที่สุดเท่าที่จะเป็นไปได้ พบว่าเมื่อค่าพารามิเตอร์มีความผิดพลาดไปจากเดิมแล้วมีผลน้อยมากหรือไม่มีผลต่อการควบคุม กล่าวอีกนัยหนึ่งคือ ตัวควบคุมพีชซีมีความทนทานต่อความผิดพลาดของแบบจำลองหรือมีสมรรถนะที่ดี ยกเว้นในกรณีที่ว่า  $E_{12}$ ,  $E_{15}$  และ  $E_{22}$  ผิดพลาดไป -50% ทั้งนี้เนื่องจากเมื่อค่าพลังงานกระตุ้นทั้ง 3 ตัวนี้ลดลงส่งผลให้อัตราการเกิดปฏิกิริยาขององค์ประกอบนั้นเกิดเร็วขึ้นดังสมการที่ (5.5) – (5.7) ส่งผลให้มีการใช้สารละลาย NaOH หกก่อนเวลาที่กำหนด ดังนั้นจึงทำการทดสอบหาความผิดพลาดที่มากที่สุดของพารามิเตอร์ 3 ตัวนี้ที่ตัวควบคุม FIMC ยังสามารถควบคุมได้ พบว่าค่า  $E_{12}$  ผิดพลาดไป -10%  $E_{15}$  ผิดพลาดไป -40% และ  $E_{22}$  ผิดพลาดไป -15% เป็นค่าที่มากที่สุดที่สามารถควบคุมได้ แสดงผลดังรูปที่ 6.44 – 6.46



รูปที่ 6.44 ผลการควบคุมเมื่อค่าพลังงานกระตุ้นที่ 1 ขององค์ประกอบที่ 2 ( $E_{12}$ ) เปลี่ยนแปลงไป -10%



รูปที่ 6.45 ผลการควบคุมเมื่อค่าพลังงานกระตุ้นที่ 1 ขององค์ประกอบที่ 5 ( $E_{15}$ ) เปลี่ยนแปลงไป -40%



รูปที่ 6.46 ผลการควบคุมเมื่อค่าพลังงานกระตุ้นที่ 2 ขององค์ประกอบที่ 2 ( $E_{22}$ ) เปลี่ยนแปลงไป -15%



## 6.5 วิเคราะห์และสรุปผลงานวิจัย

### 6.5.1 การสร้างแบบจำลองพีชชี

งานวิจัยนี้ประกอบด้วยแบบจำลองพีชชี 2 ชุด ชุดแรกเป็นแบบจำลองพีชชีของกระบวนการ ชุดที่สองเป็นตัวประมาณค่าแคปปา ซึ่งแบบจำลองพีชชีทั้งสองใช้ชุดข้อมูลในการสร้างแบบจำลองที่ต่างกัน ชุดข้อมูลในการสร้างแบบจำลองพีชชีของกระบวนการ คือ  $Z = [L(k-1) \ T(k) \ Tr(k) \ Fr(k) \ L(k)]$  หลังจากทำการระบุนหาโครงสร้างและพารามิเตอร์ของแบบจำลองพีชชีโดยวิธีการคลัสเตอร์ริงและลีสท์สแควร์ตามลำดับ ได้จำนวนกฎที่เหมาะสมเท่ากับ 6 กฎ ทำการทดสอบแบบจำลองพีชชีของกระบวนการที่ได้ ให้ค่า RMS เท่ากับ 0.0840 และเมื่อทำการเปลี่ยนชนิดไม้ พบว่าไม่ส่งผลต่อแบบจำลองพีชชีที่ได้ สำหรับชุดข้อมูลในการสร้างแบบจำลองพีชชีของตัวประมาณค่า คือ  $Z = [L(k-1) \ T(k) \ Cf3(k) \ L(k)]$  หลังจากทำการระบุนหาโครงสร้างและพารามิเตอร์ ได้จำนวนกฎที่เหมาะสมทั้งหมด 7 กฎ ทำการทดสอบแบบจำลองพีชชีของตัวประมาณค่าที่ได้ ให้ค่า RMS เท่ากับ 0.1700 สามารถสรุปได้ว่าแบบจำลองพีชชีที่ได้สามารถทำนายค่าได้ดีและความคลาดเคลื่อนเพียงเล็กน้อยที่เกิดขึ้นนี้จะถูกกำจัดไปในโครงสร้างของ IMC

### 6.5.2 การควบคุมด้วยตัวควบคุมพีชชีแบบอาศัยแบบจำลอง

ตัวควบคุมพีชชีแบบอาศัยแบบจำลองในงานวิจัยนี้ ถูกออกแบบในลักษณะของการควบคุมแบบใช้แบบจำลองภายใน ซึ่งแบบจำลองที่อยู่ภายในเป็นแบบจำลองพีชชีของกระบวนการและตัวควบคุมพีชชีได้จากการผกผันแบบจำลองพีชชีของกระบวนการนี้ โดยอินพุตที่เข้าตัวควบคุมพีชชี คือความแตกต่างระหว่างค่าแคปปาอ้างอิงกับค่าความคลาดเคลื่อนของแบบจำลอง ส่วนเอาต์พุตที่ออกจากตัวควบคุมพีชชี คือ อุณหภูมิและอัตราการไหลของสายหมุนเวียน ในกรณีที่ใช้สารป้อนตัวอย่าง พบว่าตัวควบคุม FIMC และตัวประมาณค่าพีชชีสามารถทำงานได้อย่างมีประสิทธิภาพคือ สามารถควบคุมค่าแคปปาให้เข้าสู่ค่าเป้าหมายได้ในเวลาที่กำหนดและประมาณค่าได้อย่างแม่นยำ และเมื่อเปรียบเทียบกับ การควบคุม PI ซึ่งใช้ร่วมกับตัวประมาณค่าพีชชีเช่นเดียวกัน สรุปได้ว่าตัวควบคุม FIMC ให้ผลการควบคุมที่ดีกว่า

### 6.5.3 การทดสอบตัวควบคุมและตัวประมาณค่าพีชชี

ผลการทดสอบในกรณีต่างๆ สามารถสรุปได้ดังตารางที่ 6.6 และ 6.7

ตารางที่ 6.6 ผลการควบคุมเมื่อมีการเปลี่ยนแปลงสารป้อน

กรณี	ความคลาดเคลื่อนของค่าแคปจากค่าเป้าหมาย		ความคลาดเคลื่อนของการประมาณค่า (IAE)	
	FIMC	PI	FIMC	PI
ตัวอย่าง	0.0091	2.9783	0.3730	0.3465
1	0.1052	0.5374	11.4294	12.0179
2	0.8928	1.2620	5.9340	5.4932
3	2.4060	8.6016	6.9833	5.1290
4	10.0383	20.3635	5.0007	5.1465
Noise	0.8704	27.8713	5.5949	9.0794

จากตารางที่ 6.6 จะเห็นว่าตัวควบคุม FIMC สามารถควบคุมค่าแคปไปให้เข้าใกล้ค่าเป้าหมายได้ถึงแม้จะมีการเปลี่ยนชนิดไม้ (กรณีที่ 1 และ 2) สำหรับการประมาณค่าในกรณีนี้มีความคลาดเคลื่อนในช่วงแรกจึงทำให้ค่า IAE มาก แต่ก็สามารถเข้าสู่ค่าจริงได้ และผลการควบคุมเกิดออฟเซตเมื่อความเข้มข้นของสารละลายเปลี่ยนไป (กรณีที่ 3 และ 4) เนื่องจากเกิดความคลาดเคลื่อนของแบบจำลองพีชชีที่ใช้เป็นตัวประมาณค่า ตัวควบคุม FIMC ยังให้ผลการควบคุมที่ดีในกรณีที่มีสัญญาณรบกวนจากการวัด นอกจากนี้ยังให้สมรรถนะในการควบคุมที่ดีกว่าตัวควบคุม PI สังเกตได้จากค่า Error ที่น้อยกว่า

จากตารางที่ 6.7 จะเห็นว่าตัวควบคุม FIMC ยังสามารถควบคุมค่าแคปได้ดีเมื่อมีค่าพารามิเตอร์ผิดพลาด ยกเว้นกรณี  $E_{12}$ ,  $E_{15}$  และ  $E_{22}$  ผิดพลาดไป  $-50\%$  ถึงอย่างไรก็ตาม ตัวควบคุม FIMC ยังสามารถควบคุมค่าแคปไปให้ถึงค่าเป้าหมายได้เมื่อค่าพารามิเตอร์ทั้ง 3 ตัวนี้ผิดพลาดไป  $-10\%$ ,  $-40\%$  และ  $-15\%$  ตามลำดับ จึงถือได้ว่าตัวควบคุม FIMC มีความทนทานต่อความผิดพลาดของพารามิเตอร์ของกระบวนการ

ตารางที่ 6.7 ผลการควบคุมเมื่อค่าพารามิเตอร์ของแบบจำลองผิดพลาด

กรณี	ความคลาดเคลื่อนของค่าแคปจากค่าเป้าหมาย		ความคลาดเคลื่อนของการประมาณค่า (IAE)	
	FIMC	PI	FIMC	PI
E11 +50%	1.2113	1.2270	1.5718	1.3527
E11 -50%	2.9944	-0.7689	2.0906	2.1423
E12 +50%	-0.5563	14.3511	8.2876	8.3945
E12 -50%	-	-	-	-
E13 +50%	-0.0096	2.9642	0.3948	0.3463
E13 -50%	0.0092	2.9765	0.3730	0.3458
E14 +50%	0.0097	2.9568	0.3947	0.3462
E14 -50%	0.0097	3.1658	0.3733	0.3569
E15 +50%	-0.0099	2.9558	0.3948	0.3461
E15 -50%	-	-	-	-
E21 +50%	-0.0093	2.9785	0.3949	0.3465
E21 -50%	1.3082	1.4806	0.7098	0.7940
E22 +50%	-0.7539	5.6523	1.8906	1.7936
E22 -50%	-	-	-	-
E23 +50%	-0.0095	2.9693	0.3948	0.3463
E23 -50%	0.0097	2.9568	0.3730	0.3465
E24 +50%	1.2701	3.0729	0.3735	0.3479
E24 -50%	1.2763	3.5873	0.3760	0.3569
E25 +50%	1.2738	2.9680	0.3730	0.3463
E25 -50%	-0.0089	3.0002	0.3950	0.3468

จากผลการทดลองสามารถสรุปได้ว่าตัวควบคุมฟัซซีแบบอาศัยแบบจำลองภายในมีสมรรถนะในการควบคุมที่ดี สามารถควบคุมค่าแคปไปให้เข้าใกล้ค่าที่ต้องการได้ในเวลาที่กำหนด สามารถจัดการกับสัญญาณรบกวนจากการวัดได้ และยังมีความทนทานต่อความผิดพลาดของพารามิเตอร์ในระดับหนึ่ง นอกจากนี้ตัวควบคุม FIMC ยังมีสมรรถนะในการควบคุมที่ดีกว่าตัวควบคุม PI เนื่องจากตัวควบคุม FIMC มีการปรับของตัวแปรปรับน้อยกว่า อีกทั้งตัวควบคุม PI ยังต้องใช้เวลามากในการปรับจูนค่าพารามิเตอร์ในการควบคุม

นอกจากจะสามารถประยุกต์ใช้แบบจำลองฟัซซีในการควบคุมได้อย่างมีประสิทธิภาพแล้ว ยังสามารถใช้แบบจำลองฟัซซีในการประมาณค่าได้อย่างแม่นยำ

## 6.5 ข้อเสนอแนะ

- 6.6.1 การระบุหาแบบจำลองฟิชชี ควรมีการประยุกต์ใช้เทคนิคการปรับค่าฟังก์ชันสมาชิก และค่าพารามิเตอร์ของกฎ เพื่อความถูกต้องแม่นยำยิ่งขึ้น
- 6.6.2 ข้อมูลอินพุต-เอาต์พุตของกระบวนการที่นำมาใช้ในการสร้างแบบจำลองฟิชชีมีความสำคัญอย่างมาก ซึ่งมีผลต่อความสามารถในการระบุหาและการทำนายค่าของแบบจำลองฟิชชี ดังนั้นจึงควรเลือกข้อมูลที่ครอบคลุมการเปลี่ยนแปลงบริเวณที่ต้องการระบุหาแบบจำลอง
- 6.6.3 แบบจำลองฟิชชีเหมาะสำหรับการนำมาใช้ในการจำลองกระบวนการที่มีความซับซ้อนนอกจากนี้ยังสามารถใช้ในการประมาณค่าตัวแปรที่ไม่สามารถวัดค่าได้
- 6.6.4 เมื่อค่าพารามิเตอร์บางตัวของแบบจำลองทางคณิตศาสตร์ผิดพลาดส่งผลให้ไม่สามารถควบคุมได้ ดังนั้นจึงควรมีการประมาณค่าพารามิเตอร์เพื่อความถูกต้องแม่นยำและเพื่อสมรรถนะในการควบคุมที่ดีขึ้น
- 6.6.5 ควรมีการทดลองเพื่อหาความเข้มข้นของสารละลาย NaOH และ Na<sub>2</sub>S ที่เหมาะสมต่อไม้ชนิดต่างๆ

## รายการอ้างอิง

### ภาษาไทย

- ทัศนีย์ วัฒนเขาวนัฟิสุทธิ. การพัฒนาตัวควบคุมกระบวนการฟัซซีแบบฐานแบบจำลองสำหรับเครื่องปฏิกรณ์เคมีแบบถังกวนต่อเนื่อง. วิทยานิพนธ์ปริญญาโทมหาบัณฑิต ภาควิชาวิศวกรรมเคมี บัณฑิตวิทยาลัย จุฬาลงกรณ์มหาวิทยาลัย, 2541.
- นฤพนธ์ มัญญณี. ตัวควบคุมกระบวนการแบบฟัซซีลอจิก. วิทยานิพนธ์ปริญญาโทมหาบัณฑิต ภาควิชาวิศวกรรมเคมี บัณฑิตวิทยาลัย จุฬาลงกรณ์มหาวิทยาลัย, 2538.
- ไพศาล กิตติสุขกร. การควบคุมกระบวนการอัตโนมัติขั้นสูง. เอกสารประกอบการสอน ปรับปรุงครั้งที่ 3. ภาควิชาวิศวกรรมเคมี จุฬาลงกรณ์มหาวิทยาลัย, ธันวาคม 2542
- รุ่งจิตรี กาญจนวัฒน์. การพัฒนาแบบจำลองฟัซซีของกระบวนการโดยวิธีคลัสเตอร์และการออกแบบตัวควบคุมฟัซซีลอจิก. วิทยานิพนธ์ปริญญาโทมหาบัณฑิต ภาควิชาวิศวกรรมเคมี บัณฑิตวิทยาลัย จุฬาลงกรณ์มหาวิทยาลัย, 2541.
- สุวลัย กลั่นความดี. โปรแกรมพัฒนาสำหรับตัวควบคุมแบบตรรกศาสตร์ฟัซซี. รายงานความก้าวหน้าครั้งที่ 1 ทุนโครงการสิ่งประดิษฐ์ประเภทโปรแกรมคอมพิวเตอร์ ภาควิชาวิศวกรรมไฟฟ้า จุฬาลงกรณ์มหาวิทยาลัย, 2540.

### ภาษาอังกฤษ

- Babuska, R., Roubos, J.A., Verburuggen, B. Identification of MIMO Systems by Input-output TS Fuzzy Models. *IEEE*. (1998) : 657-662.
- Babuska, R. Fuzzy Modeling: A Control Engineering Perspective. *IEEE*. (1995) :1897-1902.
- Babuska R., Verbruggen, H.B. An Overview of Fuzzy Modeling for Control. *Control Eng. Practice*. 4, 11(1996) : 1593-1606.
- Belarbi K., Bettou K., Mezaache A. Fuzzy Neural Networks for estimation and Fuzzy Controller Design: Simulation Study for a Pulp Batch Digester. *Journal of Process Control*. 10(2000) : 35-41.
- Christensen T., Smith C.C., Albright L.F., Williams T.J., Modelling of Batch Kraft Pulping and of Kamyrdigesters. *Pulp & Paper Canada* 85, 8 (1984).

- Cipriano, A., Saez, D., Ramos, M. Fuzzy Control on A Laboratory Environment. **IEEE**. (1995) : 500-505.
- Emami, M.R., Turksen, I.B., Goldenberg, A.A., An Improved Fuzzy Modeling Algorithm, Part II: System Identification. **IEEE**. (1996): 294-298.
- Fogler, S.H. **Elements of Chemical Reaction Engineering**. Second Edition, Prentice Hall International, (1992).
- Janos. A., Lajos, N., Ferenc, S. Takagi-Sugeno Fuzzy Control of Batch Polymerization Reactors. **IEEE International Conference on Intelligent Engineering Systems** (1997) : 251-255.
- Kim, E., Park, M., Ji, S., Park, M. A New approach to Fuzzy Modeling. **IEEE Trans. on Fuzzy Systems** 5, 3 (1997).
- Kroszynski, U. and Zhou, J. Fuzzy Clustering: Principles, Methods and Examples. **IKS**, (1998) :1-13.
- Kumar, A., Lee, J.H., Vanchinathan, S., Krishnagopalan, G.A. Model-Based Monitoring and Control of Batch Pulp Digester. **Proceedings of the American Control Conference** (1994) : 500-504.
- Lee, J. H., Datta, A.K. Nonlinear Inferential Control of Pulp Digesters. **AIChE Journal** 40,1(1994).
- Nomura, H., Hayashi, I., Wakami, N., A Learning Method of Fuzzy Inference Rules by Descent Method. **IEEE**. (1992) : 203-210.
- Ogunnaike, B.A., Ray, W. H. Process Dynamics, Modeling, and Control. **Oxford University Press. Inc.**, (1994).
- Paulonis, M.A. Adaptive Inferential Control of Kraft Batch Digesters as Based on Pulping Liquor Analysis. **Tappi Journal** (1991) :169-175.
- Postlethwaite, B. A Model-Based Fuzzy Controller. **Trans. IChemE** 72 1994.
- Roffel B., Chin P. A., Fuzzy Control of a Polymerization Reactor. **Hydrocarbon Processing** (1991) :47-49.
- Shabani, F., Prasad, N. R., Smolleck, H. A. State Estimation with Aid of Fuzzy Logic. **IEEE**, (1995).
- Sousa, J.M., Babuska R. and Verbruggen International Model Control with a Fuzzy Model: Application to an Air-Conditioning System. **FUZ-IEEE**. (1997).
- Tahani, V. and Shikholeslam, F. Stability Analysis and Design of Fuzzy Control Systems. **IEEE**. (1998) : 456-461.

- Takagi, T. and Sugeno, M. Fuzzy Identification of Systems and Its Applications to Modeling and Control. **IEEE Trans. on Syst. Man. and Cybern. SMC-15**, 1(1995) : 116-132.
- Taur, J.S., Tao, C.W. and Tsai, C.C. Temperature Control of a Plastic Extrusion Barrel Using PID International. **IEEE/IAS Conference on Industrial Automation and Control: Emerging Technologies** (1995).
- Vanchinathan, S. and Krishnagopalan, G.A. Dynamic Modeling of Kraft Pulping of Southern Pine Based on On-line Liqour Analysis. **Tappi. Journal** 80, 3 (1997).
- Yea, B., Osaki, T., Sugahara, K., Konishi, R., The Application of Fuzzy-Neural Network Algorithm on the Estimation of Inflammable Gas Concentration. **SICE**. (1997) : 941-946 .
- Zhao J., Wertz V., and Gorez R. A Fuzzy Clustering Method for the Identification of Fuzzy Models for Dynamic Systems. **IEEE International Symposium on Intelligent Control**. (1994).



สถาบันวิทยบริการ  
จุฬาลงกรณ์มหาวิทยาลัย



ภาคผนวก

สถาบันวิทยบริการ  
จุฬาลงกรณ์มหาวิทยาลัย



## ภาคผนวก ก.

### ทฤษฎีตรรกศาสตร์ฟัซซี

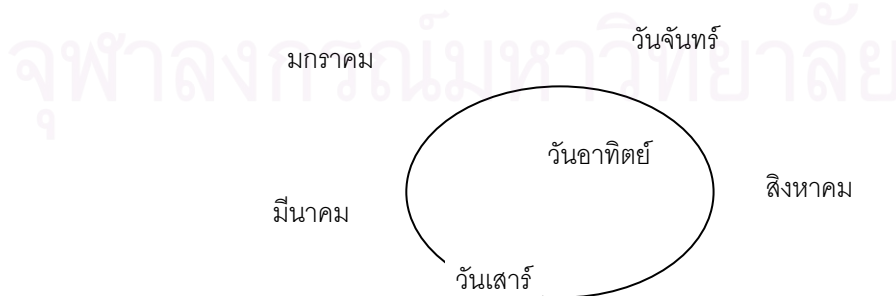
โดยหลักของตรรกศาสตร์ฟัซซีแล้ว ก็คือการแปลงสัญญาณจากขอบเขตสัญญาณขาเข้า ไปยังขอบเขตสัญญาณขาออกโดยมีกลไกในการทำ คือการใช้ประโยคเงื่อนไข (If-then) ซึ่งจะเรียกว่ากฎ และในแต่ละกฎจะประมวลโดยไม่ขึ้นแก่กัน ดังนั้นลำดับของกฎจึงไม่มีความสำคัญ

#### ก.1 เซตฟัซซี (Fuzzy set)

ตรรกศาสตร์ฟัซซี (ฟัซซีเกิดขึ้นจากหลักการของเซตฟัซซี ซึ่งเป็นเซตที่มีขอบเขตที่ไม่ชัดเจนของสมาชิกบางตัวไม่สามารถบอกได้ว่าอยู่ในเซตหรือไม่ แต่จะอยู่ในเซตเพียงบางส่วน หรือที่เรียกว่ามีค่าความเป็นสมาชิก (Degree of membership) เพียงบางส่วน เพื่อให้เกิดความเข้าใจยิ่งขึ้นจะยกตัวอย่างเซตฟัซซี เช่น เซตของวันในแต่ละสัปดาห์ดังรูปที่ ก.1 เซตนี้เป็นเซตที่มีขอบเขตที่ชัดเจน (Crisp set) กล่าวคือ จะไม่มีสมาชิกตัวใดที่เป็นวันในสัปดาห์และไม่เป็นวันในสัปดาห์พร้อมกัน



รูปที่ ก.1 แสดงเซตที่มีขอบเขตชัดเจนของวันในแต่ละสัปดาห์



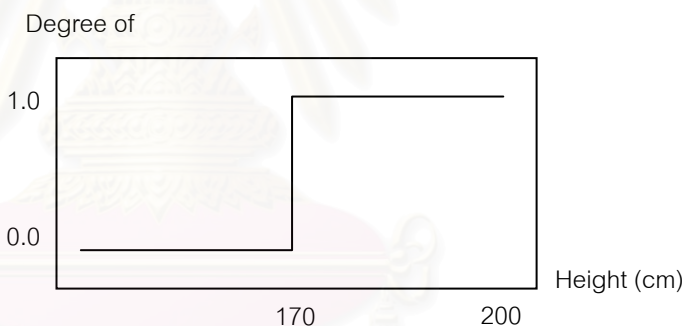
รูปที่ ก.2 แสดงเซตฟัซซีของวันวันหยุดในแต่ละสัปดาห์

จากสมาชิกกลุ่มเดิมถ้าจะกล่าวถึงเซตของวันหยุดในแต่ละสัปดาห์แล้วดังรูปที่ 2 จะเห็นว่า วันอาทิตย์เป็นวันหยุดในสัปดาห์ แต่วันเสาร์ “ รู้สึก ” ว่าเป็นส่วนหนึ่งของวันหยุดในสัปดาห์ แต่บางทีก็ไม่ใช่เสมอไป ดังนั้นจากรูปที่ ก.2 วันเสาร์จึงอยู่คร่อมระหว่างกลุ่มวันหยุดในสัปดาห์และไม่ใช่วันหยุดในสัปดาห์

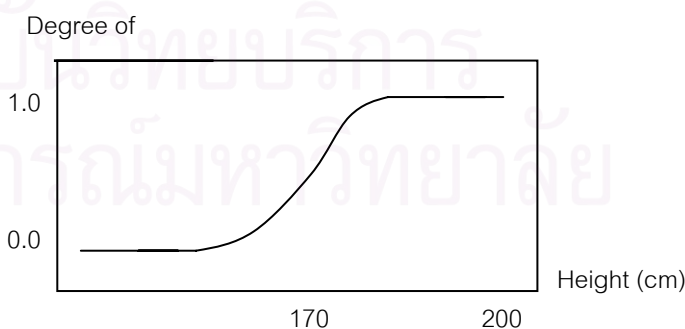
**ก.2 ฟังก์ชันสมาชิก (Membership function)**

ฟังก์ชันสมาชิกเป็นกราฟที่กำหนดการแปลงสัญญาณขาเข้าในแต่ละจุดของขอบเขตสัญญาณขาเข้า (Input space) ไปยังค่าความเป็นสมาชิกที่มีค่าอยู่ระหว่าง 0 ถึง 1

พิจารณาความสูงของคน โดยกำหนดให้คนที่มีความสูงจาก 170 ซม. จนถึง 200 ซม. ใช้คำว่า “ สูง ” แทนสมาชิกที่อยู่ในกลุ่มนี้ ถ้ากำหนดให้คนสูงเป็นเซตที่มีขอบเขตที่ชัดเจนสามารถเขียนฟังก์ชันสมาชิกได้ดังรูปที่ ก.3 (ก) แต่ถ้ากำหนดให้คนสูงเป็นเซตฟuzzyสามารถเขียนฟังก์ชันสมาชิกได้ดังรูปที่ ก.3 (ข)



(ก)



(ข)

รูปที่ ก.3 แสดงฟังก์ชันสมาชิกของเซตความสูงของคน

( ก ) เซตที่มีการกำหนดขอบเขตที่ชัดเจน

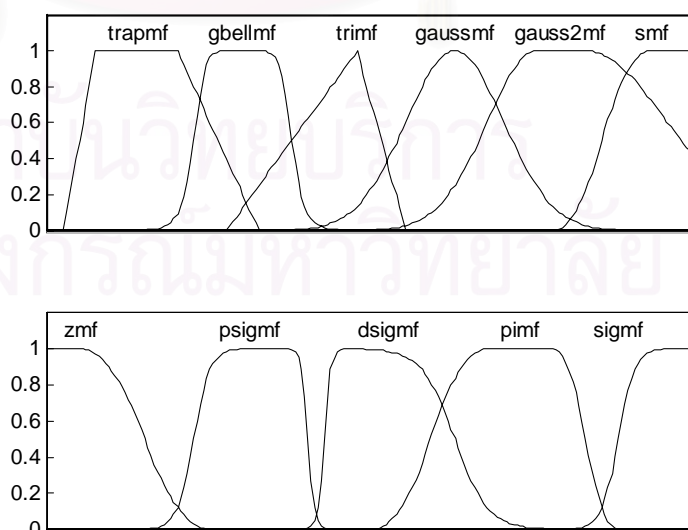
( ข ) เซตฟuzzy

จากรูปที่ ก.3(ก) มีฟังก์ชันสมาชิกแบบที่มีขอบเขตชัดเจน ซึ่งจะเห็นได้ว่าบุคคลหนึ่งจะจัดว่า " สูง " ก็ต่อเมื่ออยู่ในช่วงความสูง 170 ซม. จนถึง 200 ซม. เท่านั้น ถ้าหากมีความสูงเพียง 169.5 ซม. ก็จะถูกจัดว่า " ไม่สูง " ซึ่งในความเป็นจริงแล้วไม่อาจกล่าวได้ว่า คนหนึ่งสูงแต่อีกคนไม่สูง เพียงแค่ความสูงต่างกันแค่ปลายเส้นผมเท่านั้น

ดังนั้นจึงนิยามความสูงเป็นเซตฟัซซี ดังรูปที่ ก.3(ข) คือฟังก์ชันสมาชิกเป็นแบบต่อเนื่อง จะเห็นได้ว่าบุคคลหนึ่งจะเป็นสมาชิกทั้งสองกลุ่ม โดยที่มีค่าความเป็นสมาชิกของการเป็นสมาชิกในแต่ละกลุ่มต่างกัน คือคนที่สูง 170 ซม. มีค่าความเป็นสมาชิกในกลุ่มคนไม่สูง 0.5 และอยู่ในกลุ่มคนสูง 0.5 หรือ 50% นั่นเอง

ฟังก์ชันสมาชิกมีอยู่ด้วยกัน 11 แบบดังรูปที่ ก.4

1. Triangular membership function: *trimf*
2. Trapezoidal membership function: *trapmf*
3. Simple gaussian membership function: *gaussmf*
4. Two-sided composite of two different gaussian membership function: *gauss2mf*
5. Generalized bell membership function: *gbellmf*
6. Sigmoidal membership function: *sigmf*
7. Different between two sigmoidal membership function: *dsigmf*
8. Product of two sigmoidal membership function: *psigmf*
9. Z-shaped curve membership function: *zmf*
10. S-shaped curve membership function: *smf*
11. Pi-shaped curve membership function: *pimf*



รูปที่ ก.4 แสดงลักษณะฟังก์ชันสมาชิก

ฟังก์ชันสมาชิกแบบ Triangle เป็นที่นิยมนำมาใช้ในการคำนวณมากที่สุดเนื่องจากมีความสะดวกในการนิยามมากกว่าแบบอื่นและมีโครงสร้างที่ไม่ซับซ้อน เพียงแต่ระบุค่า 3 ค่าแรกเป็นจุดที่ฐานด้านซ้ายมีความเป็นสมาชิกเท่ากับ 0 ค่าที่สองเป็นจุดสูงสุดของฟังก์ชัน มีค่าความเป็นสมาชิกเท่ากับ 1 และค่าที่ 3 เป็นค่าที่อยู่ด้านซ้ายสุดของฟังก์ชัน มีค่าความเป็นสมาชิกเป็น 0 แสดงในรูปแบบของเซตเป็น  $A=(a_1, a_M, a_2)$  และสามารถเขียนเป็นฟังก์ชันดังนี้

$$Triangle(x, a, b, c) = \begin{cases} \frac{x - a_1}{a_M - a_1} & a_1 \leq x \leq a_M \\ \frac{x - a_2}{a_M - a_2} & a_M \leq x \leq a_2 \\ 0 & otherwise \end{cases} \quad (ก. 1)$$

โดยจุดสูงสุดของฟังก์ชันเท่ากับ 1 อยู่ที่  $(a_M, 1)$  โดยที่  $a_M \in (a_1, a_2)$  โดยถ้า  $a_M$  อยู่ที่จุดกึ่งกลางระหว่าง  $a_1$  และ  $a_2$  เราจะเรียกฟังก์ชันความเป็นสมานิชนั้นว่าฟังก์ชันสมาชิกสามเหลี่ยมด้านเท่า (Central fuzzy membership function)

นอกจากนี้ฟังก์ชันสมาชิกแบบ Trapezoid ก็นิยมใช้เช่นกันเนื่องจากมีสูตรที่ค่อนข้างง่ายซึ่งใช้พารามิเตอร์ 4 ตัวในการกำหนดฟังก์ชันความเป็นสมานิช ได้แก่  $\{a, b, c, d\}$  โดยที่  $(a < b \leq c < d)$  ดังสมการ

$$Trapezoid(x; a, b, c, d) = \begin{cases} \frac{x - a}{b - a} & a \leq x \leq b \\ 1 & b \leq x \leq c \\ \frac{d - x}{d - c} & c \leq x \leq d \\ 0 & otherwise \end{cases} \quad (ก. 2)$$

สำหรับบางระบบ บางครั้งการใช้ฟังก์ชัน Triangle และ Trapezoid ทำให้ได้ค่าความเป็นสมาชิกไม่ละเอียดพอเนื่องมาจากค่าที่เปลี่ยนแปลงอย่างไม่สม่ำเสมอในส่วนที่เป็นมุม จึงมีการใช้ฟังก์ชันความเป็นสมาชิกที่ให้ค่าความเป็นสมาชิกที่สม่ำเสมอมากกว่า โดยเป็นฟังก์ชันไม่เชิงเส้น เช่น Gaussian ซึ่งใช้พารามิเตอร์ 2 ตัว ในการกำหนดฟังก์ชันดังสมการ

$$Gaussian(x; c, \sigma) = \exp\left(-\frac{1}{2}\left(\frac{x-c}{\sigma}\right)^2\right) \quad (ก. 3)$$

ฟังก์ชัน Bell ใช้พารามิเตอร์ 3 ตัว ในการกำหนดรูปร่างความเป็นสมาชิกดังสมการ

$$Bell(x; a, b, c) = \frac{1}{1 + \left|\frac{x-c}{a}\right|^{2b}} \quad (ก. 4)$$

นอกจากนี้ ฟังก์ชันความเป็นสมาชิกแบบอื่นๆ ยังถูกออกแบบตามความเหมาะสมและความต้องการใช้งานในระบบต่างๆ

### ก.3 การดำเนินการทางตรรกศาสตร์ฟัซซี (Fuzzy logic operations)

เพื่อให้สอดคล้องกับการดำเนินการแบบปกติของเซตที่มีขอบเขตชัดเจน การอธิบายจะทำการเปรียบเทียบการดำเนินการทางเซตฟัซซีกับการดำเนินการแบบปกติ เซตฟัซซีก็มีการดำเนินการอินเตอร์เซกชัน (Intersection) ยูเนียน (Union) และ คอมพลีเมนต์ (Complement) เช่นเดียวกันกับเซตที่มีขอบเขตชัดเจน

อินเตอร์เซกชัน (Intersection) ถ้าเปรียบเทียบกับการดำเนินการทางตรรกแล้วเปรียบเสมือน “และ” (AND) การนิยามอินเตอร์เซกชันของเซตฟัซซี 2 เซต คือ ค่าที่น้อยที่สุดของทั้ง 2 เซต

A	B	Min (A,B)
0	0	0
0	1	0
1	0	0
1	1	1

ยูเนียน (Union) ถ้าเทียบกับการดำเนินการทางตรรกแล้ว เปรียบได้กับ “ หรือ ” (OR) การนิยามยูเนียนของเซตพีชชี 2 เซต คือค่าที่มากที่สุดของทั้ง 2 เซต

A	B	Max (A,B)
0	0	0
0	1	1
1	0	1
1	1	1

คอมพลิเมนต์ (Complement) ถ้าเทียบกับการดำเนินการทางตรรก คอมพลิเมนต์เปรียบได้กับ “ ไม่ ” (NOT) ถ้ากำหนดให้ A คือค่าความเป็นสมาชิกในเซตพีชชีแล้วจะได้ว่าคอมพลิเมนต์ของ A คือ  $1-A$

A	1-A
0	1
1	0

#### ก.4 ระบบการประมาณพีชชี (Fuzzy Inference Systems)

แบ่งออกเป็น 5 ขั้นตอนคือ การฟัซซีฟายสัญญาณขาเข้า การดำเนินการของเซตพีชชี การตีความหมายกฎ การรวมส่วนผลของแต่ละกฎเข้าด้วยกัน และการดีฟัซซีฟาย ตามลำดับ

##### ขั้นตอนที่ 1 การฟัซซีฟิเคชัน (Fuzzification)

ขั้นตอนนี้เป็นการแปลงค่าสัญญาณขาเข้าให้อยู่ในรูปเซตพีชชี โดยรับสัญญาณเข้าที่เป็นค่าที่อยู่ในเซตที่มีขอบเขตชัดเจน แล้วทำการหาค่าความเป็นสมาชิกของแต่ละเซตพีชชี โดยใช้ฟังก์ชันสมาชิกในการแปลงค่าที่อยู่ในเซตที่มีขอบเขตชัดเจนไปยังเซตพีชชี สัญญาณขาเข้าจะเป็นค่าที่มีขอบเขตและสัญญาณขาออกของขั้นตอนนี้เป็นค่าความเป็นสมาชิก มีค่าระหว่าง 0 ถึง 1 สังเกตได้ว่าในขั้นตอนนี้เป็นเพียงการแทนค่าฟังก์ชันเท่านั้นเอง

## ขั้นตอนที่ 2 การดำเนินการของเซตฟัซซี (Apply Fuzzy Operators)

ในขั้นตอนแรกได้ทำการฟัซซีฟิเคชันทำให้ทราบค่าความเป็นสมาชิกของแต่ละประพจน์ฟัซซีในส่วนเงื่อนไข ถ้าส่วนเงื่อนไขของกฎที่กำหนดมีประพจน์ฟัซซีมากกว่าหนึ่งประพจน์จะต้องมีการดำเนินการทางเซตของแต่ละประพจน์ สัญญาณาเข้าของขั้นตอนนี้เป็นค่าความเป็นสมาชิกที่ได้จากขั้นตอนที่ 1 ส่วนสัญญาณาออกเป็นค่าคงที่

จากที่กล่าวในหัวข้อการดำเนินการทางตรรกศาสตร์ฟัซซีนั้น ได้กล่าวถึงวิธีการที่จะใช้กับตัวดำเนินการ “ และ ” กับตัวดำเนินการ “ หรือ ” ซึ่งก็คือ Max และ Min ตามลำดับ แต่สำหรับขั้นตอนนี้ถ้ามีประพจน์ฟัซซี 2 ประพจน์ขึ้นไป จะใช้ตัวดำเนินการเป็น Max คือการเลือกค่าสูงสุดระหว่างค่าความเป็นสมาชิกของทุกประพจน์

## ขั้นตอนที่ 3 การตีความหมายกฎ (Apply Implication Method)

สัญญาณาเข้าในส่วนของการตีความหมายกฎเป็นค่าคงที่ที่ได้จากส่วนเงื่อนไขของกฎในขั้นตอนที่ 2 ส่วนสัญญาณาออกเป็นเซตฟัซซี วิธีการตีความหมายปกติที่ใช้กันคือการใช้ตัวดำเนินการ Min แต่ถ้ากฎถ้า-แล้วเป็นแบบ Takagi-Sugeno สัญญาณาออกของขั้นตอนนี้จะเป็นค่าคงที่ที่ได้จากสมการเชิงเส้นในส่วนผลสรุปและจะไม่มีขั้นตอนที่ 4 และ 5 เนื่องจากมีการวิธีการหาเอาท์พุทของแบบจำลองแบบ Takagi-Sugeno โดยเฉพาะ

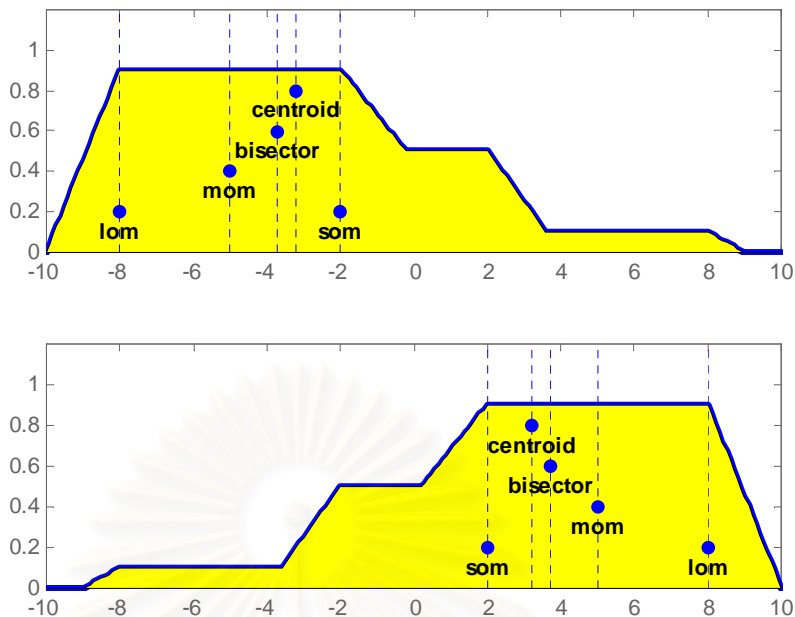
## ขั้นตอนที่ 4 การรวมส่วนผลของกฎ (Aggregate all Outputs)

จากผลการตีความหมายของกฎจะได้เซตฟัซซีของแต่ละกฎ นำมารวมกันให้เป็นเซตฟัซซีเพียงเซตเดียว เพื่อใช้ในการดีฟัซซีฟายซึ่งเป็นขั้นตอนต่อไป

## ขั้นตอนที่ 5 ดีฟัซซีฟิเคชัน (Defuzzification)

จากขั้นตอนที่ 4 หลังจากรวมเซตฟัซซีที่ได้จากแต่ละกฎแล้วจะได้เซตฟัซซีเพียงเซตเดียว เซตฟัซซีที่ได้นี้นำมาใช้ในการดีฟัซซีฟายซึ่งจะให้ค่าที่ชัดเจนแน่นอนออกมาค่าหนึ่ง

วิธีดีฟัซซีฟิเคชันมีให้เลือกด้วยกัน 5 วิธี ดังรูปที่ ก.5 โดยแกนตั้งแสดงค่าความเป็นสมาชิก แต่วิธีที่นิยมใช้กันเป็นวิธีหาจุดศูนย์กลาง คือการหาจุดศูนย์กลางของเซตฟัซซีที่ได้ ดังสมการที่ (ก. 5)



รูปที่ ก.5 แสดงวิธีการดีฟัซซิฟายด์

**การดีฟัซซิฟายด์แบบจุดศูนย์กลางถ่วง (Centroid)**

$$y = \frac{\sum_{i=1}^k (\mu_{y_i}) y_i}{\sum_{i=1}^k (\mu_{y_i})} \tag{ก. 5}$$

การดีฟัซซิฟายด์แบบไปเซ็คเตอร์ (Bisector) หมายถึงการแบ่งพื้นที่ใต้กราฟออกเป็น 2 ส่วนเท่าๆ กัน

การดีฟัซซิฟายด์แบบค่ากลางของค่าสูงสุด (Mom) หมายถึงค่าเฉลี่ยที่ได้จากพื้นที่ใต้กราฟของบริเวณที่มีค่าความเป็นสมาชิกสูงสุด

การดีฟัซซิฟายด์แบบค่าน้อยที่สุดของความเป็นสมาชิกสูงสุด (Som) หมายถึงค่าที่น้อยที่สุดที่ยังคงมีค่าความเป็นสมาชิกสูงสุด

การดีฟัซซิฟายด์แบบค่ามากที่สุดของความเป็นสมาชิกสูงสุด (Lom) หมายถึงค่าที่มากที่สุดที่ยังคงมีค่าความเป็นสมาชิกสูงสุด



## ภาคผนวก ข.

### ตัวอย่างโปรแกรมที่สำคัญ

#### ข.1 ตัวอย่างโปรแกรมการเลียนแบบกระบวนการด้วยย่อเยื่อกระดาษ

```
clear
clc

%Parameter
ss = 1e3;
E1=[ 6.45*ss,29.10*ss,17.55*ss,14.85*ss,22.05*ss ];
E2=[ 21.9*ss,12.35*ss,19.85*ss,17.45*ss,18.25*ss ];
A1=[ 19.41,4.16e12,445.12,108,7.05e5 ];
A2=[ 7e3,2.75e4,8.3e3,6e3,1.75e4 ];
S3=[ 0.166,0.166,0.395,0.395,0.395 ];
S4=[ 0.0546,0.0546,0,0,0 ];
Xu=[ 0,0,0.071,0.025,0 ];

R=1.9872;          CT=3;          Cp=0.36;          Frmin=0.5;          Cpl=1;
dt=0.005;          a=0.5;          b=0.5;          Frmax=1;
dH=102.8;          Mw=100;          A=105.75;          Trmin=353;
Ve=0.1175;          Vf=0.2325;          n=CT/dt;          Tmax=523;
M1=-0.07;          M2=2e-4;          Tsp=443;          Ksp=50;

%Initial Value
T(1)=353;
Ce1(1)=0;          Cfl(1)=1;          X1(1)=0.0528;  T(1)=353;
```

```

Ce2(1)=0;           Cf2(1)=2;           X2(1)=0.2112;
Ce3(1)=0;           Cf3(1)=47.6327;          X3(1)=0.4852;
Ce4(1)=0;           Cf4(1)=11.3535;          X4(1)=0.1428;
Ce5(1)=0;           Cf5(1)=1000;           X5(1)=0.0722;

```

```

%Uniform Random Inputs
Trs=(Trmax-Trmin)* rand(1,n+1)+Trmin;
Frs=(Frmax-Frmin)* rand(1,n+1)+Frmin;

%===== MAIN LOOP =====%
for t=1:1:n+1

Cf=[ Cf1(t),Cf2(t),Cf3(t),Cf4(t),Cf5(t) ];
Ce=[ Ce1(t),Ce2(t),Ce3(t),Ce4(t),Ce5(t) ];
X=[ X1(t),X2(t),X3(t),X4(t),X5(t) ];

lignin(t)=(X1(t)+X2(t))*100;
carb(t)=(X3(t)+X4(t)+X5(t))*100;

k1=A1.*exp(-E1/(R*T(t)));
k2=A2.*exp(-E2/(R*T(t)));
Ri=(-1)*(k1*Ce3(t)+k2*(Ce3(t)^a)*(Ce4(t)^b)).*(X-Xu);
RH=(-dH)*(-Ri);

SumRH=sum(RH);
SumT=sum(Cf*Cpl*(Trs(t)-T(t)));
Kt=(Mw*sum(Cp*X))+(Ve*sum(Cpl*Ce))+(Vf*sum(Cpl*Cf));

```

%Reactor temp Balance

$$T(t+1)=T(t)+(dt/Kt)*(Mw*SumRH+Frs(t)*SumT);$$

%Concentration in wood

$$X1(t+1)=X1(t)+dt*Ri(1);$$

$$X2(t+1)=X2(t)+dt*Ri(2);$$

$$X3(t+1)=X3(t)+dt*Ri(3);$$

$$X4(t+1)=X4(t)+dt*Ri(4);$$

$$X5(t+1)=X5(t)+dt*Ri(5);$$

%Mass transfer coefficient

$$Mi=M1+M2*T(t);$$

%Concentration in free liquor

$$Cf1(t+1)=Cf1(t)+(dt/Vf)*(Mi*A*(Ce1(t)-Cf1(t)));$$

$$Cf2(t+1)=Cf2(t)+(dt/Vf)*(Mi*A*(Ce2(t)-Cf2(t)));$$

$$Cf3(t+1)=Cf3(t)+(dt/Vf)*(Mi*A*(Ce3(t)-Cf3(t)));$$

$$Cf4(t+1)=Cf4(t)+(dt/Vf)*(Mi*A*(Ce4(t)-Cf4(t)));$$

$$Cf5(t+1)=Cf5(t);$$

%Total rate of generation in entrapped liquor

$$G1=-sum(Ri(1:2));$$

$$G2=-sum(Ri(3:5));$$

$$G3=sum(S3.*Ri);$$

$$G4=sum(S4.*Ri);$$

%Concentration in entrapped liquor

$$Ce1(t+1)=Ce1(t)+(dt/Ve)*(Mw*G1-Mi*A*(Ce1(t)-Cf1(t)));$$

$$Ce2(t+1)=Ce2(t)+(dt/Ve)*(Mw*G2-Mi*A*(Ce2(t)-Cf2(t)));$$

```
Ce3(t+1)=Ce3(t)+(dt/Ve)*(Mw*G3-Mi*A*(Ce3(t)-Cf3(t)));
```

```
Ce4(t+1)=Ce4(t)+(dt/Ve)*(Mw*G4-Mi*A*(Ce4(t)-Cf4(t)));
```

```
Ce5(t+1)=Ce5(t);
```

```
%Kappa No
```

```
Ks(t)=653.6*(X1(t) + X2(t));
```

```
end; %MAIN LOOP
```

```
%Sampling
```

```
samptime=0.005;
```

```
fixtime=2;
```

```
sampnum=fixtime/samptime;
```

```
i=0;
```

```
j=1;
```

```
while j<=n+1
```

```
  i=i+1;
```

```
  Tr(i,:)=Trs(j);
```

```
  Fr(i,:)=Frs(j);
```

```
  K(i,:)=Ks(j);
```

```
  temp(i,:)=T(j);
```

```
  lig=X1+X2;
```

```
  lign(i,:)=lig(j);
```

```
  j=j+(samptime/dt);
```

```
end;
```

```
Tr=Tr(1:sampnum+1);
```

```
Fr=Fr(1:sampnum+1);
```

```
Kk=K(1:sampnum+1);
```

```
Kk1=K(2:sampnum+2);
```

```

Tk=temp(1:sampnum+1);
Tk1=temp(2:sampnum+2);
Xk=lign(1:sampnum+1);
Xk1=lign(2:sampnum+2);

data=[ Xk Tk Tr Fr Xk1 ];

%===== Result =====%
cutplot=fixtime/dt;
for t=1:1:cutplot+1
    tn(t) = dt*(t-1);
end;
figure
subplot(221)
plot(tn,T(1:cutplot+1),tn(1:cutplot+1),Tsp*ones(cutplot+1,1),'k:')
ylabel('Reactor temp (K)')
xlabel('Time (hr)')
subplot(222)
plot(tn,Ks(1:cutplot+1));
xlabel('hr')
ylabel('Kappa no. ');
subplot(223)
plot(tn,Trs(1:cutplot+1))
ylabel('Tr (K)')
xlabel('Time (hr)')
subplot(224)
plot(tn,Frs(1:cutplot+1))
ylabel('Fr (m^3/hr)')
xlabel('Time (hr)')

```

## ข.2 ตัวอย่างโปรแกรมการระบุนหาแบบจำลองฟuzzyโดยการคลัสเตอร์ริงและวิธีการลีสท์สแควร์

```

clear
clc

load datan1
[a,b] = size(data);
tol = 0.01;
m = 2;% coz we want linear fcn
c = 1;

%%%%%%%%%%%% optimum rule no. %%%%%%%%%%%%%

minGain=1e5;
minG=1e4;
while minG < minGain
minGain=minG;
c=c+1;
U = zeros(c,a);
a1 = ones(a,1);
b1 = ones(b,1);
c1 = ones(c,1);
v1 = ones(c,1);
unit = ones(1,a);
remain = unit;
for i = 1:c-1,
    Uo(i,:)= remain.*rand(1,a);
    remain = remain - Uo(i,:);
end;

```

```

Uo(c,:)= remain;
obj_fcn=max(max(abs(Uo-U)));

%%%%%%%%%%%%%%%%%%%%%%%%%%%%%%%%%%%%%%%%%%%%%%%%%%%%%%%%%%%%%%%%%%%%%%%% clustering %%%%%%%%%%%%%%%

while obj_fcn > tol,

    %%%%%%%%% compute center %%%%%%%%%
    U = Uo; Um = U.^m;    SumU = sum(Um');
    V = Um*data./(b1*SumU)';

    %%%%%%%%% compute distance %%%%%%%%%
    for i = 1:c,
        l = data-(a1*V(i,:));
        var_in(i,:)= sum((l.^2));% variance in a cluster
        d(i,:) = sqrt(var_in(i,:));
    end;

    %%%%%%%%% compute membership %%%%%%%%%
    for i = 1:c,
        Sumd(i,:) = sum(((c1*d(i,:))./d).^2/(m-1));
    end;
    Uo = (c1*a1')./Sumd;
    obj_fcn = max(max(abs(Uo-U)));% clustering

end;% loop

```

```

%%%%%%%%% update %%%%%%%%%%
Um = Uo.^m;
datamean=mean(data,1);
for i = 1:c,
    I =a1*V(i,:)-a1*datamean;
    var_out(i,:)=sum((I.^2));% variance between clusters
end;
dn=var_in-var_out;
minG = sum(sum(Um.*dn))
end;% optimum rule no.

fprintf('Obj_fcn = %2.4f\n',obj_fcn)
fprintf('Min_gain = %2.0f\n',minGain)
fprintf('opt_rule no. = %2.0f\n',c)

%%%%%%%%%%%% consequent %%%%%%%%%%%%%%

for i=1:c
    B(i,:)=U(i,:)/sum(U);
end;
k=size(data,1);
for i=1:b
    x=[ones(k,1) data(:,1) data(:,2) data(:,3) data(:,4)];
    X(:,c*i-(c-1):c*i)=B'.*(x(:,i)*ones(1,c));
end;

P=(inv(X'*X))*(X'*data(:,5));

```



```
%%%%%%%%%%%% parameter %%%%%%%%%%
```

```
for j = 1:b
```

```
    h=c*(j-1);
```

```
    Pj(:,j)=P(1+h:c+h);
```

```
end;
```

```
cons=Pj*x';
```

```
%%%%%%%%%%%% real output %%%%%%%%%%
```

```
for i = 1:c
```

```
    v(i,:)=B(i,:).*cons(i,:);
```

```
end;
```

```
y=sum(v);
```

```
PI = (sum(((data(:,5)-y').^2)/a));
```

```
%===== GRAPH =====%
```

```
fprintf('PI = %5.4f\n',PI);
```

```
%fprintf('Rule no. = %2.0f\n',c);
```

```
figure
```

```
for i = 1:c,
```

```
    q = (c*100)+10+i;
```

```
    subplot(q)
```

```
    plot(data(:,1),Uo(i,:),'.');
```

```
    ylabel('MF');
```

```
end;    xlabel('Lignin');
```

```

figure
for i = 1:c,
q = (c*100)+10+i;
subplot(q)
plot(data(:,2),Uo(i,:),'.');
ylabel('MF');
end;   xlabel('T');

```

```

figure
for i = 1:c,
q = (c*100)+10+i;
subplot(q)
plot(data(:,3),Uo(i,:),'.');
ylabel('MF');
end;   xlabel('Tr');

```

```

figure
for i = 1:c,
    q = (c*100)+10+i;
subplot(q)
plot(data(:,4),Uo(i,:),'.');
ylabel('MF');
end;   xlabel('Fr');

samptime=0.005;
fixtime=2;
sampnum=fixtime/samptime;

for t=1:1:sampnum
    ti(t) = samptime*(t-1);
end;

```

```
figure  
plot(ti,data(:,5)*653.6,ti,y*653.6,'r:');  
xlabel('Time (hr)')  
ylabel('Kappa no.')  
legend('Plant','Fuzzy Model',0);
```



สถาบันวิทยบริการ  
จุฬาลงกรณ์มหาวิทยาลัย

### ข.3 ตัวอย่างโปรแกรมการควบคุมด้วยยี่ห้อกระดาษด้วยตัวควบคุมพีซีแบบอาศัยแบบจำลอง ภายใน

```

clear
clc

%%%%%% Model parameters for process %%%%%%

ss = 1e3;
E1=[ 6.45*ss,29.10*ss,17.55*ss,14.85*ss,22.05*ss ];
E2=[ 21.9*ss,12.35*ss,19.85*ss,17.45*ss,18.25*ss ];
A1=[ 19.41,4.16e12,445.12,108,7.05e5 ];
A2=[ 7e3,2.75e4,8.3e3,6e3,1.75e4 ];
S3=[ 0.166,0.166,0.395,0.395,0.395 ];
S4=[ 0.0546,0.0546,0,0,0 ];
Xu=[ 0,0,0.071,0.025,0 ];

R=1.9872;          CT=2;          Cp=0.36;          Frmin=0.5;          Cpl=1;
dt=0.05;          a=0.5;          b=0.5;          Frmax=1;
dH=102.8;          Mw=100;          A=105.75;          Trmin=353;
Ve=0.1175;          Vf=0.2325;          n=CT/dt;          Trmax=523;
M1=-0.07;          M2=2e-4;          Tsp=443;          Ksp=50;

%%%%%% Initial value for process %%%%%%

Ce1(1)=0;          Cf1(1)=1;          X1(1)=0.0528;  T(1) =353;
Ce2(1)=0;          Cf2(1)=2;          X2(1)=0.2112;
Ce3(1)=0;          Cf3(1)=47.6327;   X3(1)=0.4852;
Ce4(1)=0;          Cf4(1)=11.3535;   X4(1)=0.1428;
Ce5(1)=0;          Cf5(1)=1000;      X5(1)=0.0722;

```

```

%%%%%%%% Input %%%%%%%%%
Trs(1)=353;
Frs(1)=0.5;

%Noise test
w=randn(1,n+1);

%Initial values for controller
e_filter(1)=0;
e_model(1)=0;

%Filter factor
Ge=0.45;

%=====Process=====
for t=2:n+1

Cf=[ Cf1(t-1),Cf2(t-1),Cf3(t-1),Cf4(t-1),Cf5(t-1) ];
Ce=[ Ce1(t-1),Ce2(t-1),Ce3(t-1),Ce4(t-1),Ce5(t-1) ];
X=[ X1(t-1),X2(t-1),X3(t-1),X4(t-1),X5(t-1) ];

k1=A1.*exp(-E1/(R*T(t-1)));
k2=A2.*exp(-E2/(R*T(t-1)));
Ri=(-1)*(k1*Ce3(t-1)+k2*(Ce3(t-1)^a)*(Ce4(t-1)^b)).*(X-Xu);
RH=(-dH)*(-Ri);

SumRH=sum(RH);
SumT=sum(Cf*Cpl*(Trs(t-1)-T(t-1)));
Kt=(Mw*sum(Cp*X))+(Ve*sum(Cpl*Ce))+(Vf*sum(Cpl*Cf));

```

%Reactor temp Balance

$$T(t)=T(t-1)+(dt/Kt)*(Mw*SumRH+Frs(t-1)*SumT);%+w(t);$$

%Concentration in wood

$$X1(t)=X1(t-1)+dt* Ri(1);$$

$$X2(t)=X2(t-1)+dt* Ri(2);$$

$$X3(t)=X3(t-1)+dt* Ri(3);$$

$$X4(t)=X4(t-1)+dt* Ri(4);$$

$$X5(t)=X5(t-1)+dt* Ri(5);$$

%Mass transfer coefficient

$$Mi=M1+M2*T(t-1);$$

%Concentration in free liquor

$$Cf1(t)=Cf1(t-1)+(dt/Vf)*(Mi*A*(Ce1(t-1)-Cf1(t-1)));$$

$$Cf2(t)=Cf2(t-1)+(dt/Vf)*(Mi*A*(Ce2(t-1)-Cf2(t-1)));$$

$$Cf3(t)=Cf3(t-1)+(dt/Vf)*(Mi*A*(Ce3(t-1)-Cf3(t-1)));%+w(t);$$

$$Cf4(t)=Cf4(t-1)+(dt/Vf)*(Mi*A*(Ce4(t-1)-Cf4(t-1)));$$

$$Cf5(t)=Cf5(t-1);$$

%Total rate of generation in entrapped liquor

$$G1=-sum(Ri(1:2));$$

$$G2=-sum(Ri(3:5));$$

$$G3=sum(S3.*Ri);$$

$$G4=sum(S4.*Ri);$$

%Concentration in entrapped liquor

$$Ce1(t)=Ce1(t-1)+(dt/Ve)*(Mw*G1-Mi*A*(Ce1(t-1)-Cf1(t-1)));$$

$$Ce2(t)=Ce2(t-1)+(dt/Ve)*(Mw*G2-Mi*A*(Ce2(t-1)-Cf2(t-1)));$$

```

Ce3(t)=Ce3(t-1)+(dt/Ve)*(Mw*G3-Mi*A*(Ce3(t-1)-Cf3(t-1)));
Ce4(t)=Ce4(t-1)+(dt/Ve)*(Mw*G4-Mi*A*(Ce4(t-1)-Cf4(t-1)));
Ce5(t)=Ce5(t-1);

```

```

%Kappa No

```

```

Ks(1)=653.6*(X1(1) + X2(1));

```

```

Ks(t)=653.6*(X1(t) + X2(t));

```

```

lign(t-1)=X1(t-1)+X2(t-1);

```

```

%=====Estimator=====

```

```

load Plign

```

```

[c,d] = size(Pj);

```

```

Pl=Pj;

```

```

%ANTECEDENT T

```

```

y1 =trimf(T(t-1),[390 418 422]);

```

```

y2 =trapmf(T(t-1),[323 353 360 390]);

```

```

y3 =trimf(T(t-1),[437 442 460]);

```

```

y4 =trapmf(T(t-1),[442 460 523 541]);

```

```

y5 =trimf(T(t-1),[360 390 418]);

```

```

y6 =trimf(T(t-1),[422 437 442]);

```

```

y7 =trimf(T(t-1),[418 422 437]);

```

```

U=[y1';y2';y3';y4';y5';y6';y7'];

```

```

%CONSEQUENT

```

```

x=[ones(1,1) lign(t-1) T(t-1) Cf3(t-1)];

```

```

cons=Pl*x';

```

```

%REAL OUTPUT

for i=1:c
    BB(i,:)=U(i,:)./sum(U);
end;

for i = 1:c
    v(i,:)=BB(i,:).*cons(i,:);
end;
lign_est(t)=sum(v);
K_est(t)=653.6*lign_est(t);

%Kappa reference
if t<=n+1
    Kr(t)=K_est(t-1)-((K_est(t-1)-Ksp)/(n+1-(t-1)));
else break;
end;

%=====Fuzzy Model for K=====
load Pn1
[c,d] = size(Pj);
%ANTECEDENT Tr
y1 =trimf(Trs(t-1),[400 440 470]);
y2 =trimf(Trs(t-1),[440 470 500]);
y3 =trimf(Trs(t-1),[375 400 440]);
y4 =trapmf(Trs(t-1),[325 350 375 400]);
y5 =trimf(Trs(t-1),[475 500 525]);
y6 =trapmf(Trs(t-1),[500 525 550 575]);

```



```

U=[y1';y2';y3';y4';y5';y6'];

%CONSEQUENT
x=[ones(1,1) lign_est(t-1) T(t-1) Trs(t-1) Frs(t-1)];
cons=Pj*x';

%REAL OUTPUT
for i=1:c
    B(i,:)=U(i,:)./sum(U);
end;

for i = 1:c
    v(i,:)=B(i,:).*cons(i,:);
end;
lignf(t)=sum(v);
Kf(t)=653.6*lignf(t);

%===== Fuzzy IMC =====%

%Filter
e_model(t)=K_est(t)-Kf(t);
e_filter(t)=(e_filter(t-1)*(Ge))+(e_model(t)*(1-Ge));
e_sp(t)=Kr(t)-e_filter(t);

%Controller
cal1=sum(B.*(Pj(:,2)*Kf(t-1)+Pj(:,3)*T(t-1)+Pj(:,5)*Frs(t-1)+Pj(:,1)));
cal2=sum(B.*Pj(:,4));
Trs1(t)=(e_sp(t)-cal1)/cal2;
Trs(t)=Trs1(t);

```

```

cal3=sum(B.*(Pj(:,2)*Kf(t-1)+Pj(:,3)*T(t-1)+Pj(:,4)*Trs(t-1)+Pj(:,1)));
cal4=sum(B.*Pj(:,5));
Frs1(t)=(e_sp(t)-cal3)/cal4;
Frs(t)=Frs1(t);

%Constraint change of Tr
delTr=Trs(t)-Trs(t-1);
if      delTr>10
        Trs(t)=Trs(t-1)+10;
elseif delTr<-10
        Trs(t)=Trs(t-1)-10;
end;
%Constraint Tr
if      Trs(t)>Trmax
        Trs(t)=Trmax;
elseif Trs(t)<Trmin
        Trs(t)=Trmin;
end;

%Constraint change of Fr
delFr=Frs(t)-Frs(t-1);
if      delFr>0.1
        Frs(t)=Frs(t-1)+0.1;
elseif delFr<-0.1
        Frs(t)=Frs(t-1)-0.1;
end;
%Constraint Fr
if      Frs(t)>Frmax
        Frs(t)=Frmax;

```

```

elseif Frs(t)<Frmin
    Frs(t)=Frmin;
end;

%=====Result=====
%Estimator Efficiency
IAE = 0;
ISE = 0;
for k=2:n+1
    error = Ks(k)- K_est(k);
    IAE = IAE + abs(error)*dt;
    ISE = ISE + (error^2)*dt;
end;
disp('Estimator Efficiency')
fprintf('IAE = %5.4f\n',IAE);
fprintf('ISE = %5.4f\n',ISE);

%Controller Performance
IAE = 0;
ISE = 0;
for k=3:n+1
    error = Ks(k)-Kr(k);
    IAE = IAE + abs(error)*dt;
    ISE = ISE + (error^2)*dt;
end;
disp('Controller performance')
fprintf('IAE = %5.4f\n',IAE);
fprintf('ISE = %5.4f\n',ISE);

```

```

%Plot
for t=1:1:n+1
    ti(t) = dt*(t-1);
end;

figure
subplot(311)
plot(ti(2:n+1),Ks(2:n+1),ti(2:n+1),K_est(2:n+1),'r:');
ylabel('Kappa no. ');
%axis([0,CT,49,180])
legend('True kappa','Estimated kappa')
%subplot(412)
%plot(ti,T,ti,433,ti,453)
%ylabel('Reactor temp (K)')
%figure
subplot(312)
stairs(ti,Trs-273)
ylabel('Tr (C)')
%axis([0,CT,350,550])
%figure
subplot(313)
stairs(ti,Frs)
ylabel('Fr (m^3/hr)')
xlabel('Time (hr)')
axis([0,CT,0.5,1.0])

```

## ประวัติผู้เขียนวิทยานิพนธ์

นางสาววิศณีย์ ตั้งยืนยง เกิดเมื่อวันที่ 28 กันยายน พ.ศ. 2519 สำเร็จการศึกษาปริญญาตรีวิทยาศาสตร์บัณฑิต สาขาเคมีอุตสาหกรรม คณะวิทยาศาสตร์ สถาบันเทคโนโลยีพระจอมเจ้าคุณทหารลาดกระบัง ในปีการศึกษา 2540 และเข้าศึกษาต่อในหลักสูตรวิศวกรรมศาสตรมหาบัณฑิต สาขาวิศวกรรมเคมี คณะวิศวกรรมศาสตร์ จุฬาลงกรณ์มหาวิทยาลัย เมื่อปี พ.ศ. 2541



สถาบันวิทยบริการ  
จุฬาลงกรณ์มหาวิทยาลัย